

SS17

Algorithmen und Datenstrukturen

4. Kapitel

Suchbäume

Martin Dietzfelbinger

April/Mai 2017

4.1 Binäre Suchbäume

Binäre Suchbäume

implementieren den Datentyp Wörterbuch

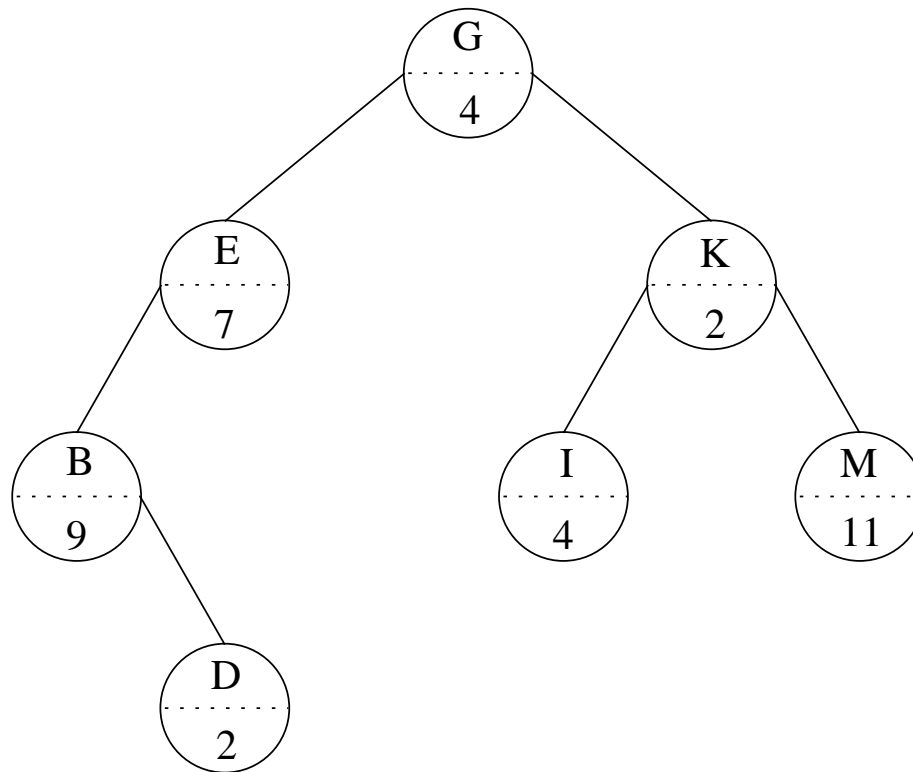
Schlüsselmenge $(U, <)$ (total geordnet) und Wertemenge R

Wörterbuch: $f: S \rightarrow R$, wobei $S \subseteq U$ endlich.

- *empty*: leeres Wörterbuch erzeugen
- *lookup*: falls $x \in S$: $f(x)$ ausgeben (sonst: „undefined“)
- *insert*: neue Paare $(x, f(x))$ einfügen (bzw. aktualisieren)
- *delete*: anhand von x Paar $(x, f(x))$ löschen (falls $x \in S$)

Beispiel: $U = \{A, B, C, \dots, Z\}$ (Standardsortierung), $R = \mathbb{N}$.

Ein binärer Suchbaum T :



Dargestellte Funktion $f = f_T$:

$S = D(f) = \{B, D, E, G, I, K, M\}$, $f(B) = 9$, $f(D) = 2$, usw.

Binärer Suchbaum

Knoteneinträge (hier in inneren Knoten):

$key(v)$: Schlüssel (aus U)

$data(v)$: Daten, Wert (aus R) (oft: Zeiger, Referenz)

Definition 4.1.1

Ein Binärbaum T mit Einträgen aus $U \times R$ heißt ein **binärer Suchbaum**^{*}, falls **für jeden Knoten** v in T gilt:

Knoten w im **linken** Unterbaum von $T_v \Rightarrow key(w) < key(v)$

Knoten w im **rechten** Unterbaum von $T_v \Rightarrow key(v) < key(w)$

engl.: *binary search tree*. Abk.: **(U, R) -BSB** oder **(U, R) -BST**

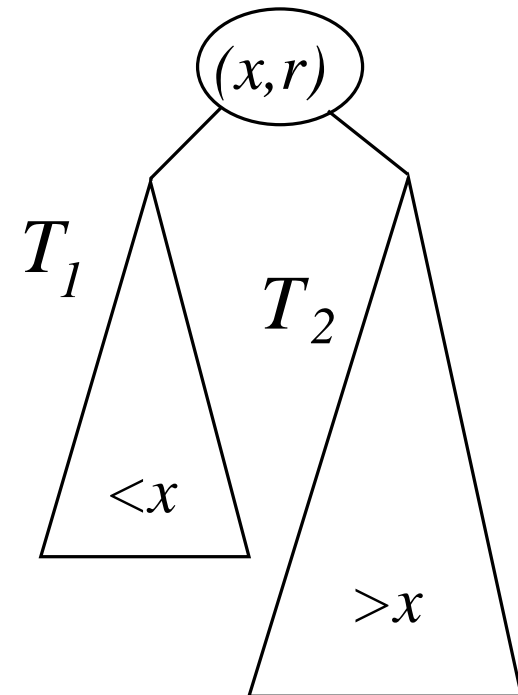
Alternative Definition: Rekursive Auffassung.

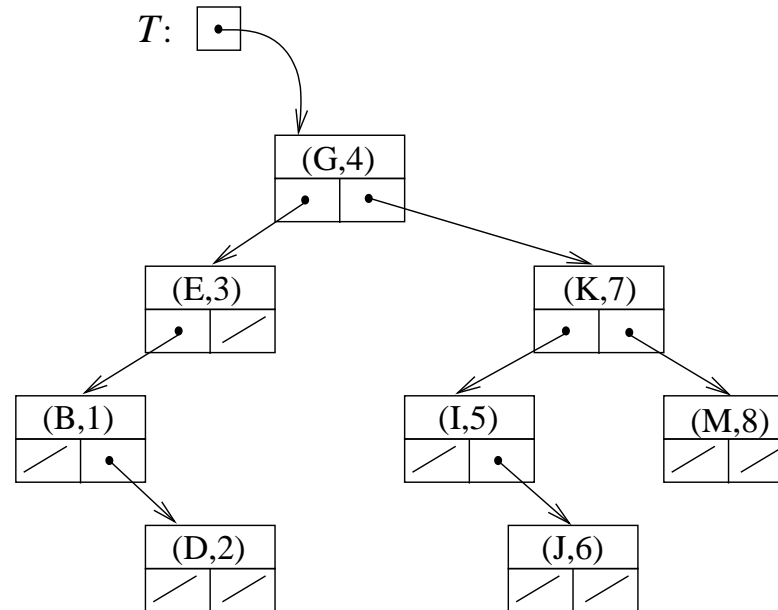
(i) \square ist (U, R) -BSB,
mit Schlüsselmenge $S = \emptyset$.



(ii) **Wenn** $x \in U$ und $r \in R$ **und**
 T_1, T_2 (U, R) -BSB
mit Schlüsselmengen $S_1, S_2 \subseteq U$,
und wenn $\forall y \in S_1: y < x$
und $\forall z \in S_2: x < z$,
dann ist $(T_1, (x, r), T_2)$
ein (U, R) -BSB
mit Schlüsselmenge $S_1 \cup \{x\} \cup S_2$.

Falls (ii): $key(T) := x$ und $data(T) := r$.





Implementierung von binären Suchbäumen:
Verzeigerte Struktur.

Knoten hat Komponenten für Schlüssel, Daten und
Zeiger/Referenzen auf linkes und rechtes Kind:
 $T.key$, $T.data$, $T.left$, $T.right$

Baum ist gegeben durch Zeiger/Referenz auf Wurzel.

Suchen, rekursiv

lookup(T, x), für BSB T , $x \in U$.

// Ergebnis: Zeiger auf Knoten mit x , falls vorhanden

1. Fall: $T = \square$. **return** „nicht gefunden“

Ab hier: $T \neq \square$, also $T = (T_1, (y, r), T_2)$.

2. Fall: $x = y$.

return (r , [Zeiger auf den Wurzelknoten von] T).

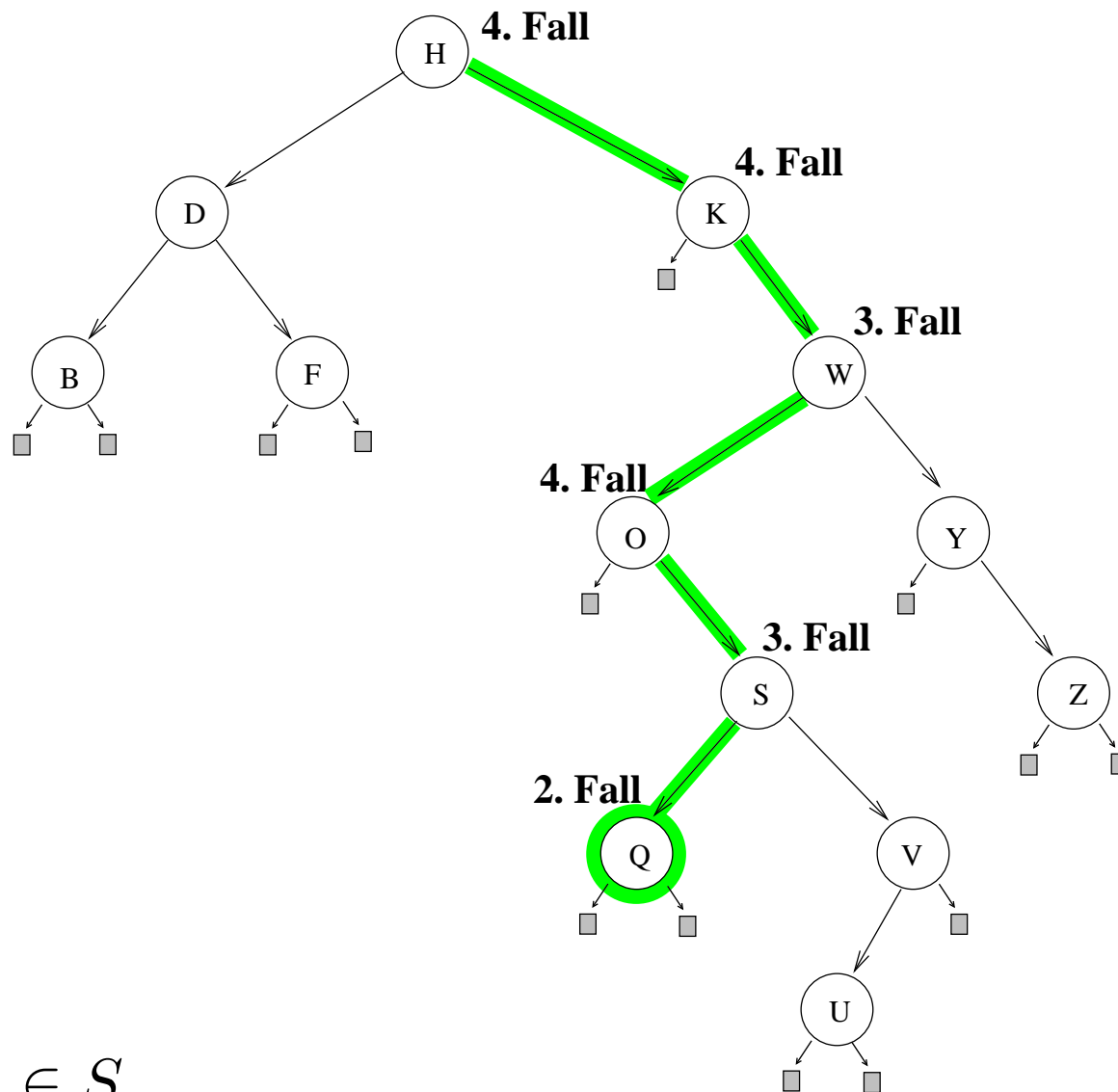
3. Fall: $x < y$.

return lookup($T.left, x$) // rekursiver Aufruf .

4. Fall: $x > y$.

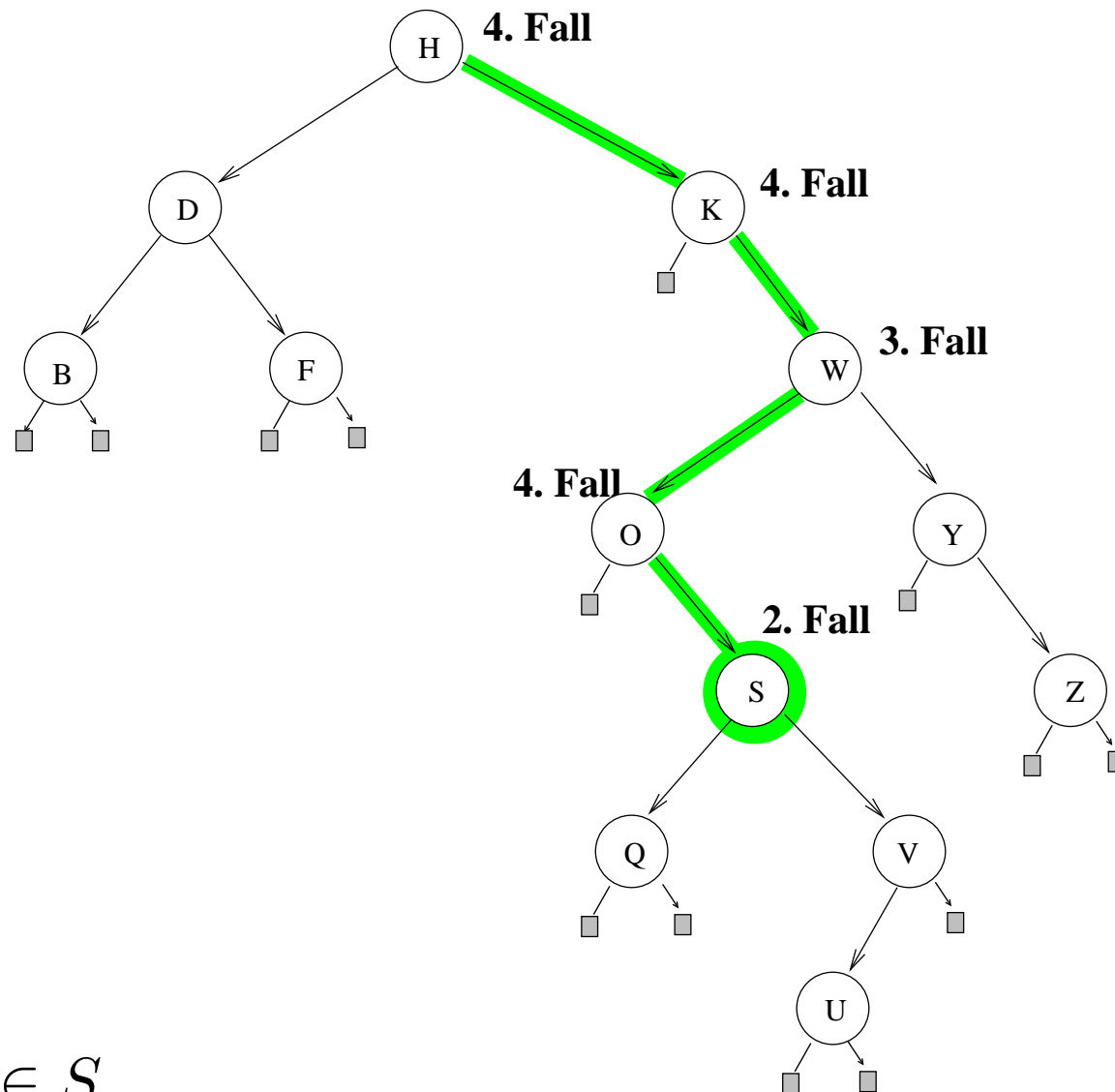
return lookup($T.right, x$) // rekursiver Aufruf .

Beispiel:



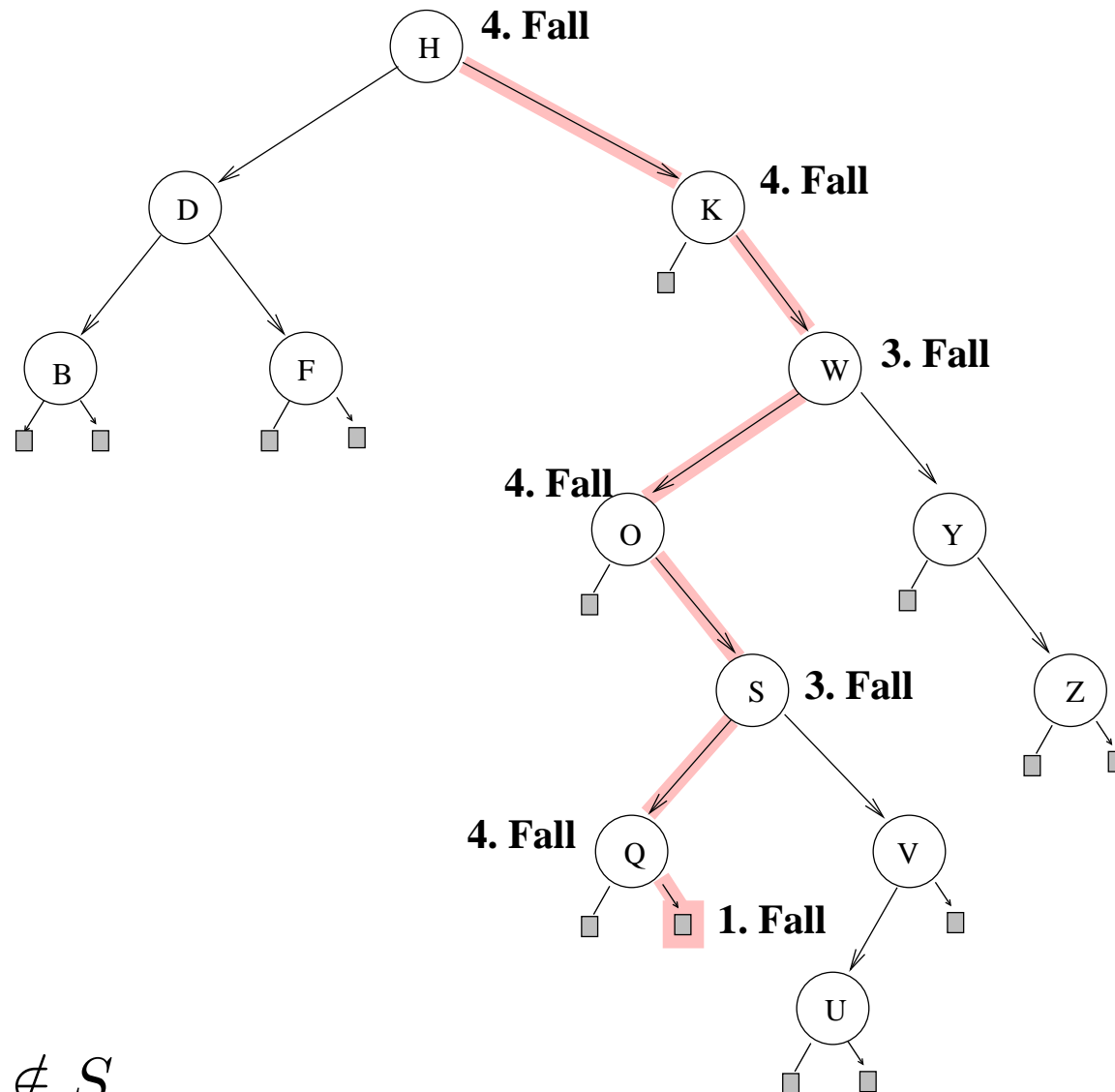
Suche: $Q \in S$.

Beispiel:



Suche: $S \in S$.

Beispiel:



Suche: $R \notin S$.

Korrektheit folgt sofort aus der Struktur von BSB und der rekursiven Struktur des Algorithmus.

(Formal: Per Induktion über den Aufbau von Binärbäumen zeigt man: Ausgabe von **lookup**(T) ist korrekt.)

Zeitaufwand: Wenn x im Knoten v_x sitzt:

Für jeden Knoten v auf dem Weg von der Wurzel zu v_x entstehen Kosten $O(1)$.

Es gibt $d(v_x) \leq d(T)$ solche Knoten.

Wenn x in T nicht vorhanden: Suche endet in einem externen Knoten l_x . Kosten $O(1)$ für jeden Knoten auf dem Weg.

Es gibt $d(l_x) \leq d(T) + 1$ solche Knoten.

Übung: Suche **iterativ** programmieren.

Einfügen, rekursiv

insert(T, x, r), für BSB T , $x \in U, r \in R$. // T : Zeiger

1. Fall: $T = \square$.

Erzeuge neuen (Wurzel-)Knoten v mit Eintrag (x, r) .

$T \leftarrow v$; **return** T .

Ab hier: $T = (T_1, (y, r'), T_2)$.

2. Fall: $x = y$.

$T.data \leftarrow r$; **return** T . // Update-Situation!

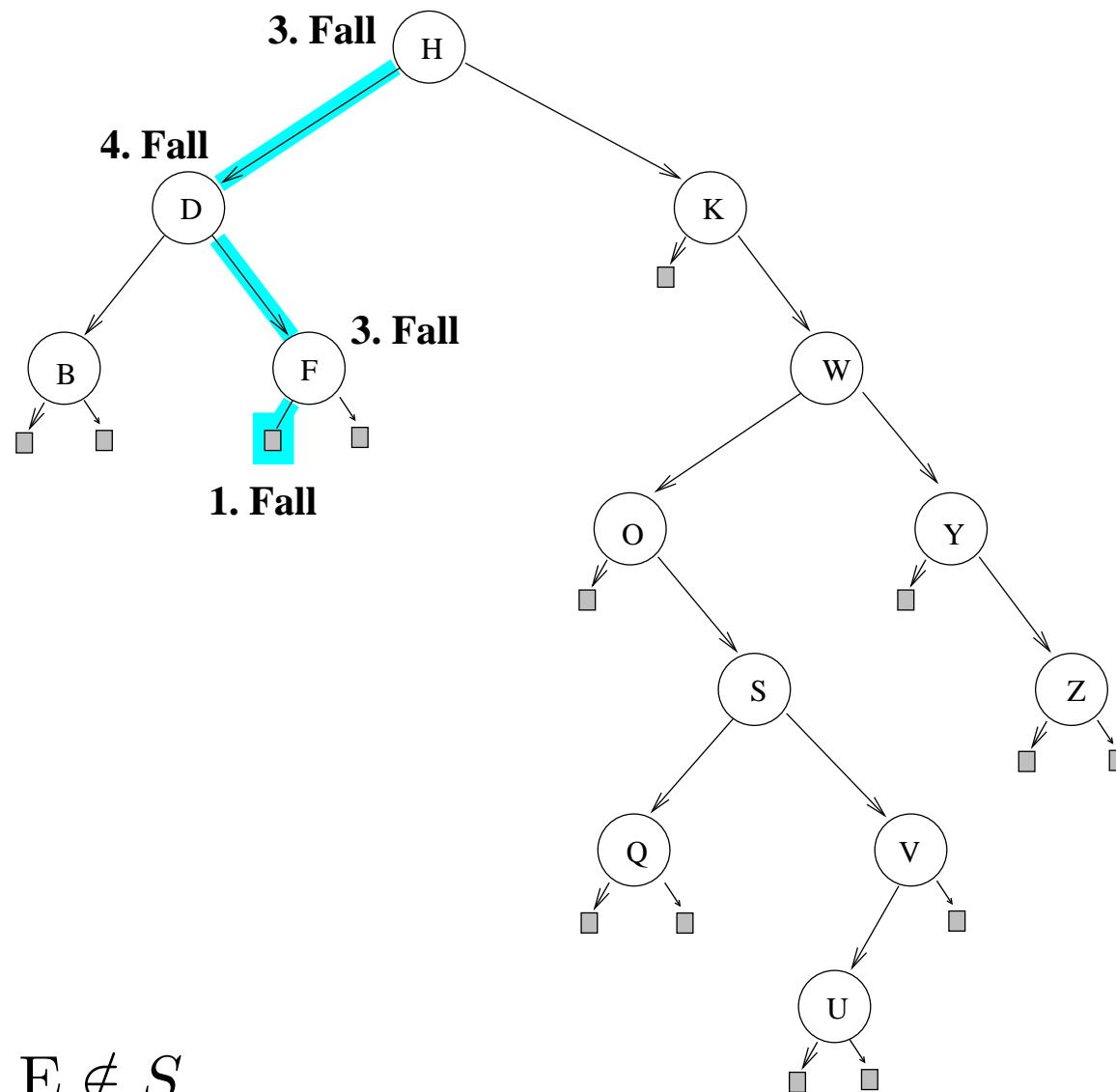
3. Fall: $x < y$.

$T.left \leftarrow \text{insert}(T.left, x, r)$; **return** T .

4. Fall: $y < x$.

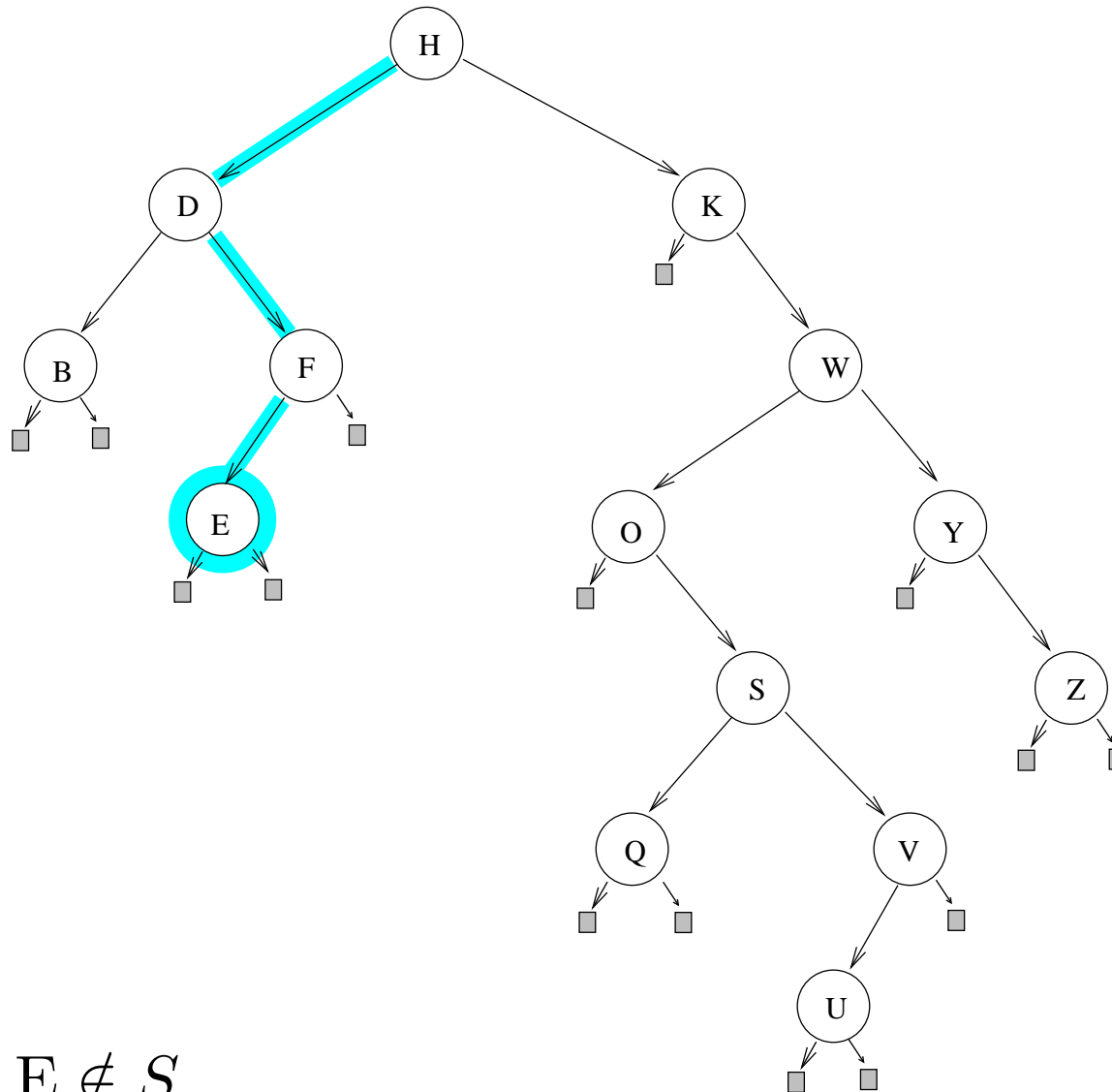
$T.right \leftarrow \text{insert}(T.right, x, r)$; **return** T .

Beispiel:



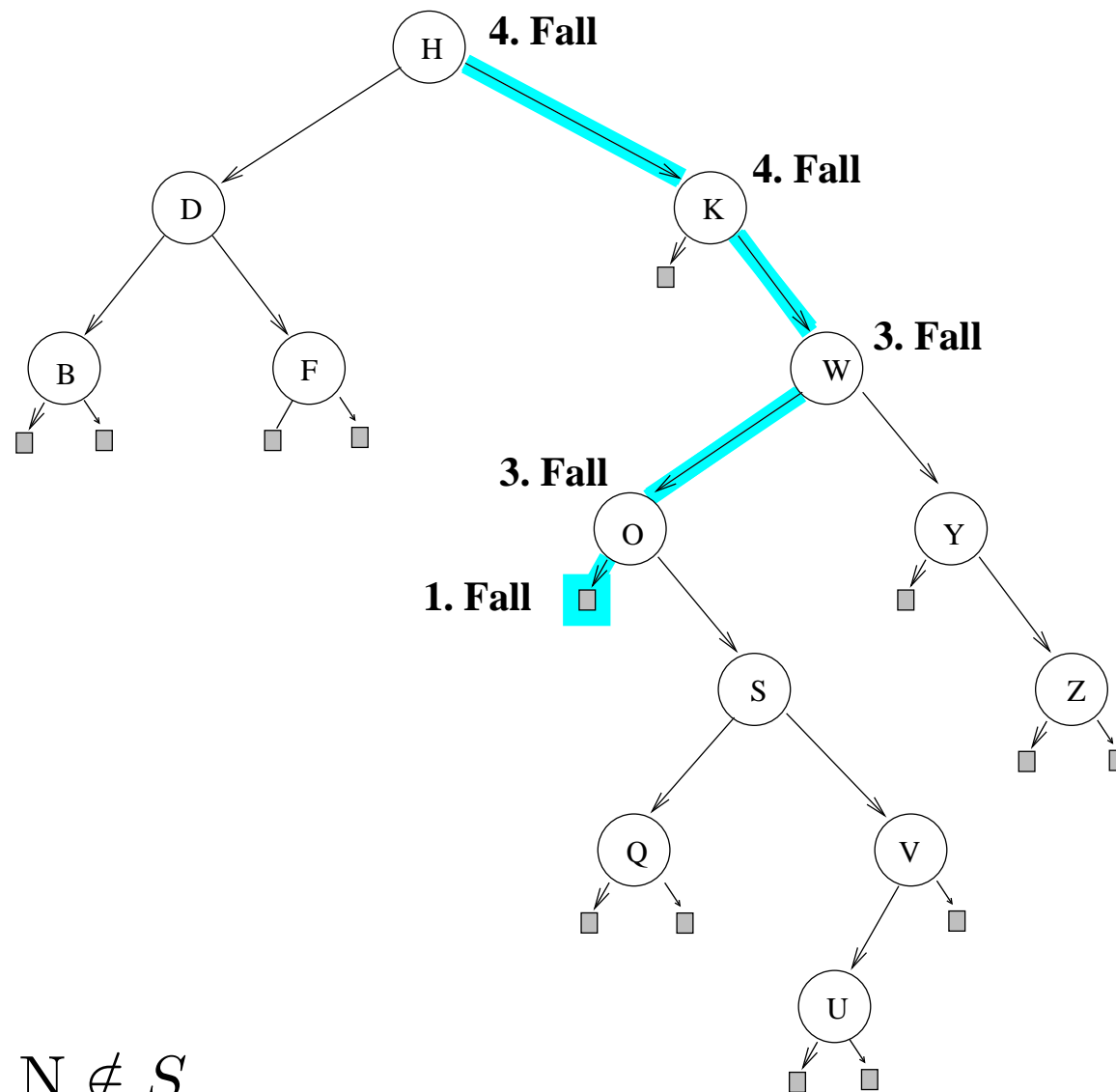
Füge ein: $E \notin S$.

Beispiel:



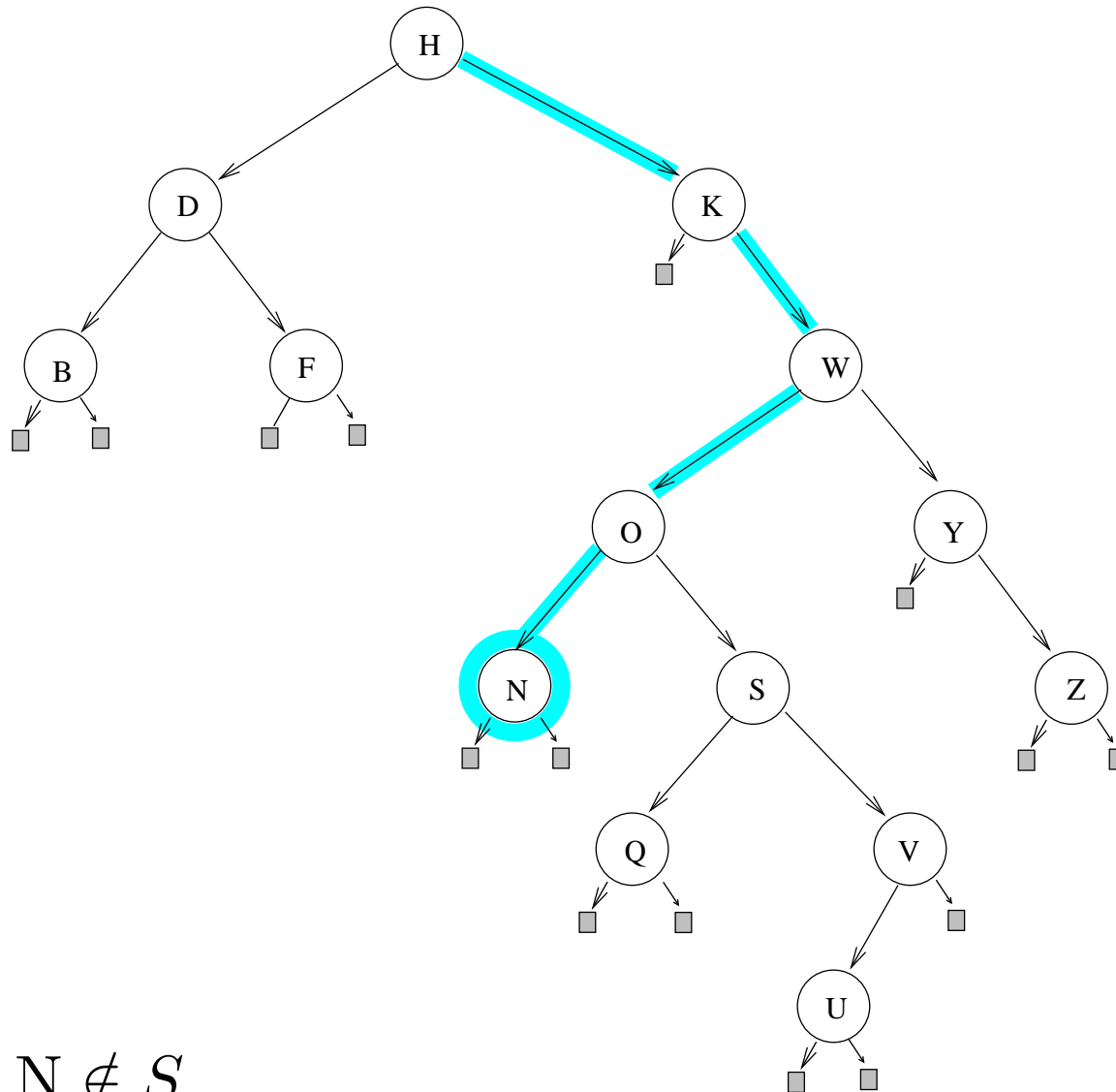
Füge ein: $E \notin S$.

Beispiel:



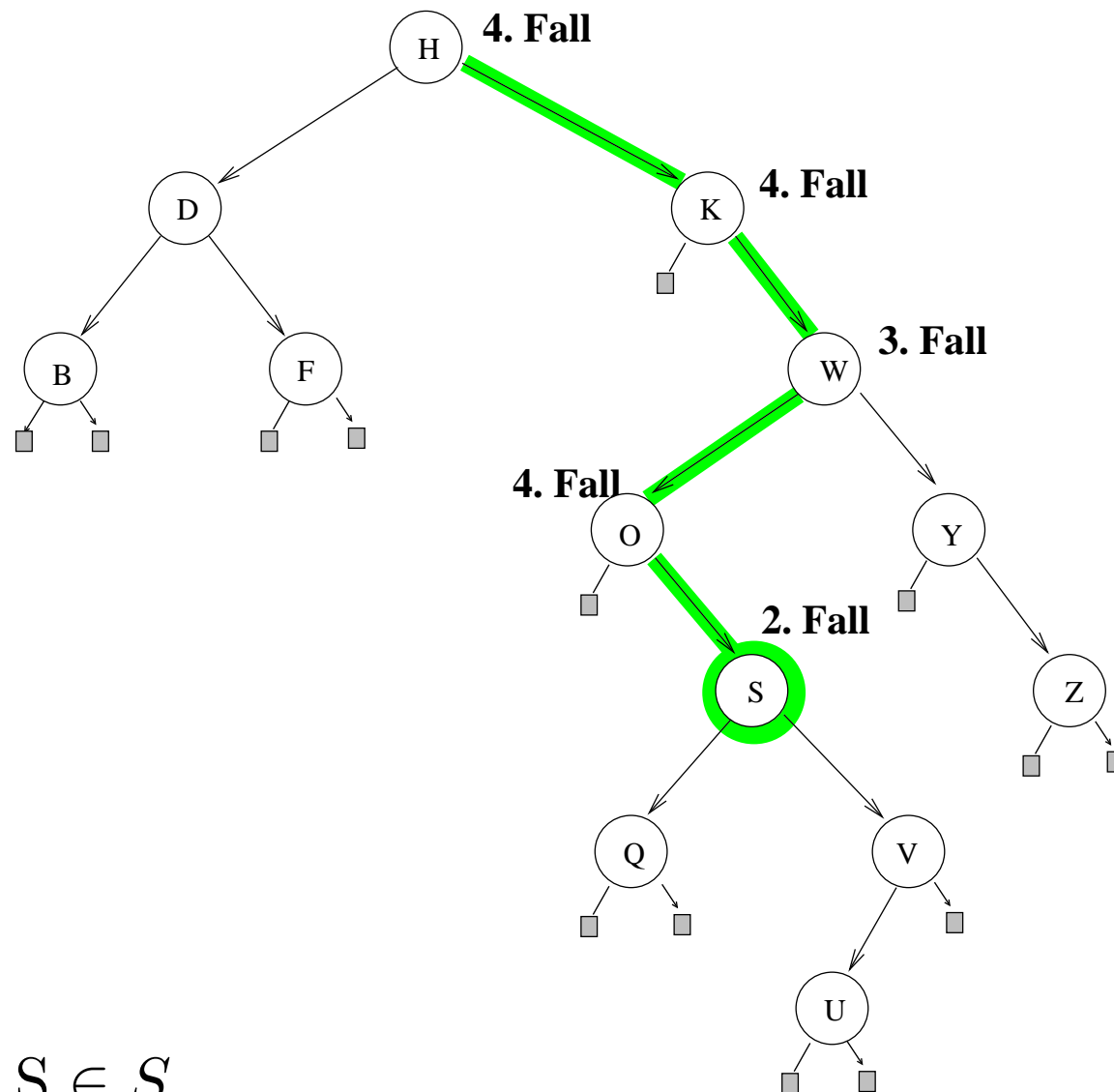
Füge ein: $N \notin S$.

Beispiel:



Füge ein: $N \notin S$.

Beispiel:



Füge ein: $S \in S$.

Korrektheit:

Behauptung: Aufruf **insert**(T, x, r) erzeugt einen binären Suchbaum (der wieder T heißt),
der das modifizierte Wörterbuch $insert(f_T, x, r)$ darstellt.

Beweis: Induktion über den Aufbau von Binärbäumen.

Zeitaufwand: Wenn x im Knoten v_x schon vorhanden:
Kosten $O(1)$ für jeden von $d(v_x) \leq d(T)$ Knoten auf dem Weg.

Wenn x in T nicht vorhanden:

Kosten $O(1)$ für jeden Knoten auf dem Weg von Wurzel zu l_x .
Es gibt $d(l_x) \leq d(T) + 1$ solche Knoten.

Übung: Einfügung **iterativ** programmieren.

Löschen, rekursiv

delete(T, x), für BSB T , $x \in U$.

1. Fall: $T = \square$. // Nichts zu tun. (x nicht vorhanden.)

Ab hier: $T \neq \square$, also $T = (T_1, (y, r), T_2)$.

2. Fall: $x < y$.

$T.\text{left} \leftarrow \text{delete}(T.\text{left}, x)$; **return** T ;

3. Fall: $y < x$.

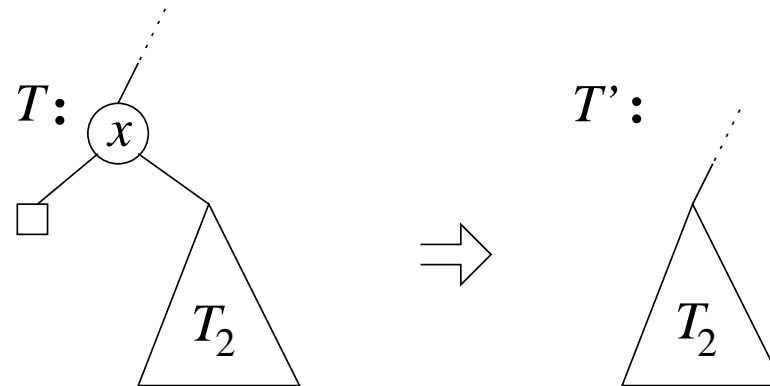
$T.\text{right} \leftarrow \text{delete}(T.\text{right}, x)$; **return** T ;

4. Fall: $x = y$.

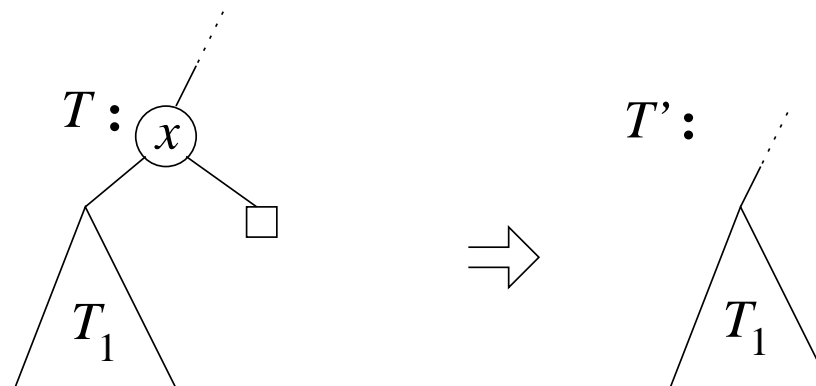
// Lösche Wurzel! Unterfälle 4a–4c, s.u.

return T .

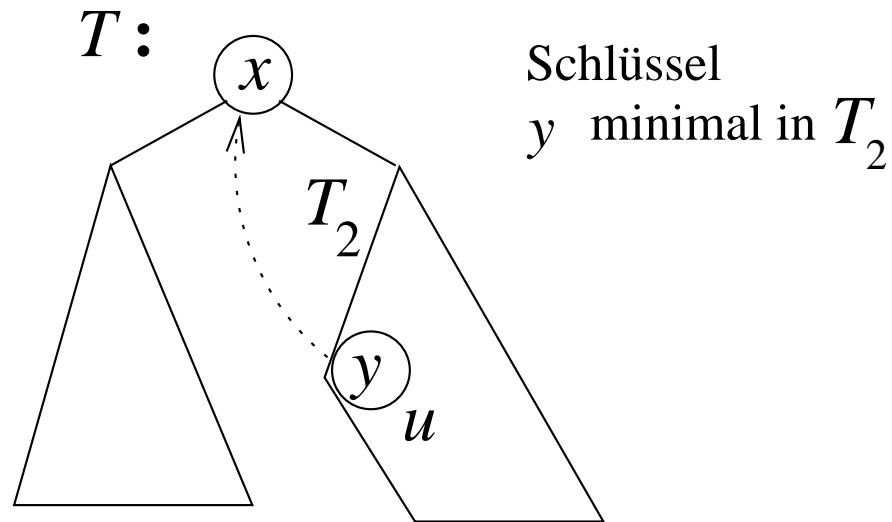
Fall 4a: $T.\text{left} = \square$. **return** $T.\text{right}$.
(auch wenn $T.\text{right} = \square$ ist!)



Fall 4b: $T.\text{right} = \square$. **return** $T.\text{left}$.



Fall 4c: $T_1 \neq \square$ und $T_2 \neq \square$.



Suche in T_2 Eintrag (y, r') mit minimalem y , in Knoten u .

(Dies ist der **Inorder-Nachfolger** der Wurzel von T .)

$T'_2 \leftarrow T_2$ ohne u ; T' besteht aus u als Wurzel, T_1 als linkem und T'_2 als rechtem Unterbaum.

(Zeiger/Referenzen umhängen, nicht Daten/Schlüssel kopieren!)

Extrahieren des Minimums, rekursiv

Extrahieren des Knotens mit kleinstem Schlüssel aus einem **nicht**leeren BSB $T = (T_1, (z, r), T_2)$: **extractMin**(T).

Ebenfalls rekursiv zu realisieren.

Rückgabewerte: Veränderter Baum T' und ein separater Baumknoten (via Zeiger auf diesen Knoten).

1. Fall: $T.\text{left} = \square$. Schlüssel z in der Wurzel ist minimal in T .

$T' \leftarrow T.\text{right}$; $T.\text{right} \leftarrow \square$;

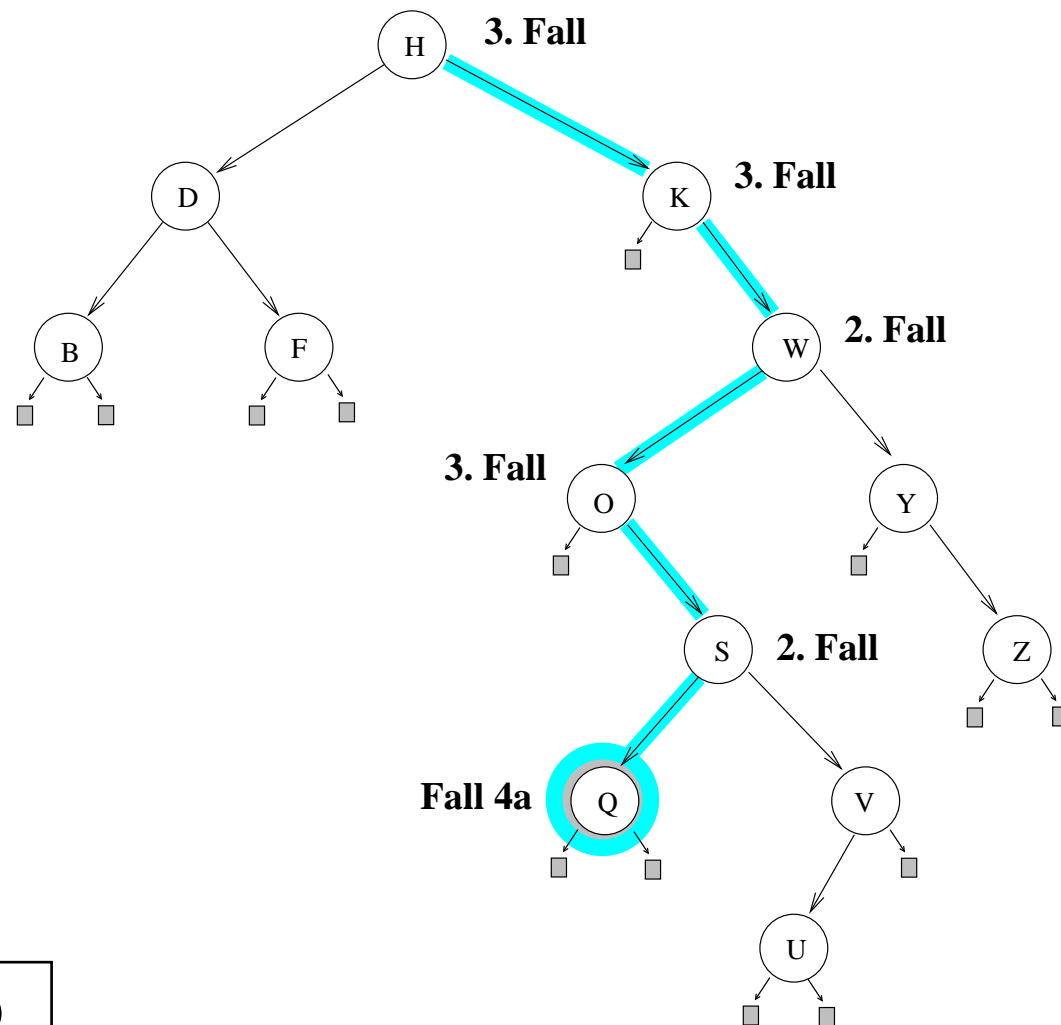
return([Baum] T' , [Knoten] T).

2. Fall: $T.\text{left} \neq \square$.

$(T.\text{left}, u) \leftarrow \text{extractMin}(T.\text{left})$;

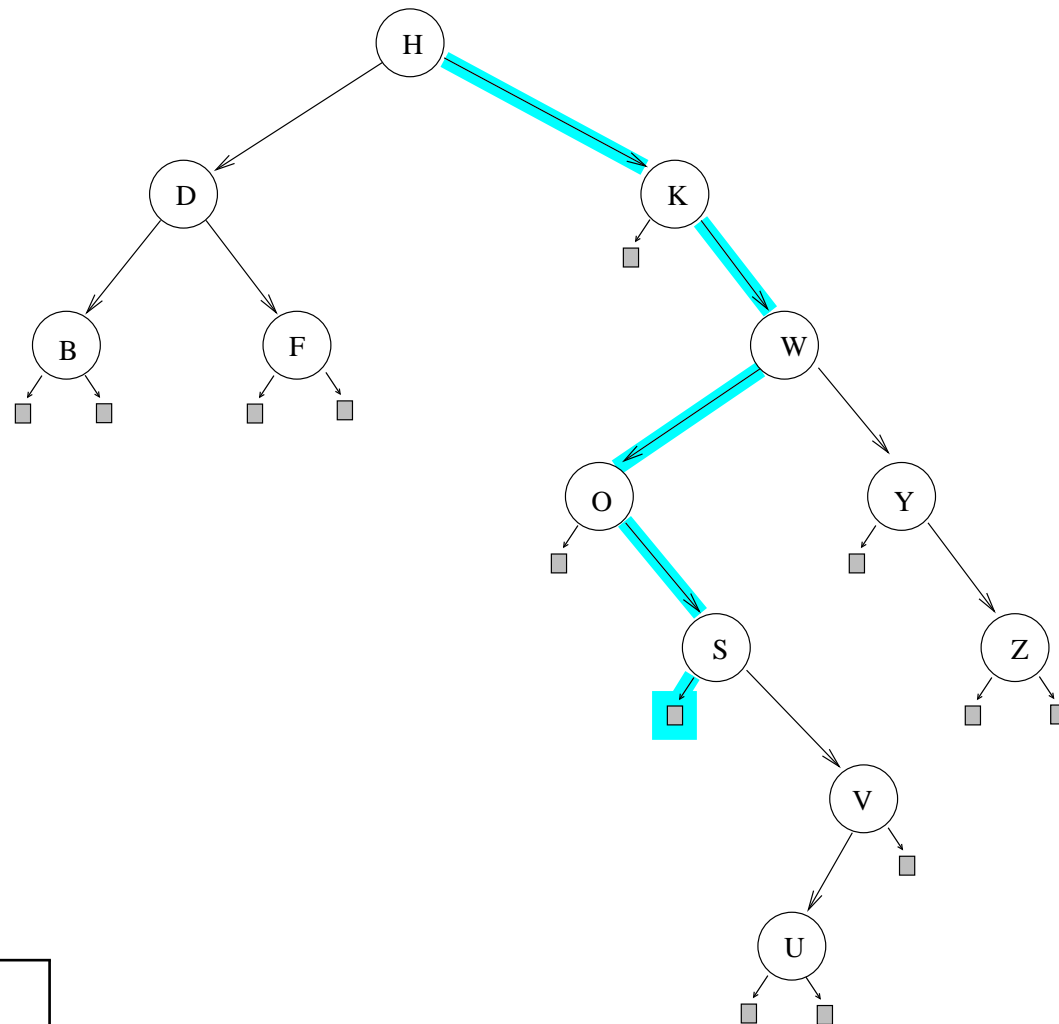
return(T, u).

Beispiel:



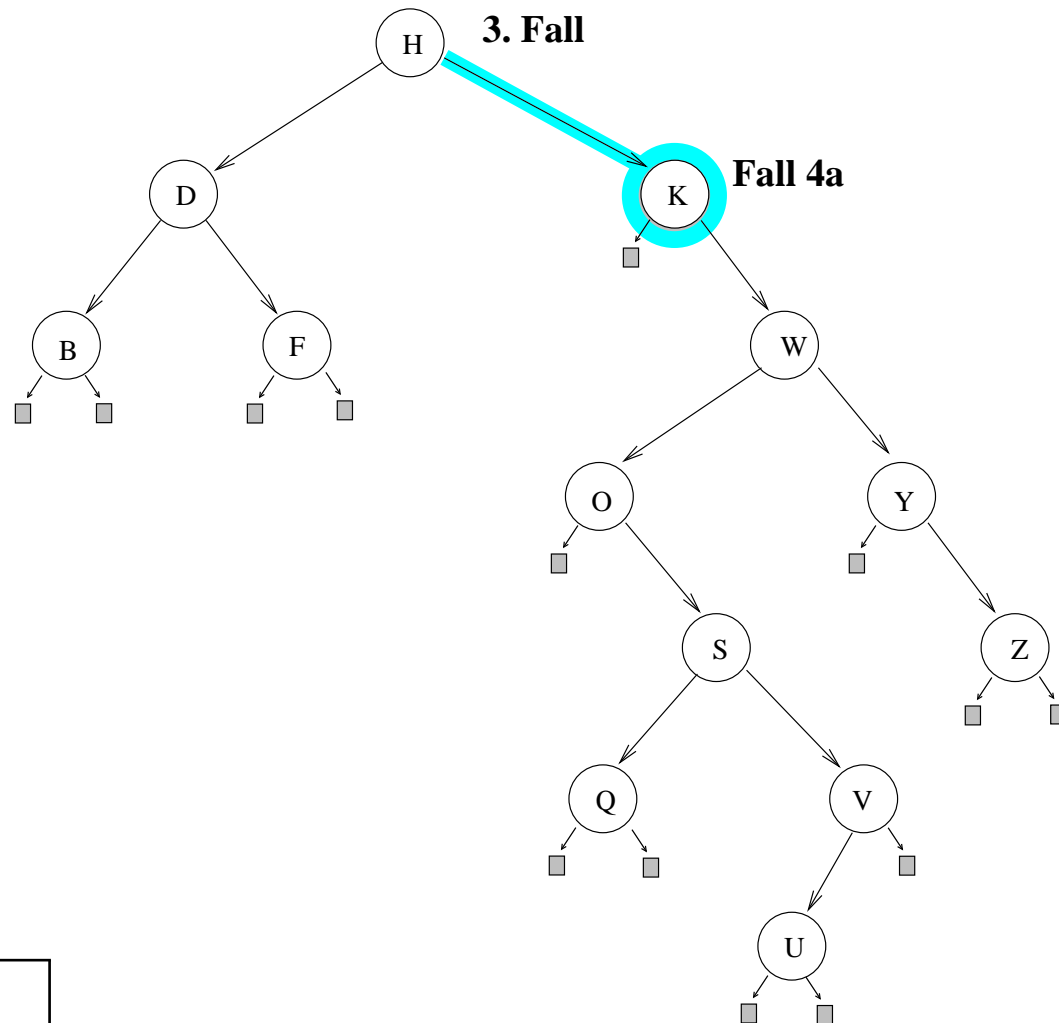
Lösche: Q.

Beispiel:



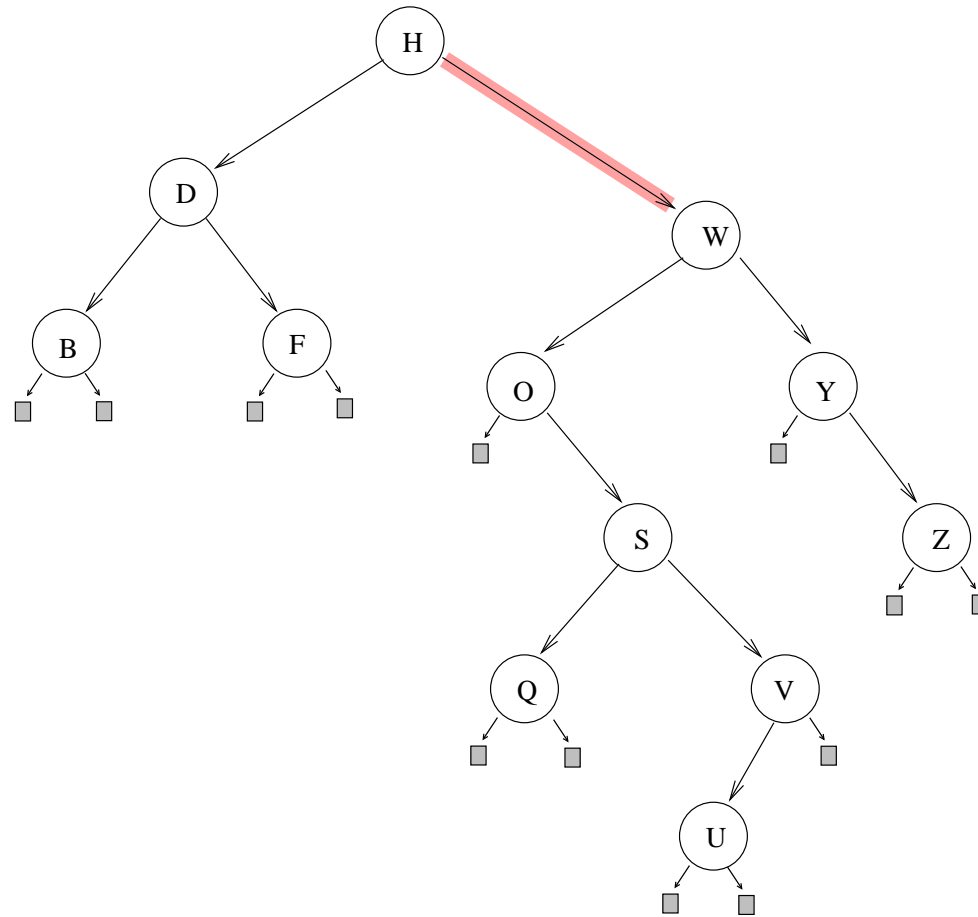
Lösche: Q.

Beispiel:



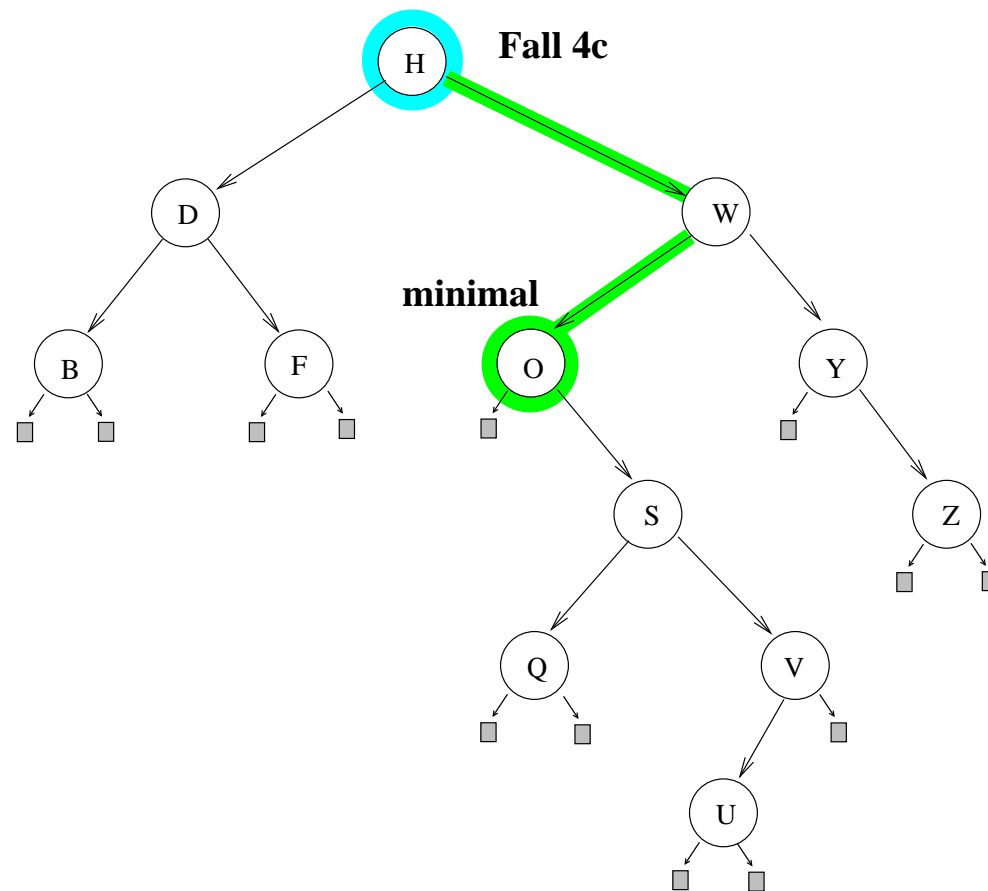
Lösche: K.

Beispiel:



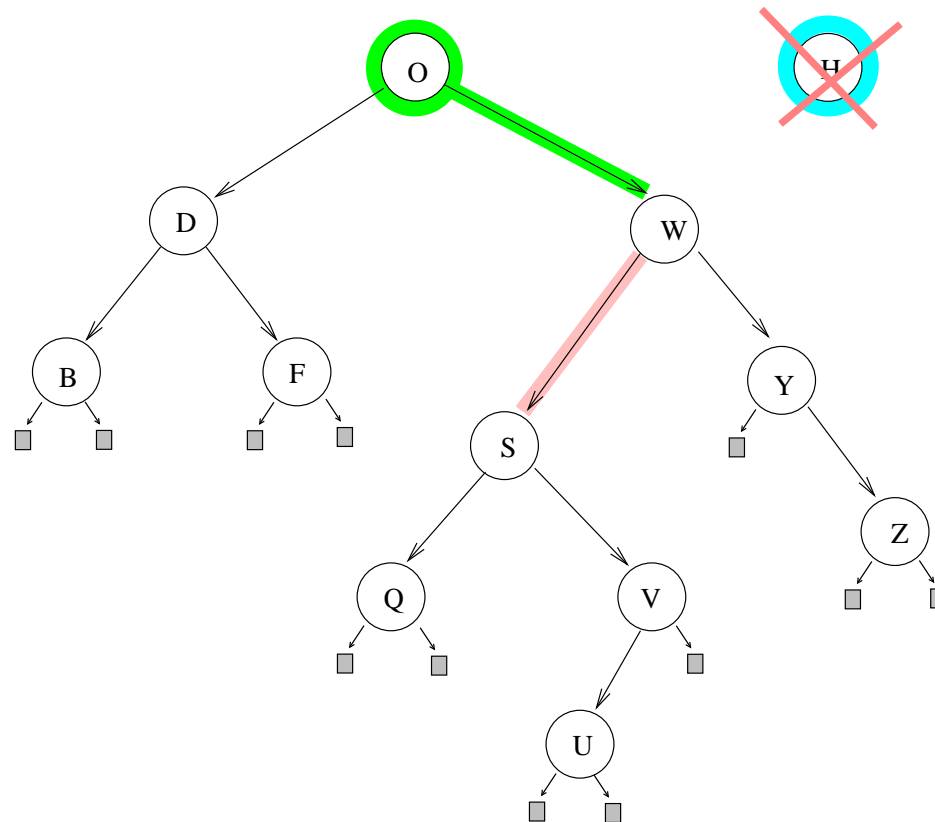
Lösche: K.

Beispiel:



Lösche: H.

Beispiel:



Lösche: H.

Intuitive, **iterative** Beschreibung des Löschvorgangs:

1) Suche Schlüssel x in T .

2) Falls nicht gefunden, ist nichts zu tun.

3) Falls x in Knoten v , gibt es drei Fälle:

3a) v hat keinen linken Unterbaum.

„Biege Zeiger vom Vater von v zu v auf den rechten Unterbaum von v um.“

Achtung! Der Fall, dass v Blatt ist, ist in 3a) inbegriffen.

3b) v hat keinen rechten Unterbaum.

„Biege Zeiger vom Vater von v zu v auf den linken Unterbaum von v um.“

3c) v hat linken **und** rechten Unterbaum.

Suche Inorder-Nachfolger u von v , d.h. den Knoten mit kleinstem Schlüssel im rechten Unterbaum von v .

(Gehe zum rechten Kind von v und dann „immer links“, bis Knoten u erreicht, der kein linkes Kind hat.)

Der linke Unterbaum von u ist immer leer!

Entferne u aus seinem Unterbaum durch „Umbiegen“ des Zeigers vom Vater von u auf den rechten Unterbaum an u .

Ersetze in T den Knoten v durch u (Zeiger zu den Kindern kopieren, Zeiger auf v nach u umbiegen).

Knoten v ist jetzt „frei“, kann gelöscht werden.

Übung: Löschung **iterativ** programmieren.

Korrektheit:

Behauptung: Aufruf $delete(T, x)$ erzeugt einen binären Suchbaum (der wieder T heißt),
der das modifizierte Wörterbuch $delete(f_T, x)$ darstellt.

Beweis: Induktion über den Aufbau von Binärbäumen.

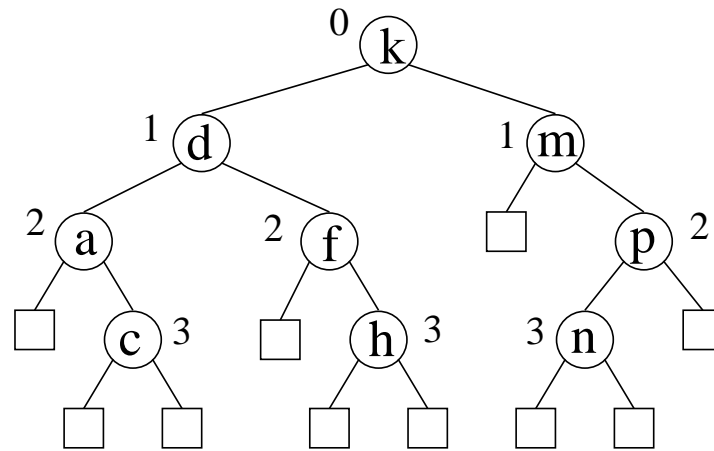
Dabei muss man gesondert beweisen, und dann benutzen, dass die Prozedur **extractMin**(T), angewendet auf einen nichtleeren BSB, das verlangte Resultat liefert.

Zeitaufwand:

- Wenn x im Knoten v_x vorhanden, Fälle 2 und 3:
Kosten $O(1)$ für jeden von $d(v_x) \leq d(T)$ Knoten auf dem Weg.
- Wenn x im Knoten v_x vorhanden, Fall 4:
Kosten $O(1)$ für jeden von $d(v_x^+) \leq d(T)$ Knoten auf dem Weg zum **Inorder-Nachfolger** v_x^+ von v_x .
- Wenn x im Baum T nicht vorhanden, Fall 1:
Kosten $O(1)$ für jeden der $d(l_x) \leq d(T) + 1$ Knoten auf dem Weg zu l_x .

4.2 Erwartete mittlere Tiefe in zufälligen BSBs

Schon gesehen:



Summe der Tiefen: $0 + 2 \cdot 1 + 3 \cdot 2 + 3 \cdot 3 = 17$

Totale innere Weglänge $\text{TIPL}(T) := \sum_{v \in V} d(v)$

Mittlere innere Weglänge: $\frac{1}{n} \text{TIPL}(T)$.

Zufällig erzeugte binäre Suchbäume

T **zufällig erzeugt**: Starte mit leerem Baum, füge Schlüssel aus Menge $S = \{x_1, x_2, \dots, x_n\}$ ein.

Eingabereihenfolge der Schlüssel $x_1 < x_2 < \dots < x_n$ ist „rein zufällig“ – jede Reihenfolge hat Wahrscheinlichkeit $1/n!$.

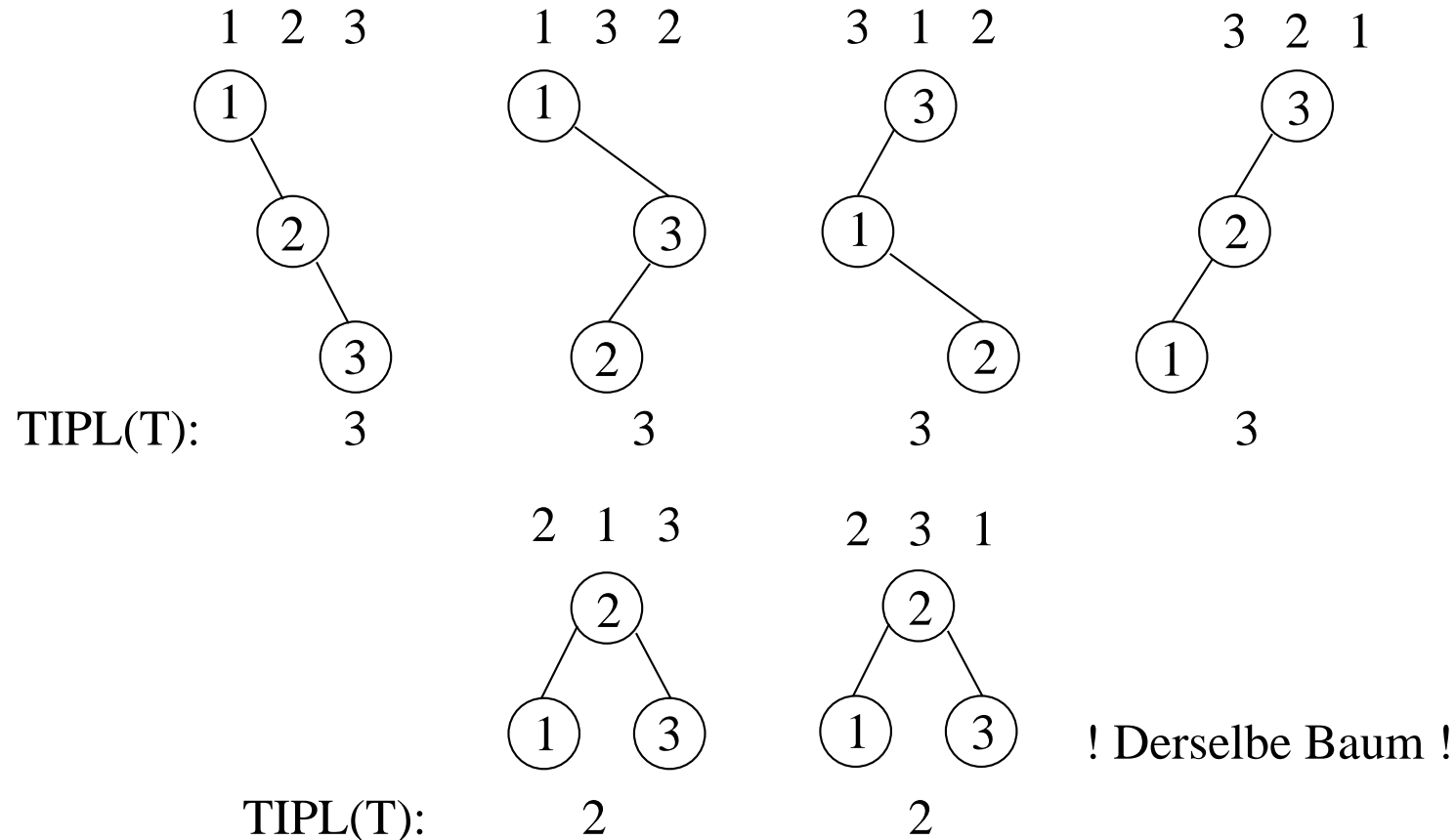
$$A(n) := \mathbf{E}(\text{TIPL}(T)).$$

Dann ist der **erwartete** (über **Eingabereihenfolge zufällig**) **mittlere** (über n Schlüssel $x \in S$ **gemittelte**) Aufwand für **lookup**(x):

$$O\left(1 + \frac{1}{n}A(n)\right).$$

Was ist $A(n)$? $A(0) = 0$, $A(1) = 0$, $A(2) = 1$.

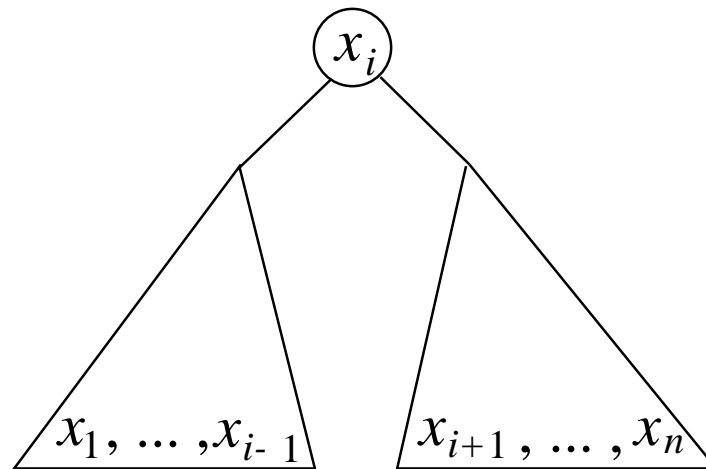
$A(3) = ?$ – 6 Einfügereihenfolgen für $(x_1, x_2, x_3) = (1, 2, 3)$:



$$A(3) = \mathbf{E}(\text{TIPL}(T)) = \frac{1}{6} (3 + 3 + 3 + 3 + 2 + 2) = \frac{8}{3}.$$

Rekursionsformel

Wenn x_i der erste eingefügte Schlüssel ist, dann hat der linke Unterbaum $i - 1$ Schlüssel, der rechte $n - i$.



Die Unterbäume sind selbst zufällig erzeugte binäre Suchbäume. Also: $\mathbf{E}(\text{TIPL}(T) \mid \text{falls } x_i \text{ erster}) = \dots$

$$\dots = ((i-1) + A(i-1)) + ((n-i) + A(n-i)).$$

Begründung: Der Weg in T zu jedem der $n - 1$ Knoten in den Teilbäumen ist um 1 länger als der Weg im Teilbaum; daher die Summanden $(i - 1)$, $(n - i)$.

Vereinfachung:

$$\mathbf{E}(\text{TIPL}(T) \mid \text{falls } x_i \text{ erster}) = (n - 1) + A(i - 1) + A(n - i).$$

Jeder der n Schlüssel x_1, \dots, x_n hat dieselbe Wahrscheinlichkeit $1/n$, als erster eingefügt zu werden und die Wurzel zu bilden.

Also Mittelung:

$$A(n) = \frac{1}{n} \sum_{1 \leq i \leq n} [(n-1) + A(i-1) + A(n-i)].$$

Das heißt:

$$A(n) = (n-1) + \frac{1}{n} \cdot \sum_{1 \leq i \leq n} (A(i-1) + A(n-i)).$$

Umgruppieren und Beachtung der Gleichung $A(0) = 0$ liefert:

$$A(n) = (n - 1) + \frac{2}{n} \cdot \sum_{1 \leq j \leq n-1} A(j)$$

Damit:

$$A(1) = (1 - 1) + \frac{2}{1} \sum_{1 \leq j \leq 0} A(j) = 0;$$

$$A(2) = (2 - 1) + \frac{2}{2}(0) = 1;$$

$$A(3) = (3 - 1) + \frac{2}{3}(0 + 1) = \frac{8}{3};$$

$$A(4) = (4 - 1) + \frac{2}{4}(0 + 1 + \frac{8}{3}) = \frac{29}{6};$$

$$A(5) = (5 - 1) + \frac{2}{5}(0 + 1 + \frac{8}{3} + \frac{29}{6}) = \frac{37}{5};$$

Geschlossene Form?

$$A(n) = (n - 1) + \frac{2}{n} \cdot \sum_{1 \leq j \leq n-1} A(j)$$

Multiplizieren mit n :

$$nA(n) = n(n - 1) + 2 \cdot \sum_{1 \leq j \leq n-1} A(j)$$

Dasselbe für $n - 1$:

$$(n - 1)A(n - 1) = (n - 1)(n - 2) + 2 \cdot \sum_{1 \leq j \leq n-2} A(j)$$

Subtrahieren:

$$\begin{aligned} nA(n) - (n - 1)A(n - 1) &= n(n - 1) - (n - 1)(n - 2) + 2A(n - 1) \\ &= 2(n - 1) + 2A(n - 1). \end{aligned}$$

$$nA(n) - (n-1)A(n-1) = 2A(n-1) + 2(n-1).$$

D.h.:

$$nA(n) - (n+1)A(n-1) = 2(n-1).$$

Teile durch $n(n+1)$:

$$\frac{A(n)}{n+1} - \frac{A(n-1)}{n} = \frac{2(n-1)}{n(n+1)}.$$

Abkürzung: $Z(n) := A(n)/(n+1)$.

Damit: $Z(0) = 0$ und

$$Z(n) - Z(n-1) = \frac{2(n-1)}{n(n+1)}, \quad \text{für } n \geq 1.$$

$$Z(0) = 0 \text{ und } Z(n) = Z(n-1) + \frac{2(n-1)}{n(n+1)} \text{ für } n \geq 1.$$

Also, für $n \geq 0$:

$$Z(n) = \sum_{1 \leq j \leq n} \frac{2(j-1)}{j(j+1)} = \sum_{1 \leq j \leq n} \left(\frac{2}{j} - \frac{4}{j(j+1)} \right).$$

Mit $\mathbf{H_n} := 1 + \frac{1}{2} + \frac{1}{3} + \frac{1}{4} + \dots + \frac{1}{n}$ (**n -te harmonische Zahl**)

und

$$\frac{1}{1 \cdot 2} + \frac{1}{2 \cdot 3} + \dots + \frac{1}{n \cdot (n+1)} = \left(1 - \frac{1}{2}\right) + \left(\frac{1}{2} - \frac{1}{3}\right) + \dots + \left(\frac{1}{n} - \frac{1}{n+1}\right) = 1 - \frac{1}{n+1}$$

gibt das:

$$Z(n) = 2H_n - \frac{4n}{n+1}.$$

$$Z(n) = 2H_n - \frac{4n}{n+1}$$

Mit $A(n) = Z(n) \cdot (n+1)$ liefert dies die „geschlossene Form“

$$A(n) = 2(n+1)H_n - 4n.$$

Erwartete mittlere Knotentiefe

(Einfügereihenfolge **zufällig**; **Mittelung** über x_1, \dots, x_n):
Teile durch n .

$$\frac{1}{n}A(n) = 2H_n - 4 + O\left(\frac{H_n}{n}\right).$$

Was ist H_n ?

Für jedes $i \geq 2$:

$$\frac{1}{i} < \int_{i-1}^i \frac{dt}{t}.$$

Für jedes $i \geq 1$:

$$\int_i^{i+1} \frac{dt}{t} < \frac{1}{i}.$$

Daraus:

$$H_n - 1 = \frac{1}{2} + \frac{1}{3} + \frac{1}{4} + \cdots + \frac{1}{n} < \int_1^n \frac{dt}{t} = \ln n.$$

$$\ln n = \int_1^n \frac{dt}{t} \leq 1 + \frac{1}{2} + \frac{1}{3} + \frac{1}{4} + \cdots + \frac{1}{n-1} < H_n.$$

Also: $\ln n < H_n < 1 + \ln n$, für $n \geq 2$.

Genauer (ohne Beweis): $(H_n - \ln n) \nearrow \gamma$, für $n \rightarrow \infty$,
wobei $\gamma = 0,57721 \dots$ („Euler-Konstante“).

Hatten schon:

$$\frac{1}{n}A(n) = 2H_n - 4 + O\left(\frac{H_n}{n}\right).$$

Eben gesehen: $\gamma = \lim_{n \rightarrow \infty} (H_n - \ln n) = \gamma \approx 0,57721$.

Satz 4.2.1

$$\frac{1}{n}A(n) = 2 \ln n - (4 - 2\gamma) + o(1)$$

Wenn man Zweierlogarithmen lieber mag:

$$\frac{1}{n}A(n) = (\mathbf{2 \ln 2}) \log n - 2,846 \dots + o(1).$$

Dabei: $2 \ln 2 = \mathbf{1,386 \dots}$

Satz 4.2.1 (Kurzform)

In zufällig erzeugten „natürlichen“ binären Suchbäumen ist die **erwartete mittlere** Knotentiefe $1,39 \log n + O(1)$.

Mitteilungen: Erwartete **Baumtiefe** ist ebenfalls $O(\log n)$,
genauer: $\mathbf{E}(d(T)) \leq 3 \log n + O(1/n)$.

Leider: Normalerweise Einfügereihenfolge **nicht zufällig**.

Ungünstige Reihenfolge: Daten partiell sortiert.

Zudem: Häufiges Löschen mit **extractMin** zerstört die Balance, mittlere Suchzeit wird $\Omega(\sqrt{n})$.

Abhilfe hierfür: Bei Löschungen von Knoten mit nichtleeren Unterbäumen **abwechselnd kleinsten Schlüssel aus rechtem Unterbaum und größten Schlüssel aus linkem Unterbaum** entnehmen.

4.3 Balancierte binäre Suchbäume

Idee:

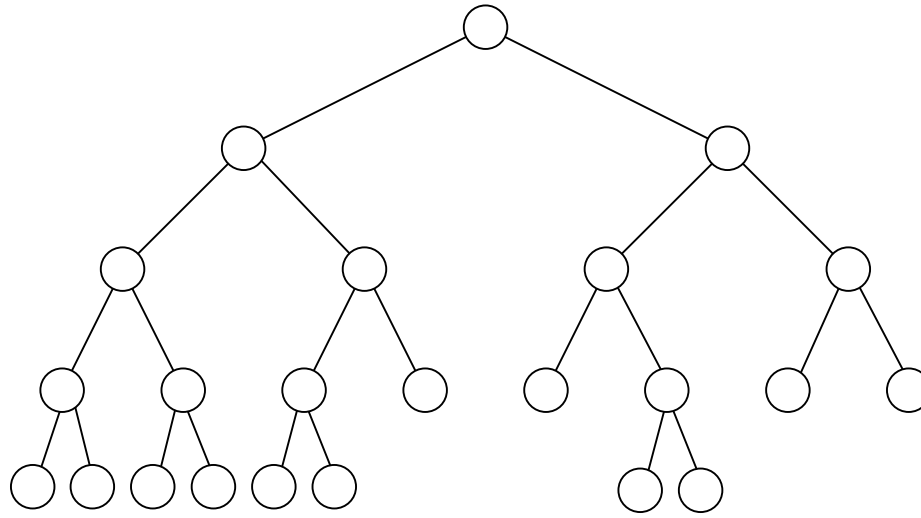
- Lasse nur Bäume zu, die bestimmte **Strukturbedingungen** erfüllen.
- Strukturbedingungen **erzwingen geringe Tiefe** (z. B. $O(\log n)$ bei n Einträgen).
- **Implementiere** Wörterbuch-Operationen

insert und delete,

so dass sie die **Strukturbedingungen erhalten** und in Zeit $O(\text{Baumtiefe})$ durchführbar sind.

?? Attraktiv: Perfekte Balance.

D. h.: Alle Blätter auf zwei benachbarten Levels:



Tiefe d erfüllt $2^d - 1 < n \leq 2^{d+1} - 1$,

also $d < \log(n + 1) \leq d + 1$, also $d = \lceil \log(n + 1) \rceil - 1$.

(Dies ist auch $|\text{bin}(n)| - 1$.)

Attraktiv ??

Ungeeignet, da Einfüge- und Lösch-Operationen zu teuer.

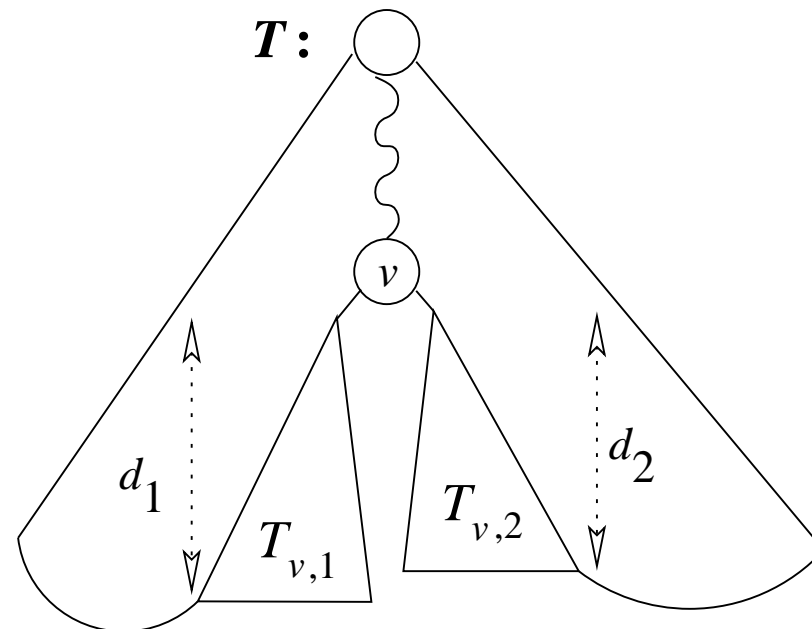
Häufig benutzte Strukturbedingungen:

- **AVL-Bäume**
- **Rot-Schwarz-Bäume** [Cormen et al.], [Sedgewick]
- **2-3-Bäume**
- **2-3-4-Bäume** [Cormen et al.], [Sedgewick], [D./Mehlhorn/Sanders]
- **B-Bäume** [Cormen et al.]

4.3.1 AVL-Bäume

Höhenbalancierte binäre Suchbäume

[G. M. Adelson-Velski und J. M. Landis 1962]



$$|d_2 - d_1| \leq 1$$

Definition 4.3.1

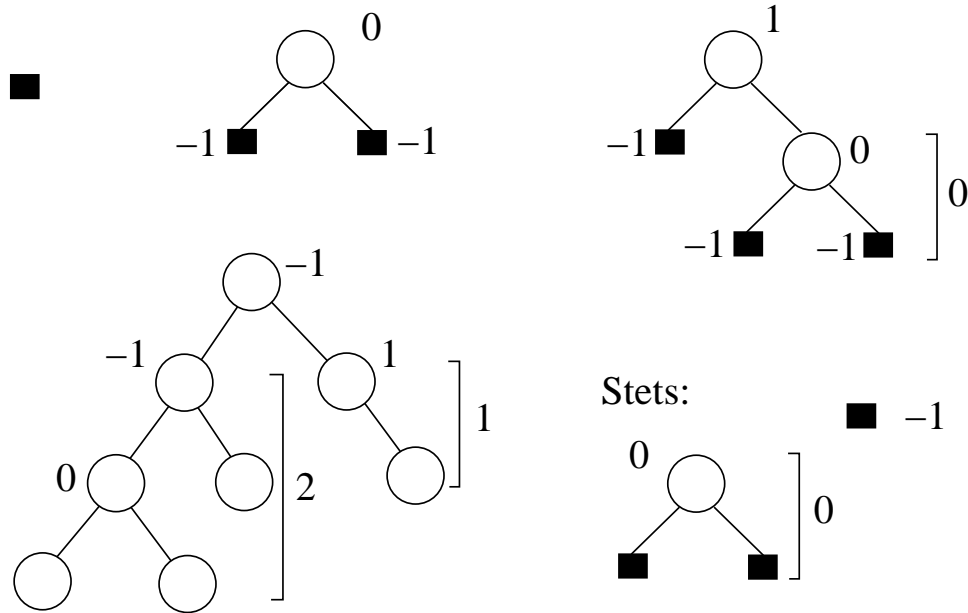
Ein **Binärbaum** T heißt **höhenbalanciert**,
falls in **jedem Knoten** v in T
für den Teilbaum $T_v = (T_{v,1}, v, T_{v,2})$ mit Wurzel v gilt:

$$\underbrace{d(T_{v,2}) - d(T_{v,1})}_{\text{„Balancefaktor } bal \text{ in } v"} \in \{-1, 0, 1\} .$$

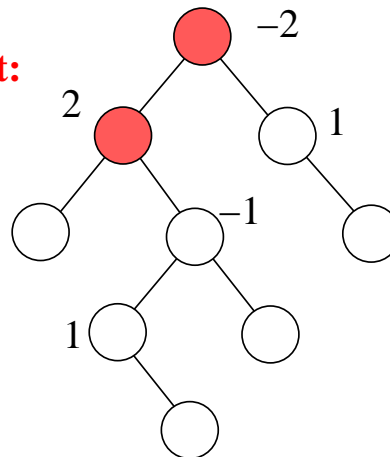
Äquivalent ist die **rekursive** Charakterisierung:

- (i) Der leere Baum \square ist höhenbalancierter BB über U .
- (ii) Sind T_1 und T_2 höhenbalancierte BB, $x \in U$,
und ist $bal = d(T_2) - d(T_1) \in \{-1, 0, 1\}$,
so ist (T_1, x, T_2) höhenbalancierter BB über U
(mit **Balancefaktor** bal).

Beispiele:



**Nicht
höhenbalanciert:**



Definition 4.3.2

Ein **höhenbalancierter binärer Suchbaum** heißt **AVL-Baum**.

Für die **Implementierung** von AVL-Bäumen muss man in jedem inneren Knoten v seinen Balancefaktor speichern.

Notation: **bal**(v) ist der Balancefaktor in Knoten v .

Hoffnung: AVL-Bäume sind nicht allzu tief.

Tatsächlich: „... logarithmisch tief“.

Satz 4.3.3

Ist T ein höhenbalancierter Baum mit $n \geq 1$ Knoten, so gilt

$$d(T) \leq 1,4405 \cdot \log_2 n.$$

D.h.: AVL-Bäume sind höchstens um den Faktor 1,4405 tiefer als vollständig balancierte binäre Suchbäume mit derselben Knotenzahl.

Beweisansatz: Wir zeigen, dass ein AVL-Baum mit Tiefe d exponentiell in d viele Knoten haben muss,

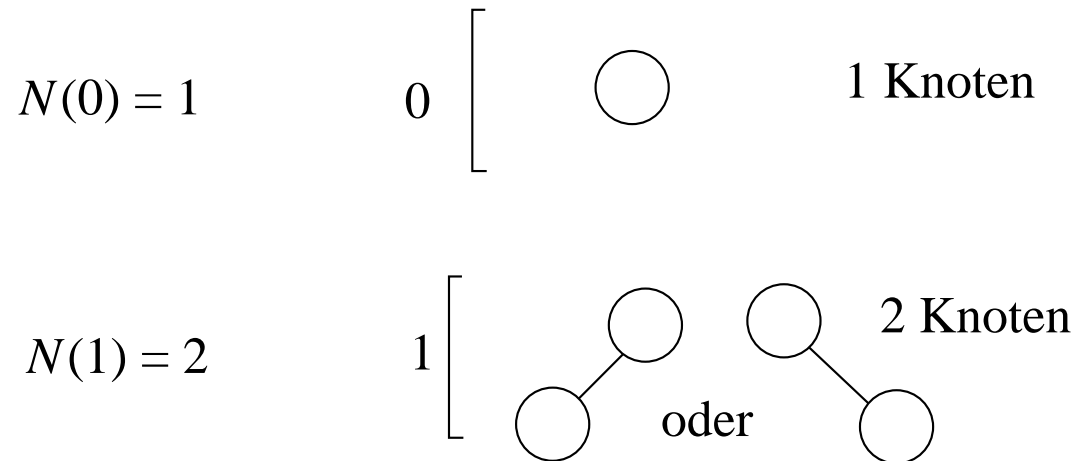
nämlich mindestens Φ^d viele für eine Konstante $\Phi > 1$,

mit $\log_\Phi 2 \leq 1,4405$.

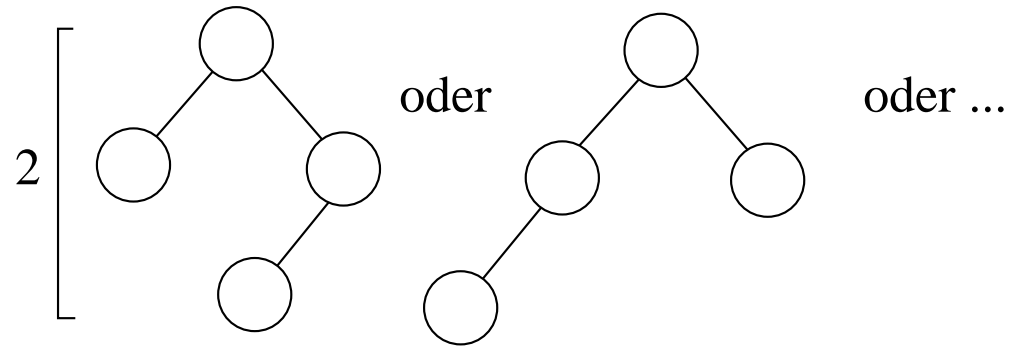
Beweis des Satzes:

Für $d = 0, 1, 2, \dots$ setze

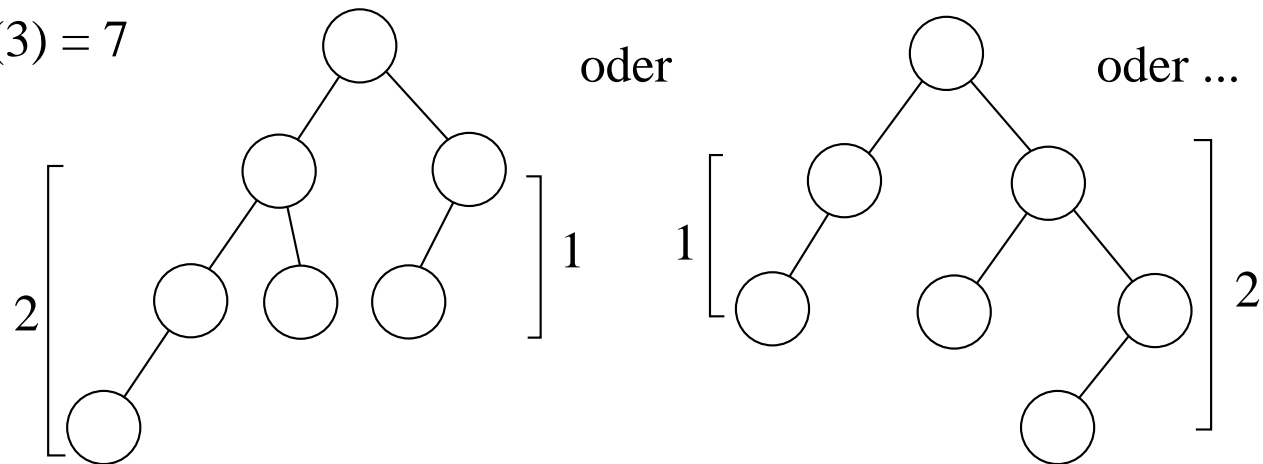
$N(d) :=$ die **minimale Zahl innerer Knoten**
in einem AVL-Baum T mit $d(T) = d$.



$$N(2) = 4$$

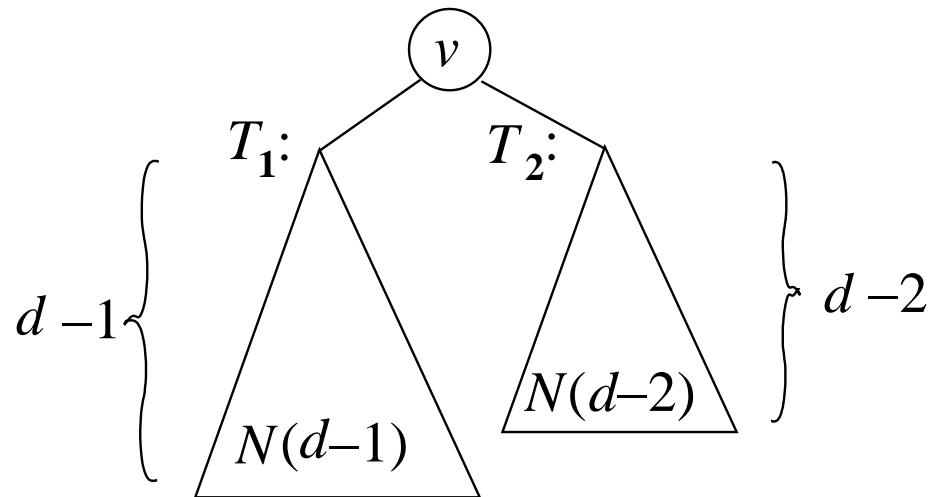


$$N(3) = 7$$



Behauptung 1:

$$N(d) = 1 + N(d-1) + N(d-2), \text{ für } d \geq 2.$$



Beweis: Es ist klar, dass $N(d) > N(d-1)$ für alle d .

Damit der höhenbalancierte Baum der Tiefe d minimale Knotenzahl hat, müssen die Unterbäume Tiefe $d-1$ und $d-2$ haben und selbst minimale Knotenzahl für diese Tiefe haben.

$N(d) = 1 + N(d - 1) + N(d - 2)$, für $d \geq 2$. – $N(d)$ für kleine d :

| d | $N(d)$ |
|-----|--------|
| 0 | 1 |
| 1 | 2 |
| 2 | 4 |
| 3 | 7 |
| 4 | 12 |
| 5 | 20 |
| 6 | 33 |
| 7 | 54 |
| 8 | 88 |
| 9 | 143 |

Eindruck: exponentielles Wachstum.

Man kann zeigen: $N(d) = F_{d+3} - 1$, für **Fibonacci-Zahlen** F_0, F_1, F_2, \dots

Behauptung 2:

$$N(d) \geq \Phi^d, \text{ für } d \geq 0,$$

wo $\Phi = \frac{1}{2}(1 + \sqrt{5}) \approx 1,618 \dots$ („goldener Schnitt“).

(*) Φ ist Lösung der quadratischen Gleichung $x^2 = x + 1$.

Beweis von Beh. 2: Vollständige Induktion.

Für $d = 0$: $N(0) = 1 = \Phi^0$; für $d = 1$: $N(1) = 2 > \Phi$.

Sei nun $d \geq 2$.

$$\begin{aligned} N(d) &\stackrel{\text{Beh. 1}}{=} 1 + N(d-1) + N(d-2) \\ &\stackrel{\text{I.V.}}{\geq} \Phi^{d-1} + \Phi^{d-2} = \Phi^{d-2}(\Phi + 1) \\ &\stackrel{(*)}{=} \Phi^{d-2} \cdot \Phi^2 = \Phi^d. \end{aligned}$$

Nun sei T ein höhenbalancierter Baum mit Höhe $d(T) \geq 0$ und n Knoten.

Nach Behauptung 2: $\Phi^{d(T)} \leq n$.

Durch **Logarithmieren**:

$$d(T) \leq \log_{\Phi}(n), \text{ d. h.}$$

$$d(T) \leq \log_{\Phi}(2) \cdot \log_2(n).$$

Es gilt: $\log_{\Phi}(2) = (\ln 2)/(\ln \Phi) = 1,440420 \dots < 1,4405$.

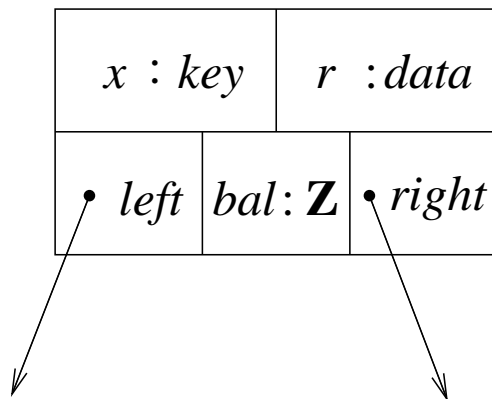
Damit ist Satz 4.3.3 bewiesen. □

AVL-Bäume: höhenbalancierte binäre Suchbäume.
Wissen: haben logarithmische Tiefe.

Müssen noch zeigen:

Man kann die Wörterbuchoperationen so implementieren,
dass die AVL-Eigenschaft erhalten bleibt,
und der Zeitbedarf proportional zur Tiefe ist.

Knotenformat:



x : key;
 r : data;
 bal : integer; // Legal: $\{-1, 0, 1\}$
 $left, right$: AVL_Tree
// Zeiger auf Baumknoten

4.3.2 Implementierung der Operationen bei AVL-Bäumen

AVL_empty: Erzeuge *NULL*-Zeiger.

(Wie bei gewöhnlichem BSB.)

AVL_lookup: Wie bei gewöhnlichem BSB.

Brauchen nur: **AVL_insert**(T, x, r) und **AVL_delete**(T, x).

Grundansatz:

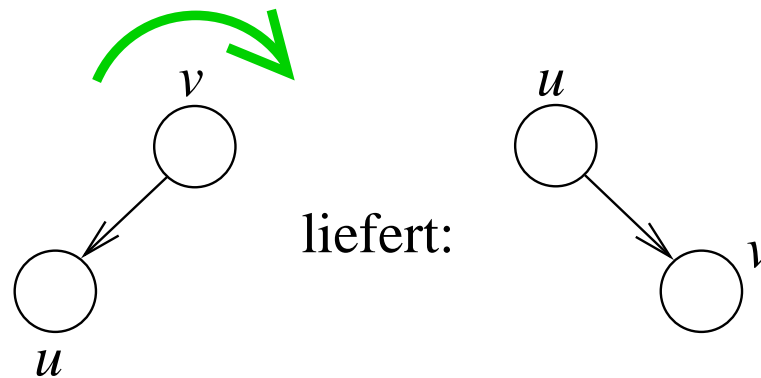
Führe Update-Operation aus wie bei gewöhnlichem BSB.

Eventuell wird dadurch Bedingung „Höhenbalancierung“ verletzt.

„Reparatur“: **Rebalancierung**, erfolgt rekursiv.

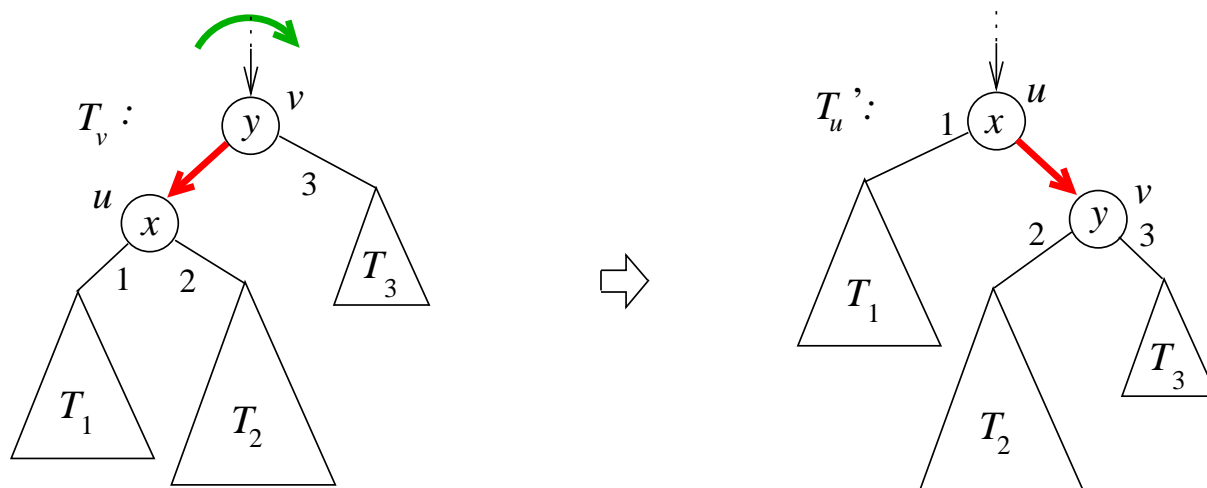
Rotationen: Hilfsoperationen

Rechtsrotation: „kippe 1 Kante nach rechts“:



Rotationen: Hilfsoperationen

Rechtsrotation: Mit Unterbäumen:



Beobachte: Knotenmenge gleich $\wedge T'_u$ binärer Suchbaum.

Denn: Weil T_v binärer Suchbaum ist, gilt für v_1 in T_1 , v_2 in T_2 , v_3 in T_3 : $\text{key}(v_1) < x < \text{key}(v_2) < y < \text{key}(v_3)$. Also ist T'_u auch BSB.

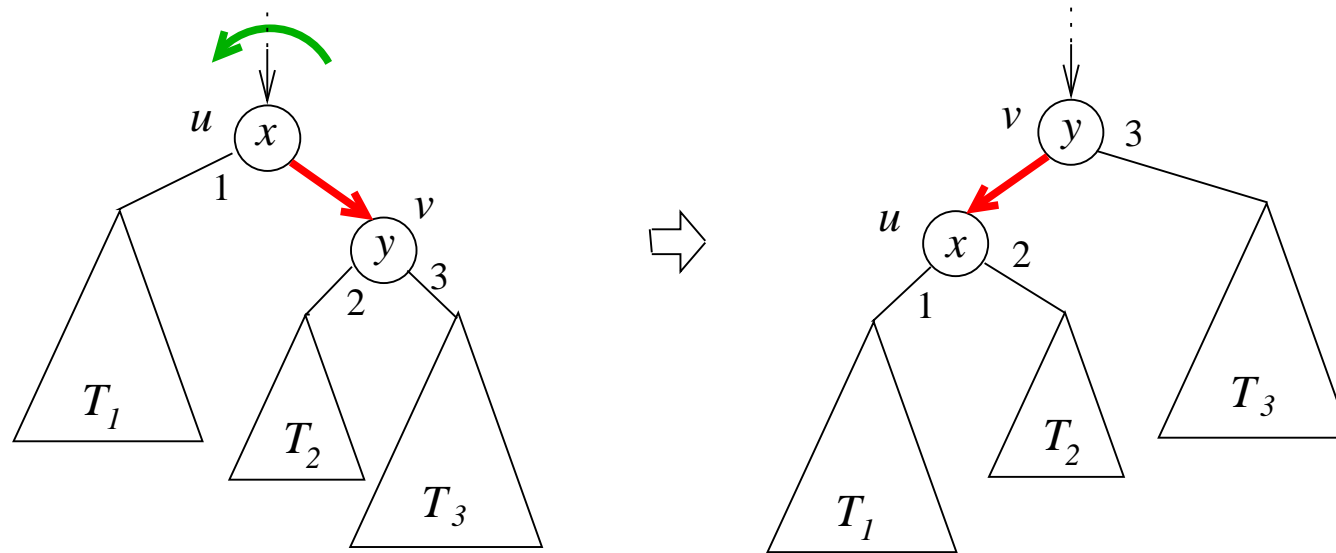
Beim Umbau ändert sich nur: rechtes Kind von u und linkes Kind von v , sowie der Zeiger von außen (von v auf u umsetzen).

Rechtsrotation als Programm:

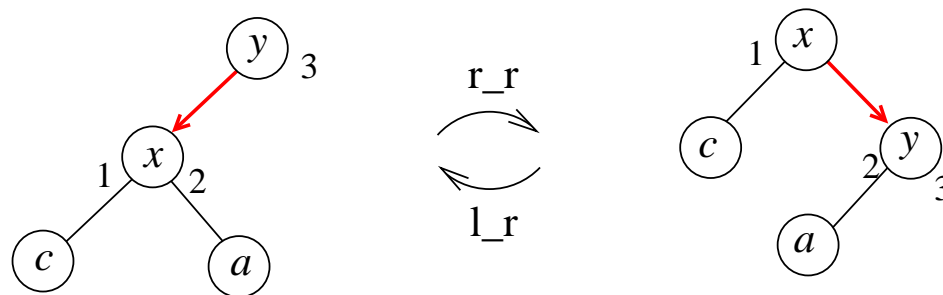
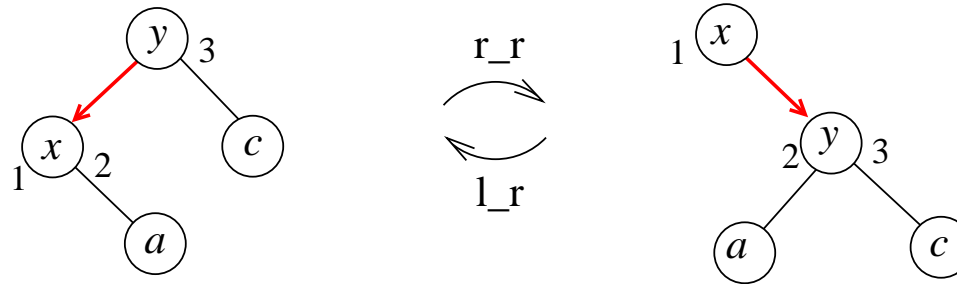
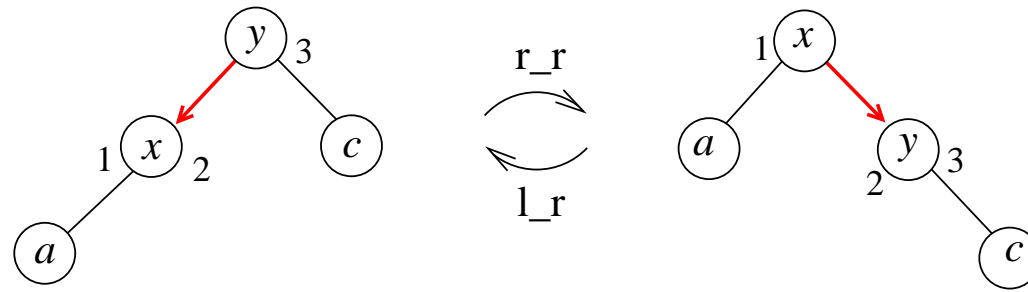
Funktion rotateR(v : AVL_Tree): AVL_Tree

- (1) // $v \neq \square$, $v.\text{left} \neq \square$
- (2) u : AVL_Tree ; // Hilfsvariable
- (3) u \leftarrow v.left ;
- (4) v.left \leftarrow u.right ;
- (5) u.right \leftarrow v ;
- (6) **return** u
- (7) // **!! Balancefaktoren in u und v sind falsch!**

Linksrotation: Umkehrung von Rechtsrotation,
Implementierung analog.

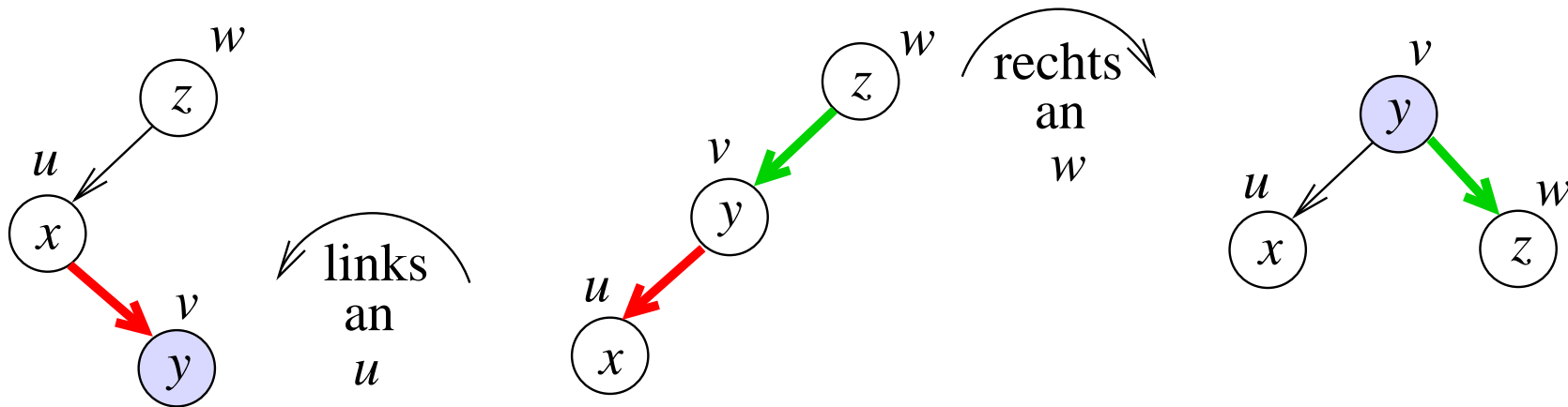


Hier und in den folgenden *Beispielen*:
Nummern bezeichnen Anschlussstellen für die Unterbäume.



Doppelrotationen: Links-Rechts, Rechts-Links

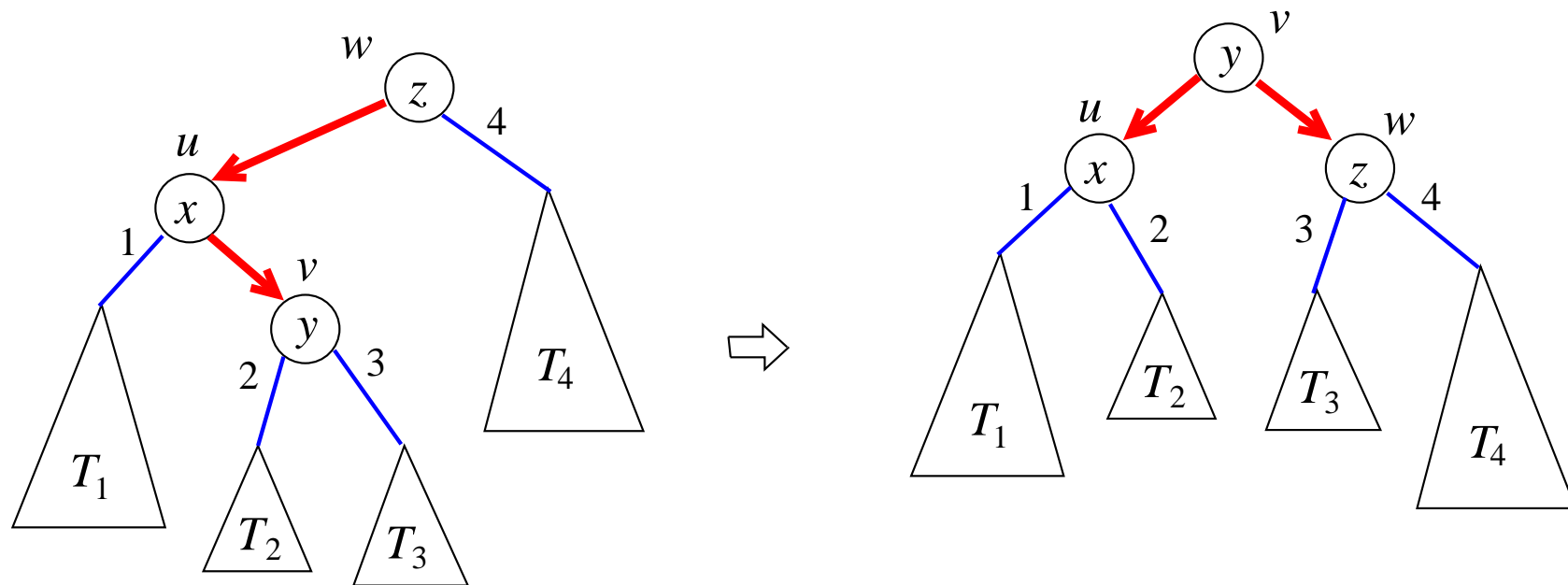
Beispiel: Links-Rechts-Doppelrotation



Anzuwenden auf Zick-Zack-Weg aus zwei Kanten,
Form „**links-rechts**“.

Effekt: **Tiefster** Knoten y wird Wurzel.

Links-Rechts-Doppelrotation: Mit Unterbäumen



Gesamteffekt: Der **unterste** Knoten v des Zick-Zack-Wegs („links-rechts“) wandert nach oben, wird **Wurzel**; die beiden anderen Knoten u und w werden linkes und rechtes Kind.

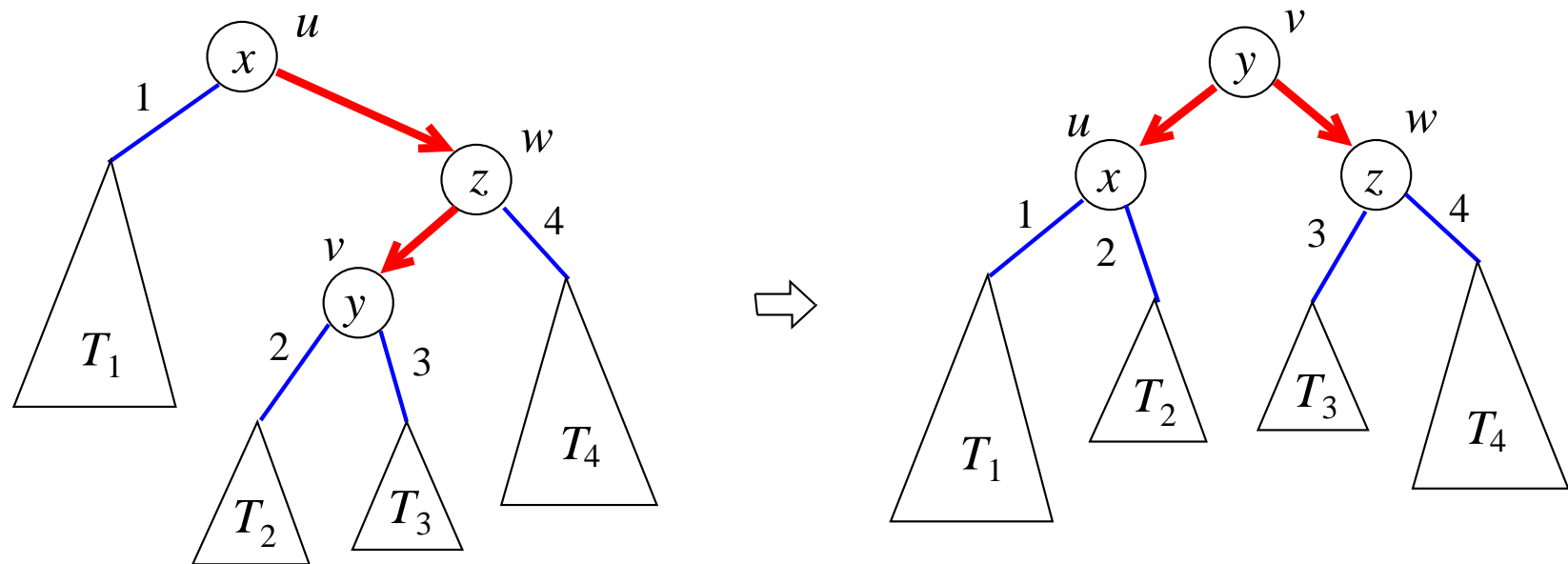
LR-Doppelrotation als Programm

Funktion rotateLR($w : \text{AVL_Tree}$) : AVL_Tree

```
(1)  // Eingabe:  $w \neq \square$  mit  
(2)      //  $w.\text{left} \neq \square$ ,  $w.\text{left}.\text{right} \neq \square$   
(3)   $u, v : \text{AVL\_Tree}$  ;  
(4)   $u \leftarrow w.\text{left}$  ;  
(5)   $v \leftarrow u.\text{right}$  ;  
(6)   $w.\text{left} \leftarrow v.\text{right}$  ;  
(7)   $u.\text{right} \leftarrow v.\text{left}$  ;  
(8)   $v.\text{left} \leftarrow u$  ;  
(9)   $v.\text{right} \leftarrow w$  ;  
(10) return  $v$   
(11) // !! Balancefaktoren in  $u, v, w$  sind falsch!  
:    :
```

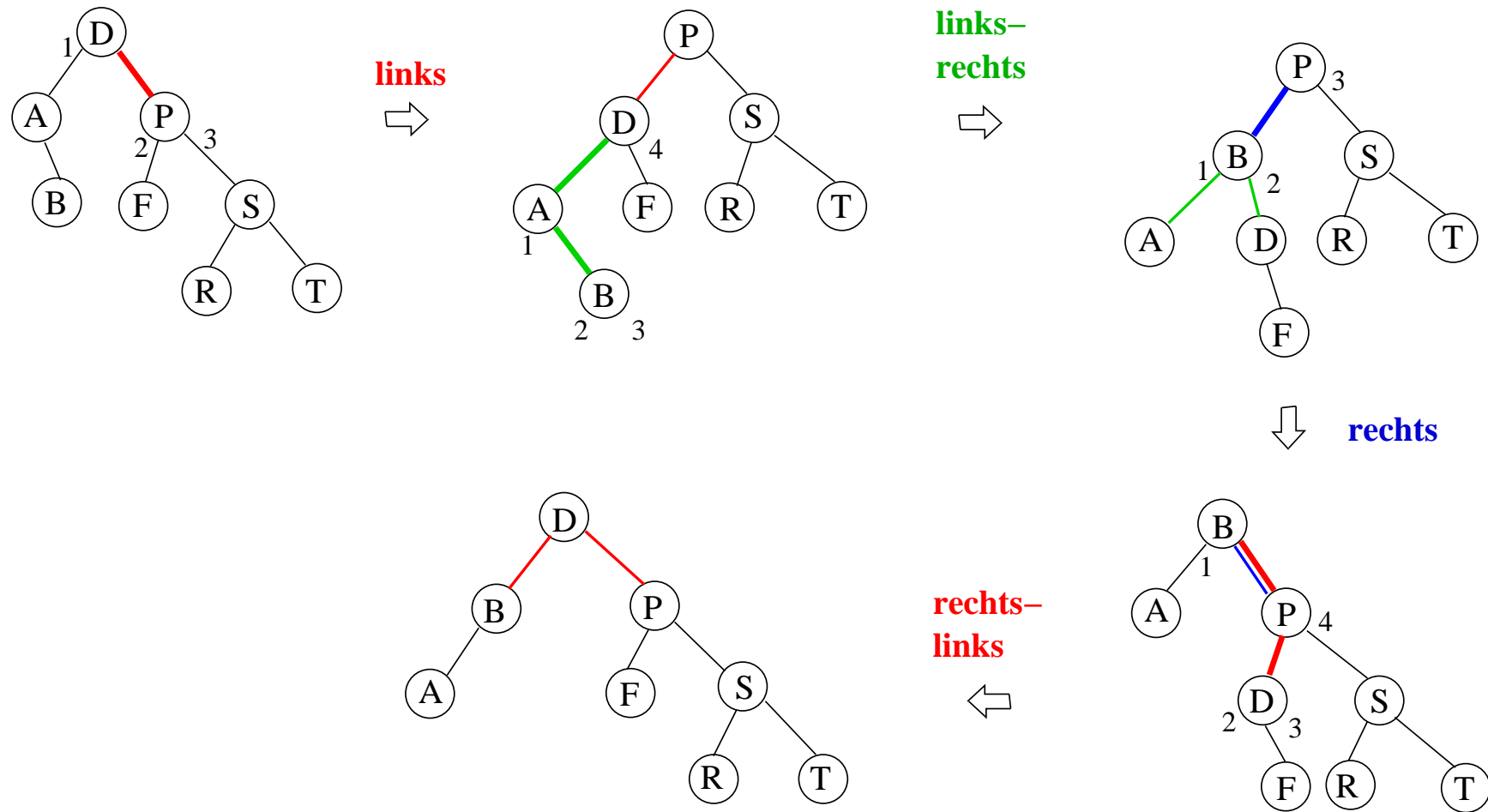
Rechts-Links-Doppelrotation:

Symmetrisch zu Links-Rechts-Doppelrotation



Implementierung: Analog zu Links-Rechts-Doppelrotation.

Beispiel:



AVL_insert(T, x, r)

Gesamteffekt:

Füge ein wie bei gewöhnlichem BSB: erzeugt neuen Knoten.

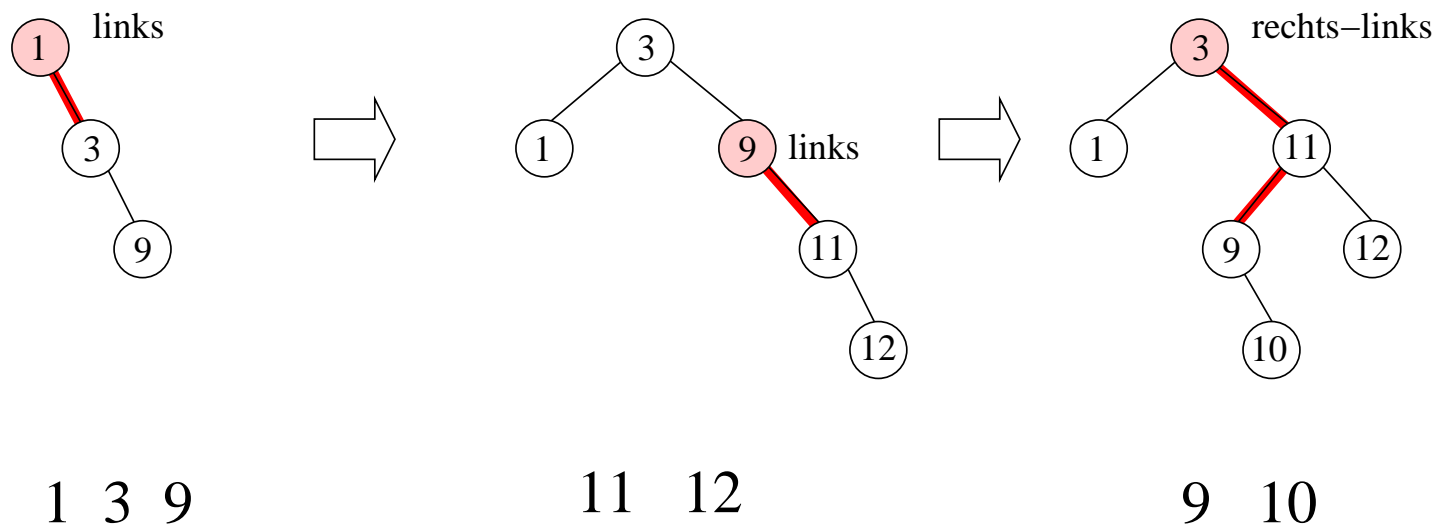
Laufe dann **Einfügeweg** **von unten nach oben** ab,
kontrolliere Balancebedingung.

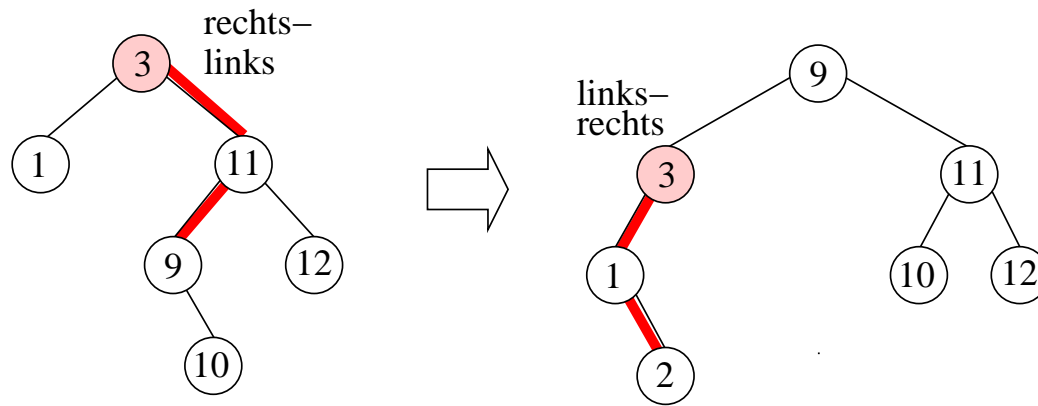
Wenn Balancebedingung nirgendwo verletzt: fertig.

Sonst finde auf dem Weg vom neuen Knoten zur Wurzel den
tiefsten Knoten v , an dem die Balancebedingung nicht erfüllt
ist.

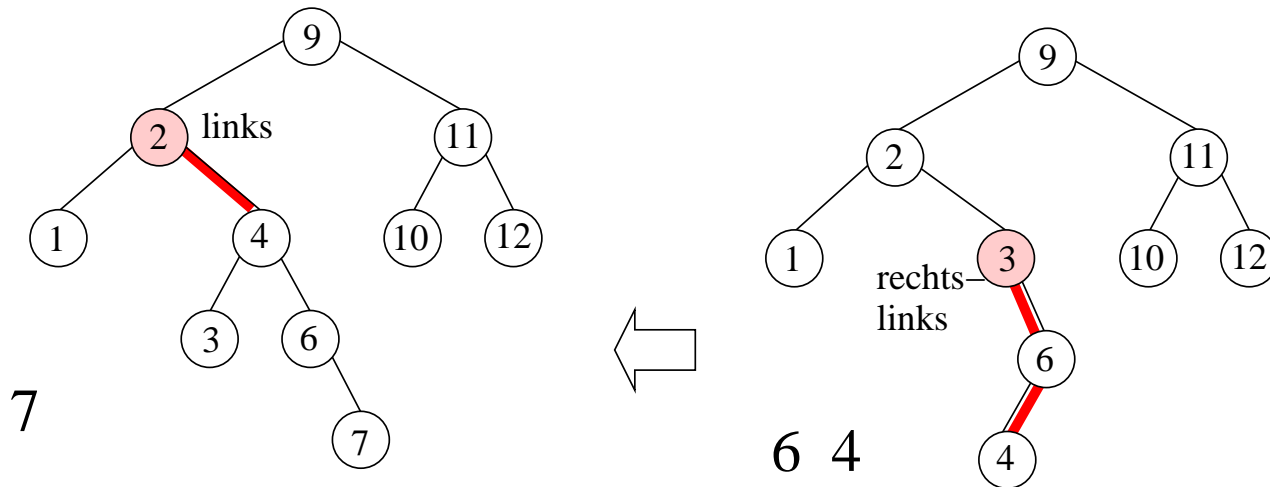
An v wird eine Einfach- oder Doppelrotation ausgeführt
und dadurch die Balancebedingung wieder hergestellt.

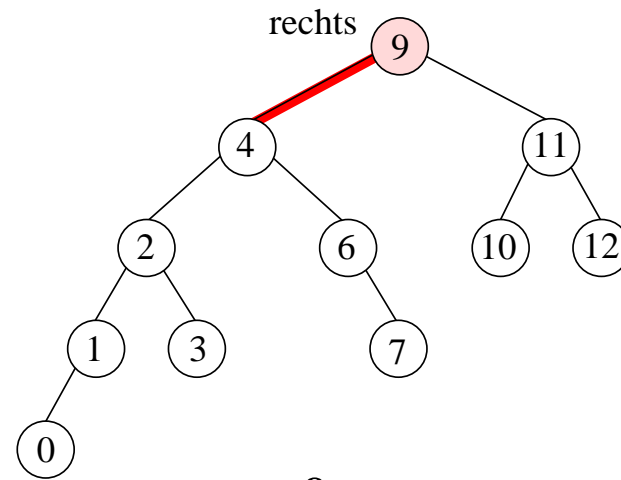
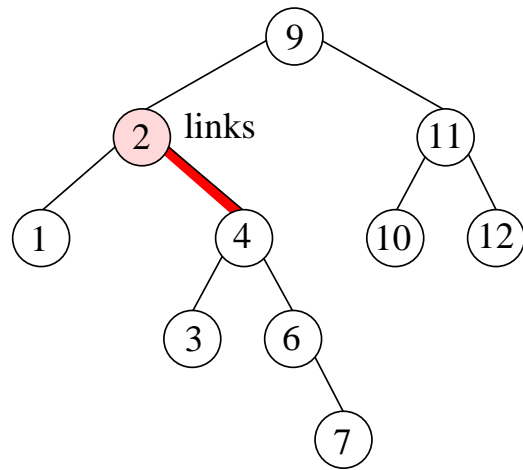
Beispiel: Einfügen von 1, 3, 9, 11, 12, 10, 2, 6, 4, 7, 0 in anfangs leeren AVL-Baum. Wir zeichnen nur Situationen, in denen **Rotationen stattfinden**. Der tiefste Knoten, an dem die Balancebedingung verletzt ist, ist **rot** gezeichnet.



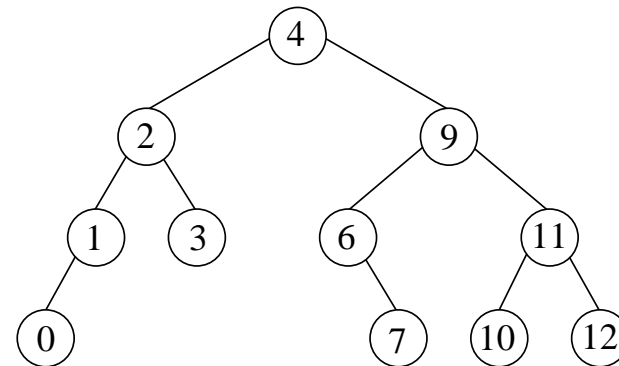


2





0



Etwas knifflig: Rekursive Programmierung des Ablaufs.

Kann/will nicht verwenden: „Globale Sicht“, Vergleichen von Tiefen durch „Hinschauen“.

Benutzt werden:

- Balancefaktoren `T.bal` in den Knoten,
- Flagbit „deeper“, das als Resultat eines rekursiven Aufrufs mitteilt, ob der bearbeitete Unterbaum **tiefer** geworden ist.

Steuerung einer großen Fallunterscheidung durch alte Balancefaktoren und „deeper“-Meldungen aus rekursivem Aufruf.

Funktion AVL_insert(T,x,r): (AVL_Tree,boolean)

(1) // **Eingabe:** T: AVL_Tree, x: key, r: data

(2) // **Ausgabe:** T: AVL_Tree, deeper: boolean

(3) **1. Fall:** $T = \square$

(4) T: new AVL_Tree // Erzeuge neuen AVL-Baum-Knoten

(5) T.key \leftarrow x ;

(6) T.data \leftarrow r ;

(7) T.left \leftarrow NULL;

(8) T.right \leftarrow NULL;

(9) T.bal \leftarrow 0 ;

(10) return (T, true) .

(11) // Baumhöhe hat sich von -1 auf 0 erhöht.

```
(12) 2. Fall:  $T \neq \square$  and  $T.key = x$ .
(13)    // Update-Situation!
(14)     $T.data \leftarrow r$  ;
(15)    return  $(T, false)$  .
(16)    // Baumstruktur nicht verändert.

(17) 3. Fall:  $T \neq \square$  and  $x < T.key$ .
(18)     $(T.left, left\_deeper) \leftarrow \text{AVL\_insert}(T.left, x, r)$  ;
(19)    // Rekursives Einfügen in linken Unterbaum
(20)     $(T, deeper) \leftarrow \text{RebalanceInsLeft}(T, left\_deeper)$  ;
(21)    // Rebalancierung in der Wurzel von T, s. unten
(22)    return  $(T, deeper)$  .
```

```
(23) 4. Fall:  $T \neq \square$  and  $T.\text{key} < x$ .  
(24)  $(T.\text{right}, \text{right\_deeper}) \leftarrow \text{AVL\_insert}(T.\text{right}, x, r)$  ;  
(25) // Rekursives Einfügen in rechten Unterbaum  
(26)  $(T, \text{deeper}) \leftarrow \text{RebalanceInsRight}(T, \text{right\_deeper})$  ;  
(27) // Rebalancierung in der Wurzel von T,  
        symmetrisch zum 3. Fall.  
(28) return  $(T, \text{deeper})$  .
```

Zeile (18): **AVL_insert** rekursiv auf `T.left`, `x`, `r` anwenden.

Ergebnis: Unterbaum `T.left` geändert,
Flagbit `left_deeper` bedeutet:

`left_deeper = false`: `T.left` hat gleiche Höhe wie vorher;

`left_deeper = true`: `T.left` ist um 1 Ebene tiefer geworden.

Invariante (*Beweis* durch Induktion über rekursive Aufrufe):

`T.left` ist AVL-Baum (mit korrekten Balancefaktoren).

Probleme: ? Balancebedingung in Wurzel von `T` erfüllt?

 ? Balancefaktor in Wurzel von `T` korrekt?

Zeile (20): **RebalanceInsLeft** prüft und korrigiert;

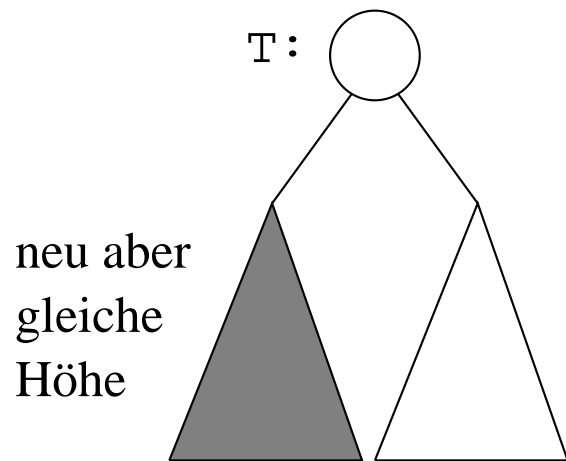
Ergebnis: Neuer Baum `T` und Flagbit `deeper`.

RebalanceLeft(T, left_deeper)

Fall ReblL-1

Aktion:

`left_deeper = false`



`deeper ← false ;`
`// T.bal stimmt noch`

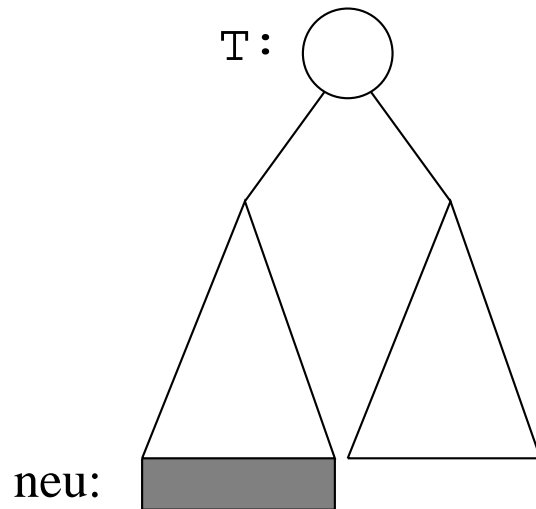
`// Wenn dieser Fall einmal eingetreten ist,`
`// setzt er sich nach oben immer weiter`
`fort.`
`// D. h.: Rebalancierung abgeschlossen.`

RebalanceLeft(T, left_deeper)

Fall Rebl-2

Aktion:

$\text{left_deeper} = \text{true} \wedge$
 $\text{T.bal} = 0 \quad // \quad \text{alter Wert!}$



$\text{deeper} \leftarrow \text{true};$
 $\text{T.bal} \leftarrow -1;$

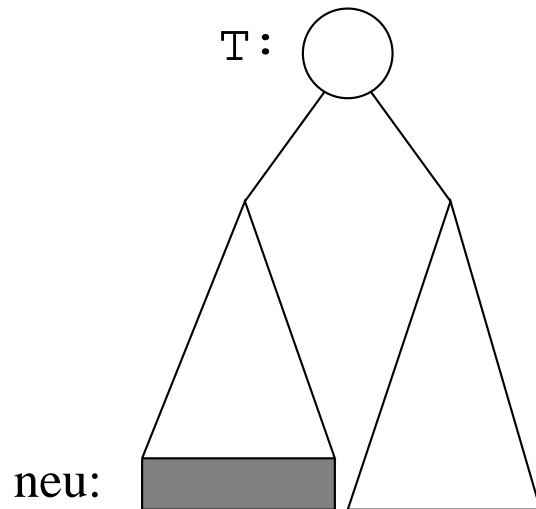
// Die Rebalancierungsaufgabe wird
// nach oben durchgereicht.

RebalanceLeft(T, left_deeper)

Fall Rebl-3

Aktion:

$\text{left_deeper} = \text{true} \wedge$
 $\text{T.bal} = 1 \quad // \quad \text{alter Wert!}$



$\text{deeper} \leftarrow \text{false} ;$
 $\text{T.bal} \leftarrow 0 ;$

// Rebalancierung ist abgeschlossen,
// ohne Strukturänderung.

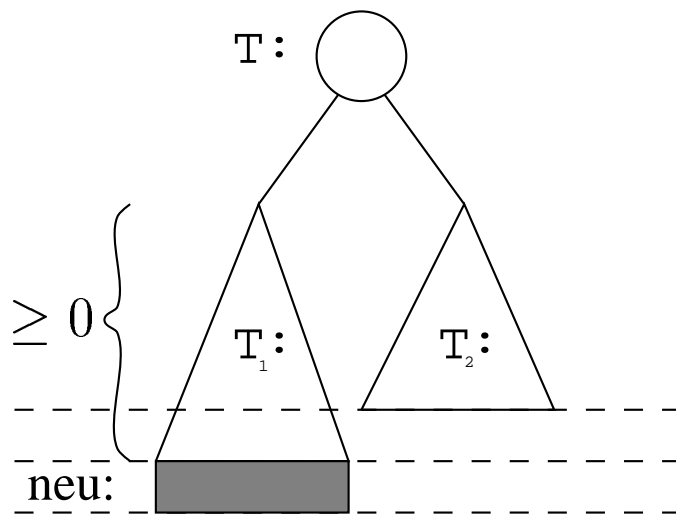
RebalanceInsLeft(T, left_deeper)

Fall Rebl-4

Aktion:

$\text{left_deeper} = \text{true} \wedge$

$\text{T.bal} = -1 \quad // \quad \text{alter Wert!}$



???

// Strukturänderung nötig.

Beobachte: Schon **vor** dem rekursiven Aufruf von **AVL_insert** war linker Unterbaum T_1 von T nicht leer.

Schon gesehen: **RebIL-1**, **RebIL-3** (und **RebIR-1**, **RebIR-3**) liefern `deeper = false`.

Werden sehen: **RebIL-4/RebIR-4** liefern `deeper = false`.

⇒ beim rekursiven Aufruf der Rebalancierung für `T.left` ist Fall **RebIL-2** oder **RebIR-2** eingetreten

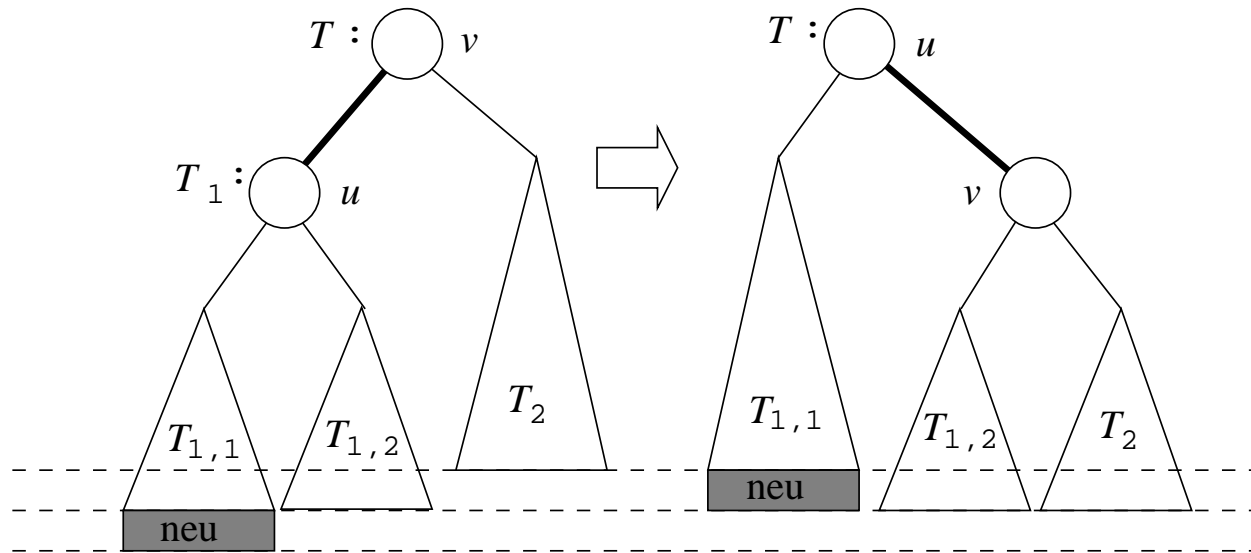
⇒ Balancefaktor `T.left.bal` in T_1 ist -1 oder 1 .

Unterfall ReblL 4.1

$T.\text{left}.bal = -1$

Aktion:

Rechtsrotation



$T \leftarrow \text{rotateR}(T) ;$

$\text{deeper} \leftarrow \text{false} ;$

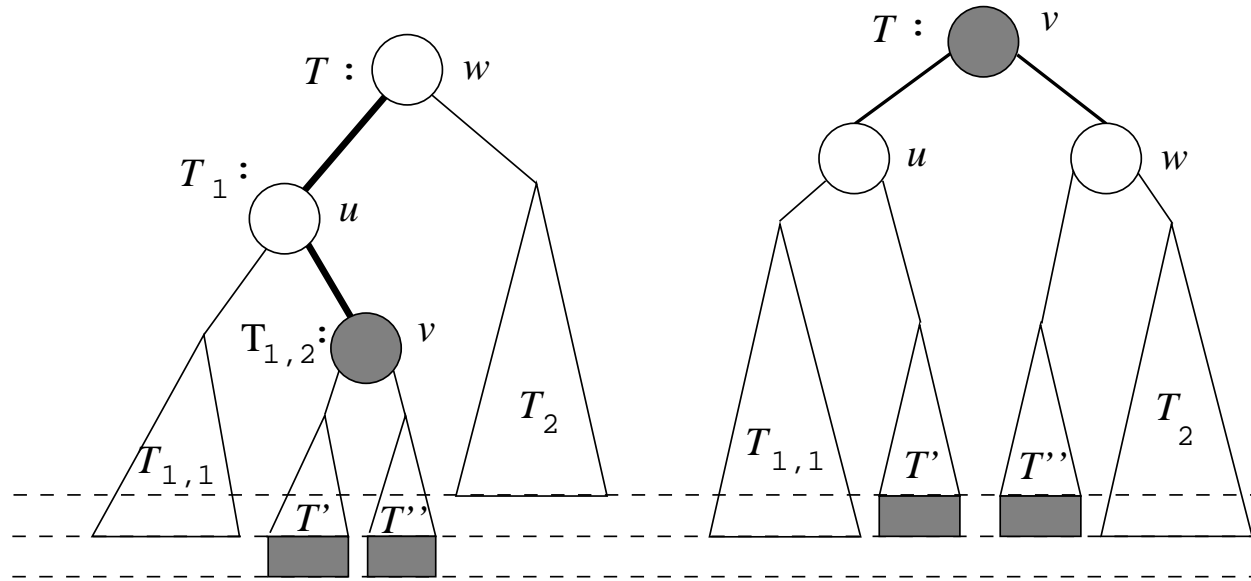
$T.bal \leftarrow 0 ;$

$T.\text{right}.bal \leftarrow 0 ;$

Unterfall ReblL 4.2

$T.\text{left.bal} = 1$

Aktion: Links-Rechts- Doppelrotation



$T \leftarrow \text{rotateLR}(T) ;$

$\text{deeper} \leftarrow \text{false} ;$

Neue bal-Werte: s. Tabelle.

Neue bal-Werte im Fall ReblL-4.2:

| altes T.bal | neues | | |
|----------------|------------|-------------|-------|
| | T.left.bal | T.right.bal | T.bal |
| -1 | 0 | 1 | 0 |
| 0 | 0 | 0 | 0 |
| 1 | -1 | 0 | 0 |

Die Zahl (altes) T.bal stand **vor der LR-Rotation** in T.left.right.bal, gab also den Balancefaktor des alten Unterbaums $T_{1,2} = \text{T.left.right}$ an.

Überlege: Kann es überhaupt passieren, dass der alte Baum $T_{1,2}$ Balancefaktor 0 hat?

Antwort: Ja! Im rekursiven Aufruf **AVL_insert**(T.left,x,r) bestand T.left nur aus einem Knoten, $T_{1,2}$ ist der neu eingefügte Knoten; T' , T'' , $T_{1,1}$ und T_2 sind leer, haben also alle Tiefe -1 .

Faustregel für **RebalanceInsLeft** und **RebalanceInsRight**:

Laufe von der Einfügestelle nach oben.

Wenn ein **äußerer** Teilbaum (links-links oder rechts-rechts) zu tief ist:

Eine **einfache Rotation**

hebt diesen Teilbaum ein Level höher.

Wenn ein **mittlerer** Teilbaum (links-rechts oder rechts-links) zu tief ist:

Eine **Doppelrotation**

hebt den mittleren Teilbaum ein Level höher.

Nach der ersten Rotation ist die Rebalancierung **beendet**.

Zum Ausprobieren:

<https://www.cs.usfca.edu/~galles/visualization/AVLtree.html>

Proposition 4.3.4

Die rekursive Prozedur **AVL_insert**(T, x, r) führt die Wörterbuchoperation *insert* korrekt durch.

D. h.: Aus T entsteht ein AVL-Baum für *insert*(f_T, x, r).

Die Prozedur hat Laufzeit $O(\log n)$ und führt höchstens eine Einfach- oder Doppelrotation durch.

4.3.5 Folgerung (aus Algorithmus **AVL_insert**):

Für jedes $n \geq 0$ gibt es einen höhenbalancierten Baum mit n Knoten.

Beweis: Man fügt $1, \dots, n$ mittels **AVL_insert** in einen anfangs leeren AVL-Baum ein.

Gute Übung: Führe dies für $n = 16$ (z. B.) von Hand aus.

Bemerkung: Wenn T ein beliebiger höhenbalancierter Baum mit n Knoten ist, dann gibt es eine Einfügereihenfolge für Schlüssel $1, \dots, n$, die genau diesen Baum erzeugt – sogar ohne jede Rotation (**Übung**).

AVL_delete(T, x)

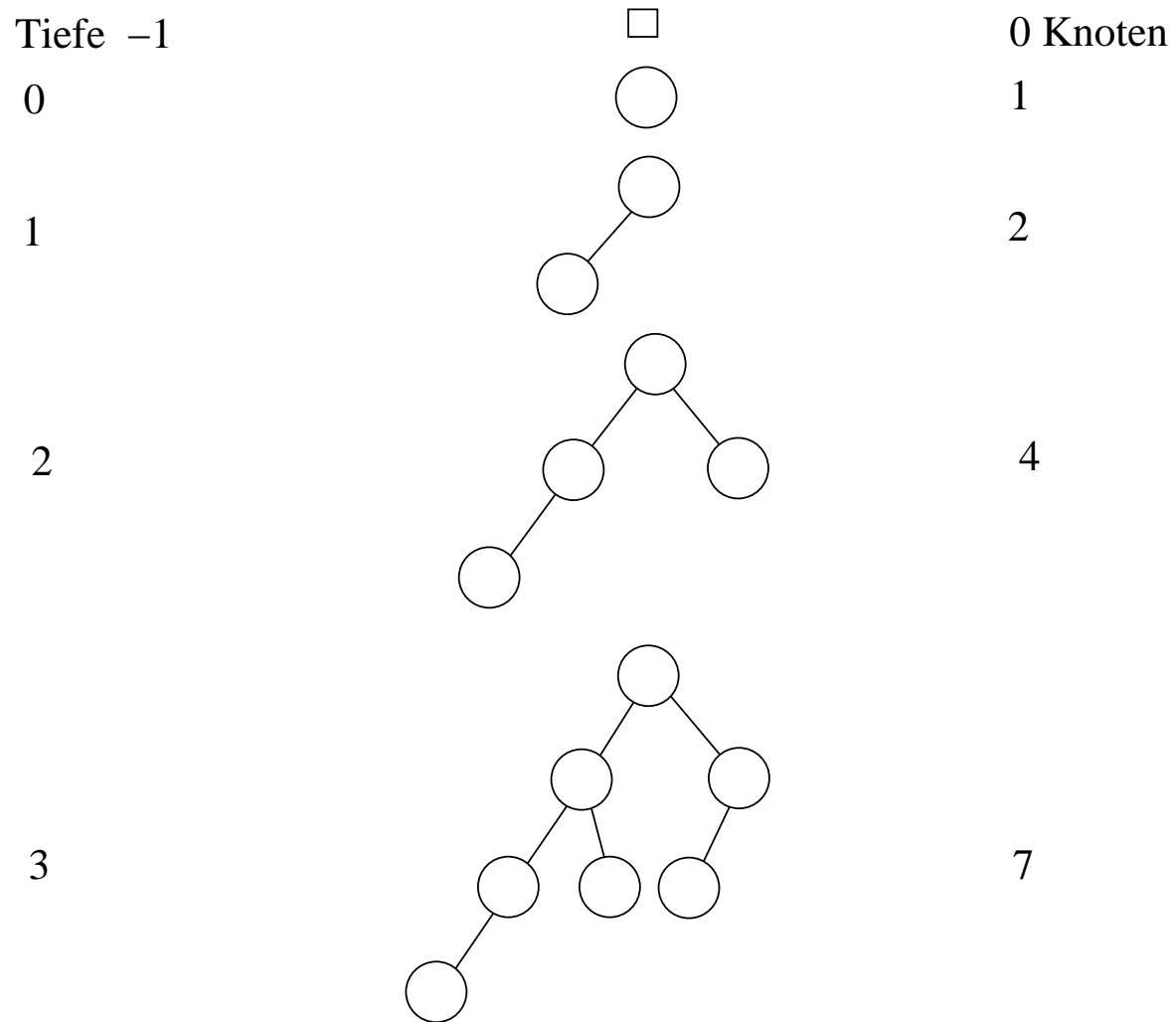
Lösche wie bei gewöhnlichem BSB: Fälle, *ExtractMin*

Effekt: Knoten u wird entfernt, dem mindestens ein Unterbaum fehlt. Dadurch rutscht der andere Unterbaum von u eine Ebene höher.

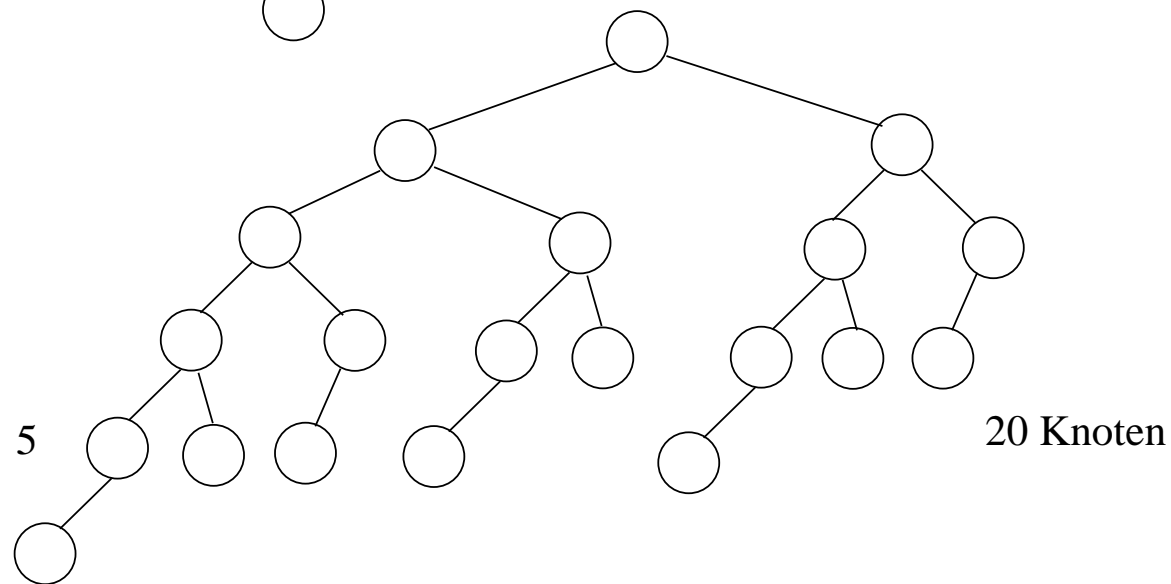
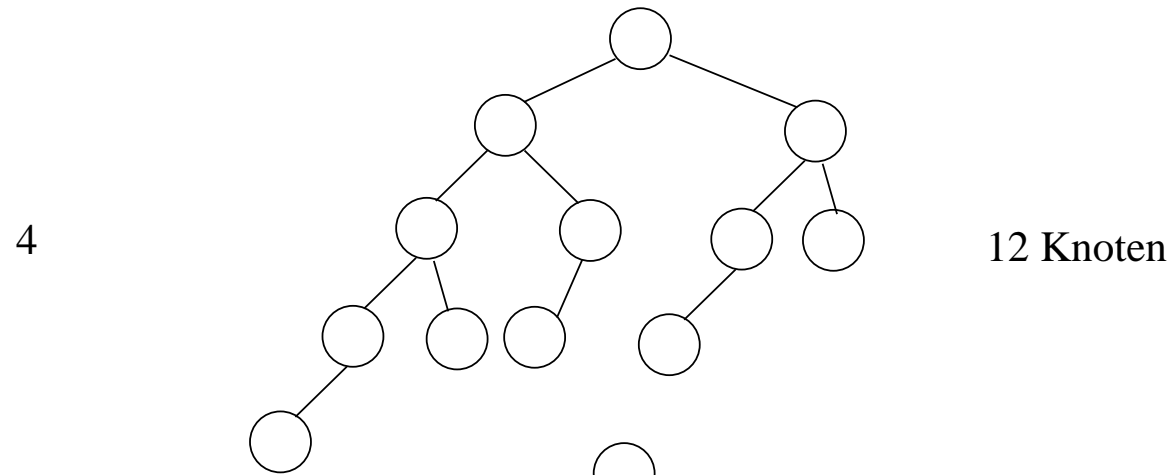
Laufe den Weg von der Stelle, wo u gelöscht wurde, zur Wurzel, teste an jedem Knoten die Balancebedingung, führe gegebenenfalls eine Einfach- oder eine Doppelrotation aus:

RebalanceDelLeft, RebalanceDelRight. Steuerung einer Fallunterscheidung durch shallower-Flagbit, das angibt, ob der betroffene Unterbaum „flacher“ geworden ist.

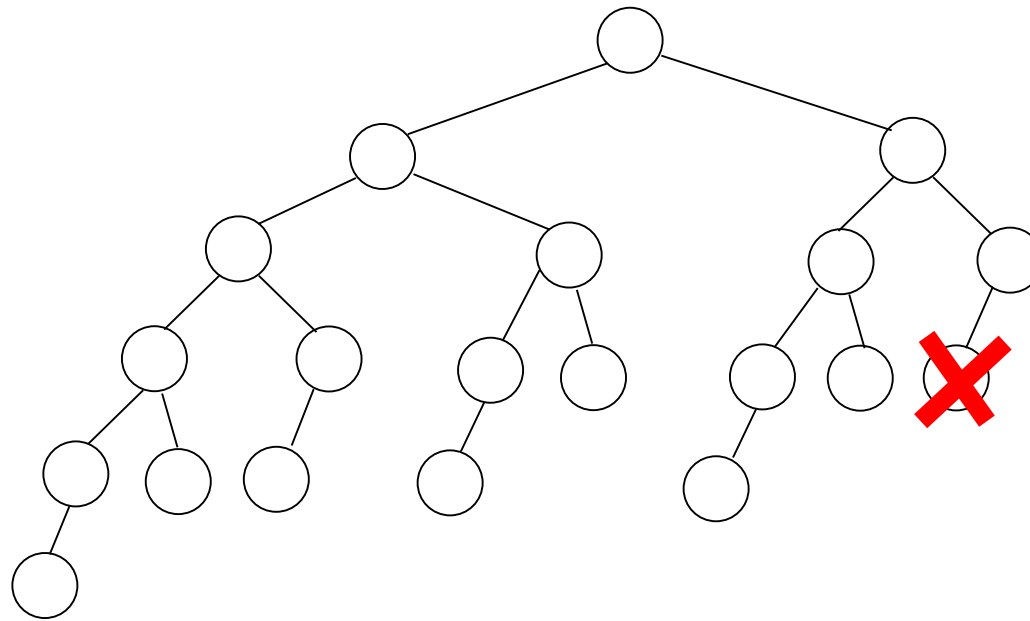
Achtung: Möglicherweise auf mehreren Levels nacheinander Rotation nötig. *Beispiel:* „Fibonacci-Bäume“ . . .

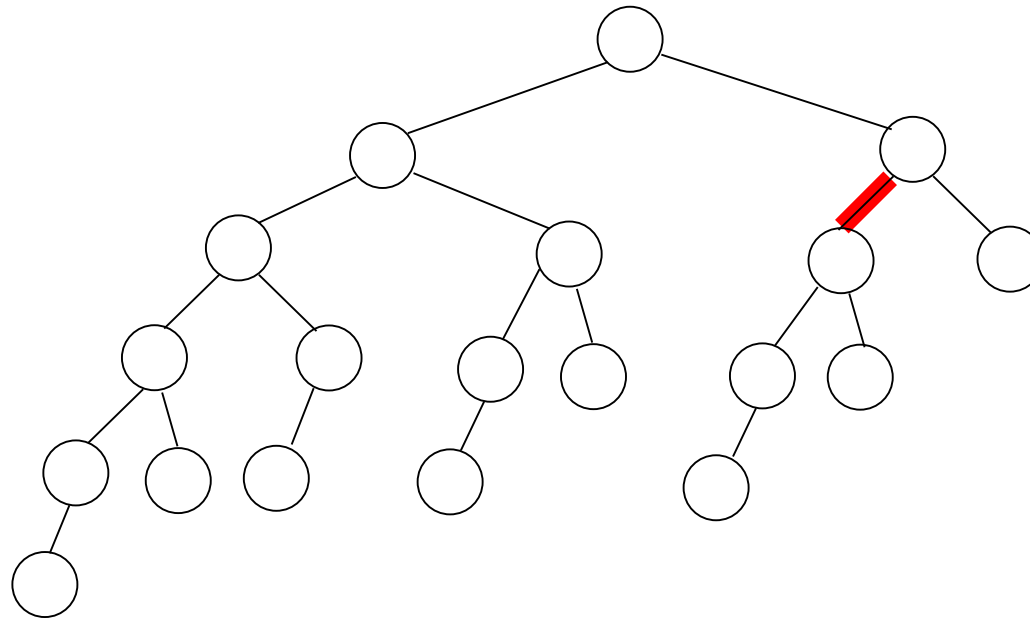


Fibonacci-Bäume der Tiefe $-1, 0, 1, 2, 3$

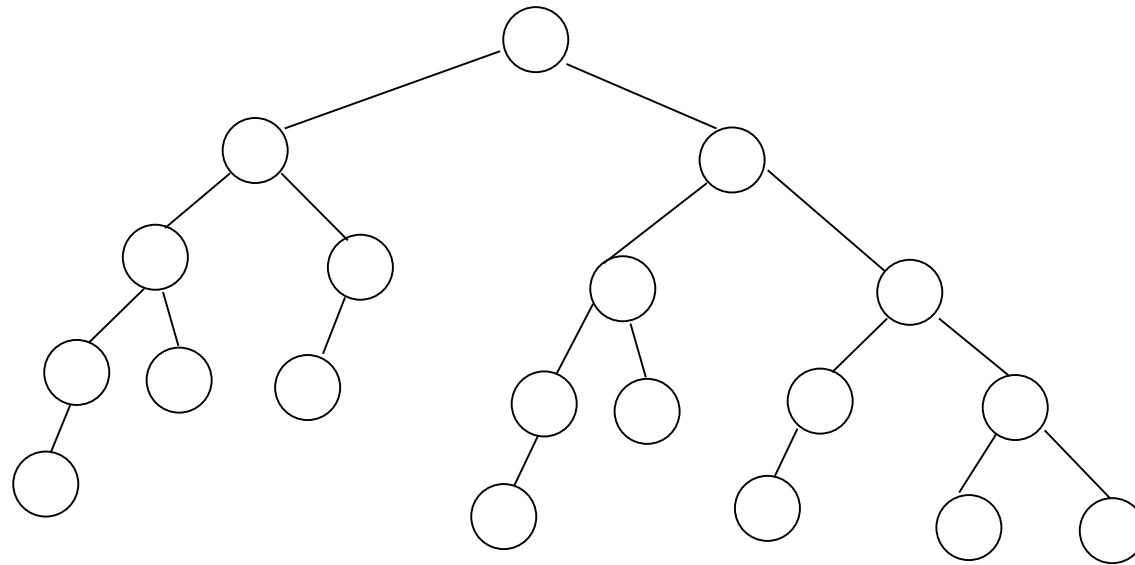


Fibonacci-Bäume der Tiefe 4, 5





Rechtsrotation!



Fertig!

Programmierung von **AVL_delete**: siehe Druckfolien.

Nicht prüfungsrelevant!

In Übung: Ausführen der Löschung und Rebalancierung, analog zur Einfügung.

Funktion **AVL_delete**(T,x): (AVL_Tree,boolean)

- (1) // **Eingabe:** T: AVL_Tree, x: key
- (2) // **Ausgabe:** T: AVL_Tree, shallower: boolean

- (3) **1. Fall:** $T = \square$ // x nicht da
- (4) **return** (T, *false*).
- (5) // Keine Rebalancierung nötig!

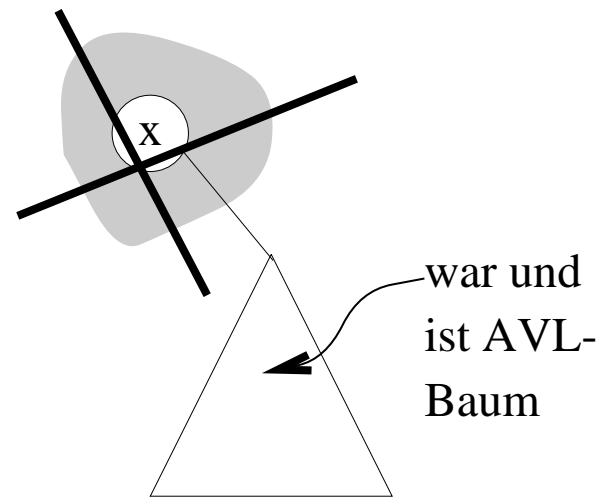
- (6) **2. Fall:** $T \neq \square$ and $x < T.key$.
- (7) (T.left, **left_shallower**) \leftarrow **AVL_delete**(T.left, x);
- (8) // Rekursives Löschen im linken Unterbaum
- (9) (T, shallower) \leftarrow **RebalanceDelLeft**(T, **left_shallower**);
- (10) // Rebalancierung in der Wurzel von T, **s. unten**
- (11) **return** (T, shallower).

```
(12) 3. Fall:  $T \neq \square$  and  $T.\text{key} < x$ .
(13)    $(T.\text{right}, \text{right\_shallower}) \leftarrow \text{AVL\_delete}(T.\text{right}, x)$  ;
(14)   // Rekursives Löschen im rechten Unterbaum
(15)    $(T, \text{shallower}) \leftarrow$ 
           RebalanceDelRight( $T, \text{right\_shallower}$ ) ;
(16)   // Rebalancierung in der Wurzel von T,
           symmetrisch zu 2. Fall
(17)   return ( $T, \text{shallower}$ ) .
```

(18) **4. Fall:** $T \neq \square$ and $T.\text{key} = x$.

(19) // Entferne Wurzelknoten!

(20) **Fall 4a:** $T.\text{left} = \square$



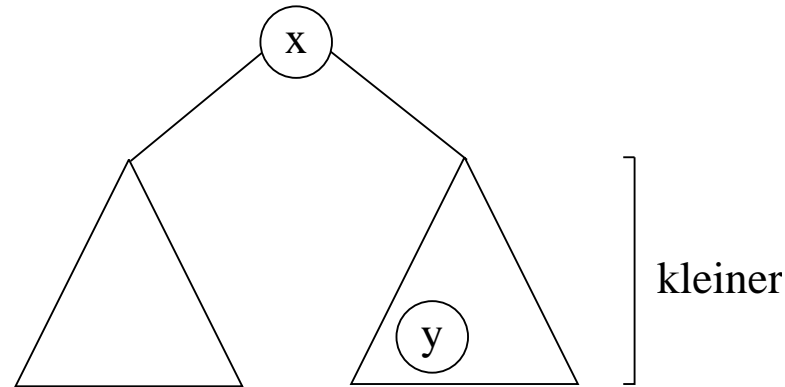
(21) **return** ($T.\text{right}$, *true*) .

(22) // Baum ist *flacher* als vorher.

(23) **Fall 4b:** $T.\text{right} = \square$

(24) **return** ($T.\text{left}$, *true*) .

(25) **Fall 4c:** $T \neq \square$ **and** beide Unterbäume nicht leer



```
(26)  (T.right, v, right_shallower) ←  
      AVL_extractMin(T.right) ;  
(27)  v.left ← T.left; v.right ← T.right;  
(28)  v.bal ← T.bal;  
(29)  T ← v; // v ersetzt die Wurzel von T  
(30)  (T, shallower) ←  
      RebalanceDelRight(T, right_shallower) ;  
(31) return (T, shallower) .
```

Funktion AVL_extractMin(T): (AVL_Tree, boolean)

- (1) // **Eingabe:** T: AVL_Tree mit $T \neq \square$
- (2) // **Ausgabe:** T, v: AVL_Tree; shallower: boolean
- (3) // Knoten v mit minimalem Eintrag aus T ausgeklinkt
- (4) // shallower = *true*, falls T flacher geworden ist
- . . .

In **AVL_extractMin**(T):

Fall „Schluss“:

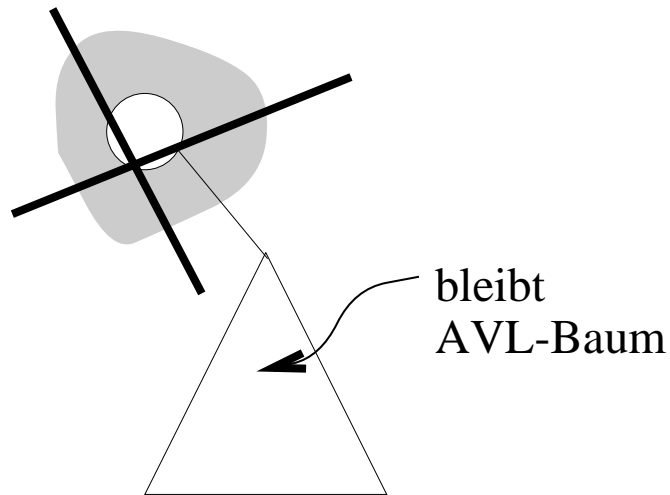
T.left = \square

Wurzel abhängen:

$v \leftarrow T;$

$T \leftarrow T.\text{right}$

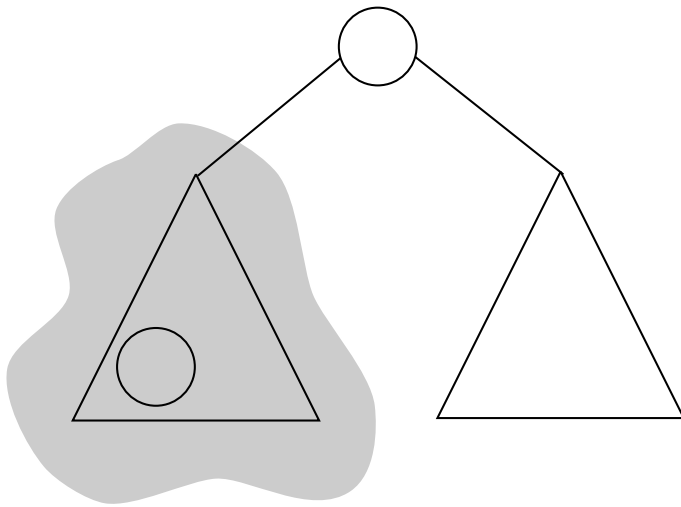
return (T, v, *true*).



In Prozedur **AVL_extractMin**(T):

Fall „Rekursion“:

$T.\text{left} \neq \square$



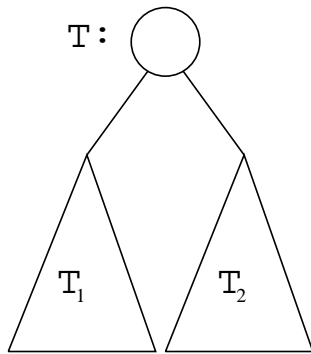
```
(T, v, left_shallower) ← AVL_extractMin(T.left);  
(T, shallower) ← RebalanceDelLeft(T, left_shallower);  
return(T, v, shallower).
```

RebalanceDelLeft(T , left_shallower)

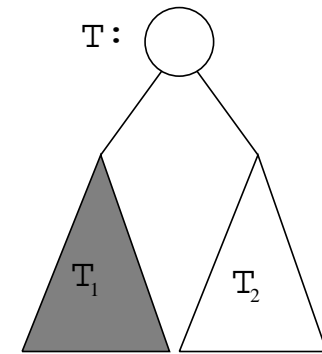
// prüft Balancebedingung in der Wurzel von T , korrigiert

// (**RebalanceDelRight**: symmetrisch)

Situation:



durch rekursives
Löschen in T_1
umgebaut zu



$T_1 = T.\text{left}$ verändert; in „left_shallower“ wird die Information geliefert, ob T_1 flacher geworden ist.

$T.\text{bal}$: bislang unverändert.

Fall

Aktion

Fall RebDL-1:

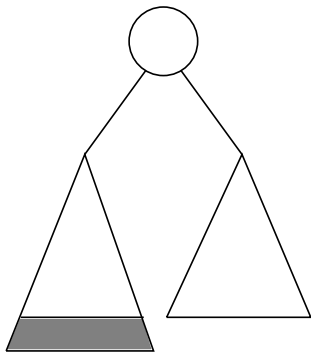
$\text{left_shallower} = \text{false}$

$\text{shallower} \leftarrow \text{false};$

Fall RebDL-2:

$\text{left_shallower} = \text{true} \wedge$

$\text{T.bal} = -1$



geschrumpft

$\text{shallower} \leftarrow \text{true};$

$\text{T.bal} \leftarrow 0;$

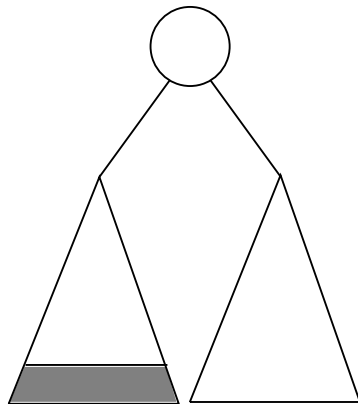
Fall

Aktion

Fall RebDL-3:

$\text{left_shallower} = \text{true} \wedge$

$\text{T.bal} = 0$



$\text{shallower} \leftarrow \text{false};$

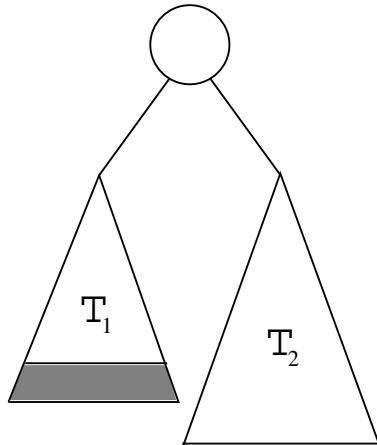
$\text{T.bal} \leftarrow 1;$

geschrumpft

Fall RebDL-4:

$\text{left_shallower} = \text{true} \wedge$

$T.\text{bal} = 1$

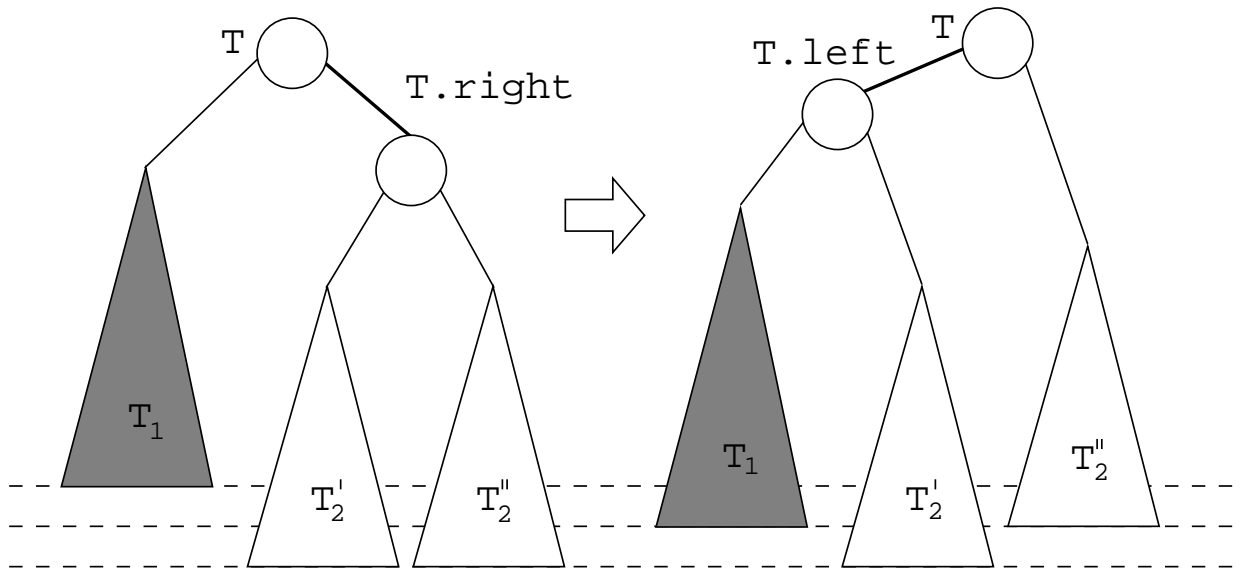


geschrumpft

Unterfälle je nach Aussehen von T_2 .

T_2 hat Tiefe mindestens 1, da aus T_1 ein Knoten entfernt werden konnte, also T_1 Tiefe mindestens 0 hatte.

Fall RebDL-4.1: $T.\text{right}.bal = 0;$



Linksrotation!

$T \leftarrow \text{rotateL}(T);$

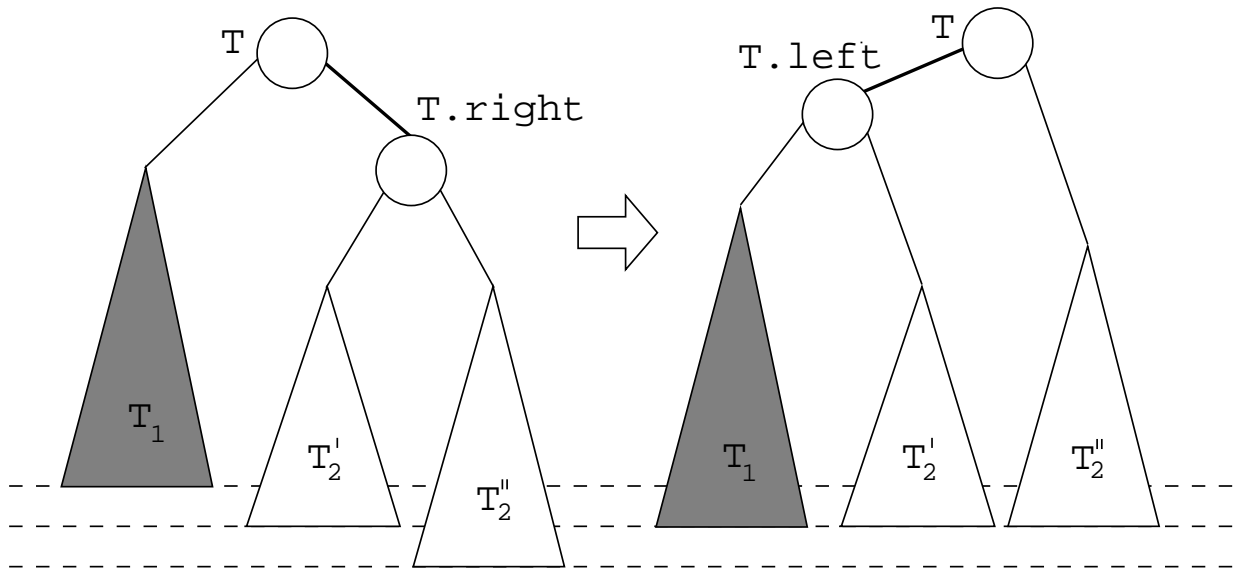
$T.\text{left}.bal \leftarrow 1;$

$T.bal \leftarrow -1;$

$\text{shallower} \leftarrow \text{false};$

// Rebalancierung beendet

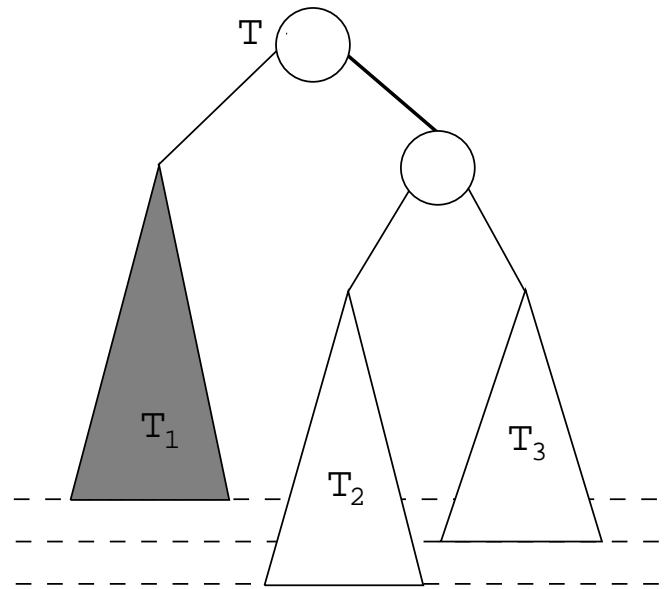
Fall RebDL-4.2: $T.\text{right}.bal = 1;$



Linksrotation!

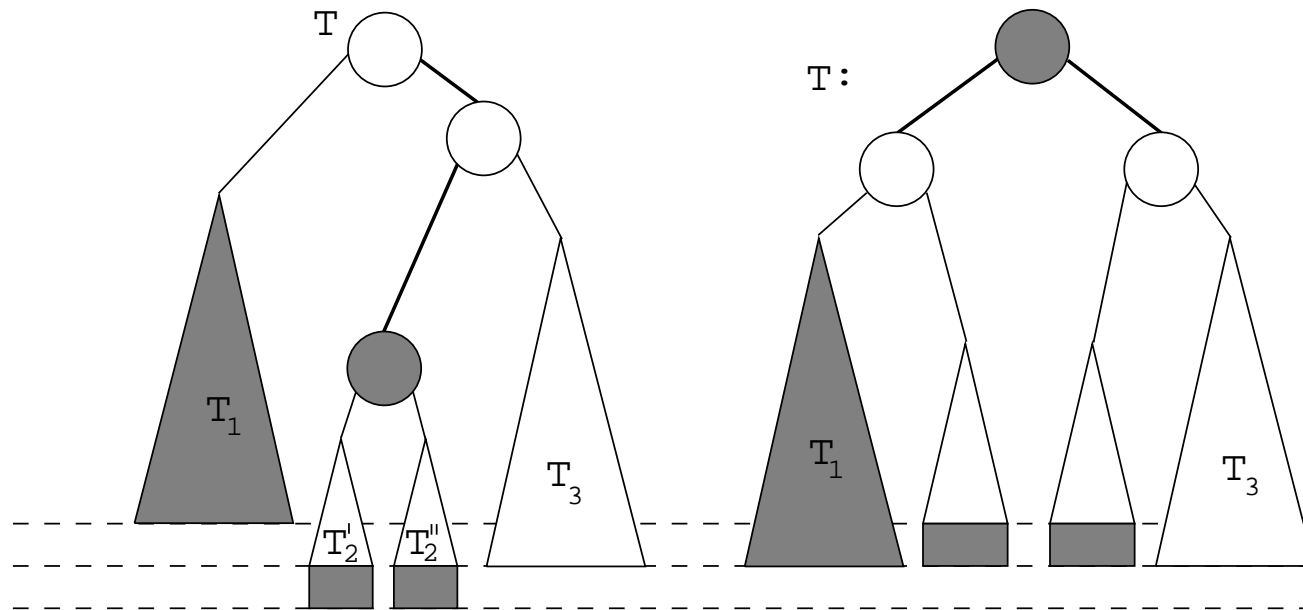
```
T ← rotateL(T);  
T.left.bal ← 0;  
T.bal ← 0;  
shallower ← true;
```

Fall RebDL-4.3: $T.\text{right}.bal = -1;$



Fall RebDL-4.3: (Forts.)

Betrachte Teilbäume von $T_2 = T.\text{right}.\text{left}$.



Doppelrotation!

$T \leftarrow \text{rotateRL}(T);$
 $\text{shallower} \leftarrow \text{true};$

Neue Werte der Balancefaktoren:

Neue Werte der Balancefaktoren:

| altes | neues | | |
|-------|------------|-------------|-------|
| T.bal | T.left.bal | T.right.bal | T.bal |
| −1 | 0 | 1 | 0 |
| 0 | 0 | 0 | 0 |
| 1 | −1 | 0 | 0 |

(Das alte T.bal enthält (nach der Doppelrotation) den Balancefaktor, der ursprünglich in der Wurzel des „mittleren“ Unterbaums T_2 stand.)

Ende des nicht prüfungsrelevanten Lösch-Programms.

Proposition 4.3.6

Die rekursive Prozedur $AVL_delete(T, x)$ führt die Wörterbuchoperation *delete* korrekt durch.

D.h.: es entsteht ein AVL-Baum für $delete(T, x)$.

Die Prozedur hat Laufzeit $O(\log n)$ und führt **an jedem Knoten auf dem Weg** vom gelöschten Knoten zur Wurzel höchstens eine Einfach- oder Doppelrotation durch.

Satz 4.3.7

In **AVL-Bäumen** kostet jede **Wörterbuchoperation** Zeit

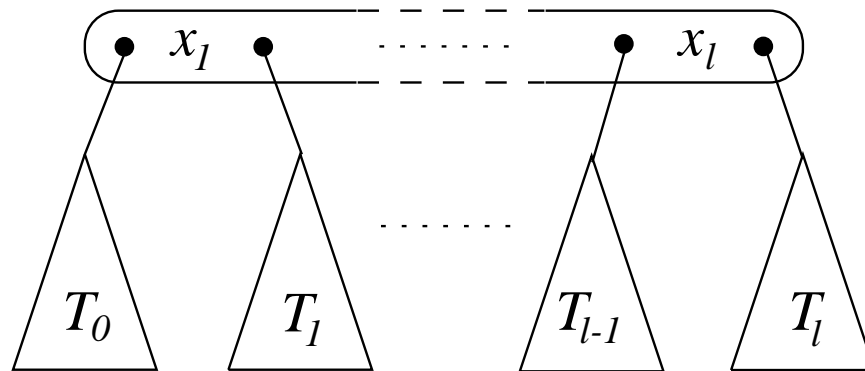
$$O(\log n),$$

wenn n die Anzahl der Wörterbucheinträge ist.

4.4 Mehrweg-Such-Bäume

Bäume aus Knoten mit variablem Ausgrad.

Knoten mit mehreren Schlüsseln und mehr als zwei Unterbäumen:

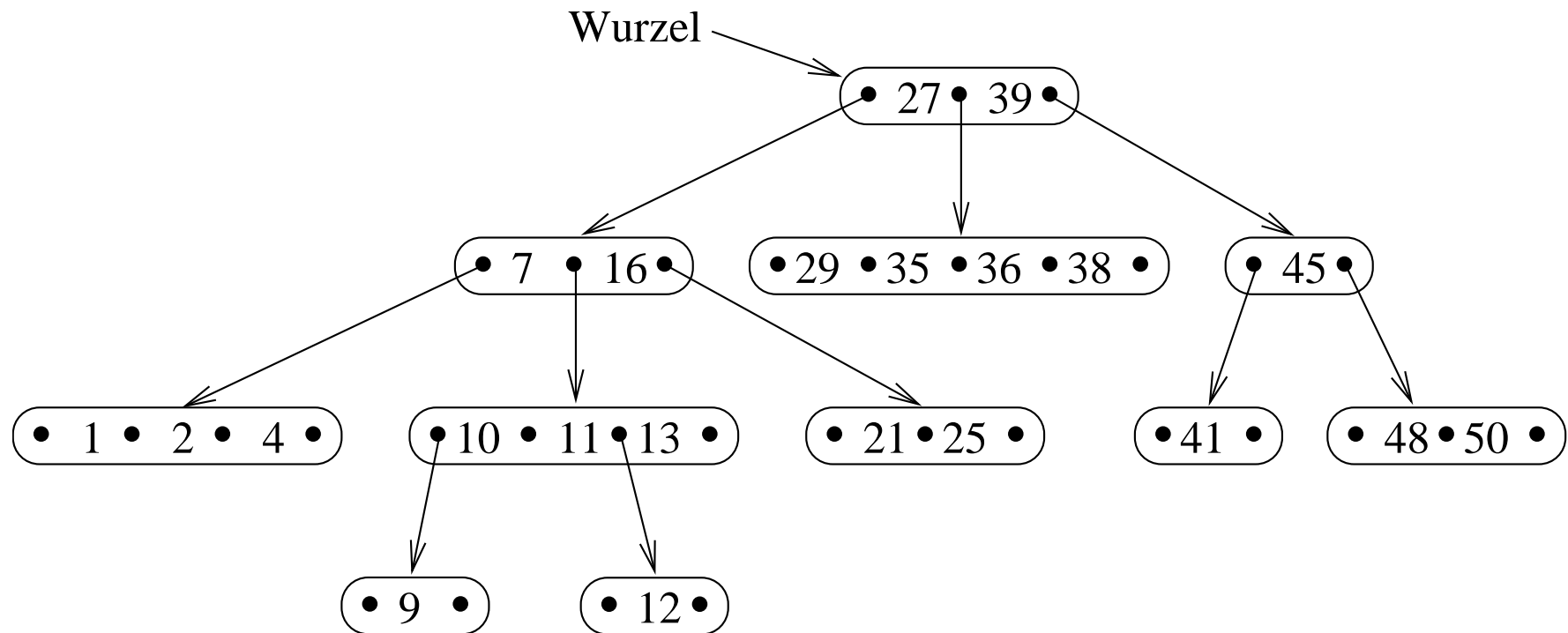


$$x_1 < \dots < x_l.$$

Für y_i in T_i , $0 \leq i \leq l$:

$$y_0 < x_1 < y_1 < x_2 < \dots < y_{l-1} < x_l < y_l$$

Beispiel eines N-MwSB:



- ohne Pfeil steht für einen Zeiger auf einen leeren Baum \square .

Definition 4.4.1

Mehrweg-Suchbäume (MwSBe) über dem (angeordneten) Universum U sind wie folgt **induktiv definiert**:

(0) Der leere Baum ist ein U -MwSB.

(1) Ist $l \geq 1$ und sind $x_1 < x_2 < \dots < x_l$ Schlüssel in U und sind T_0, T_1, \dots, T_l U -MwSBe mit:

Für y_i in T_i , $0 \leq i \leq l$:

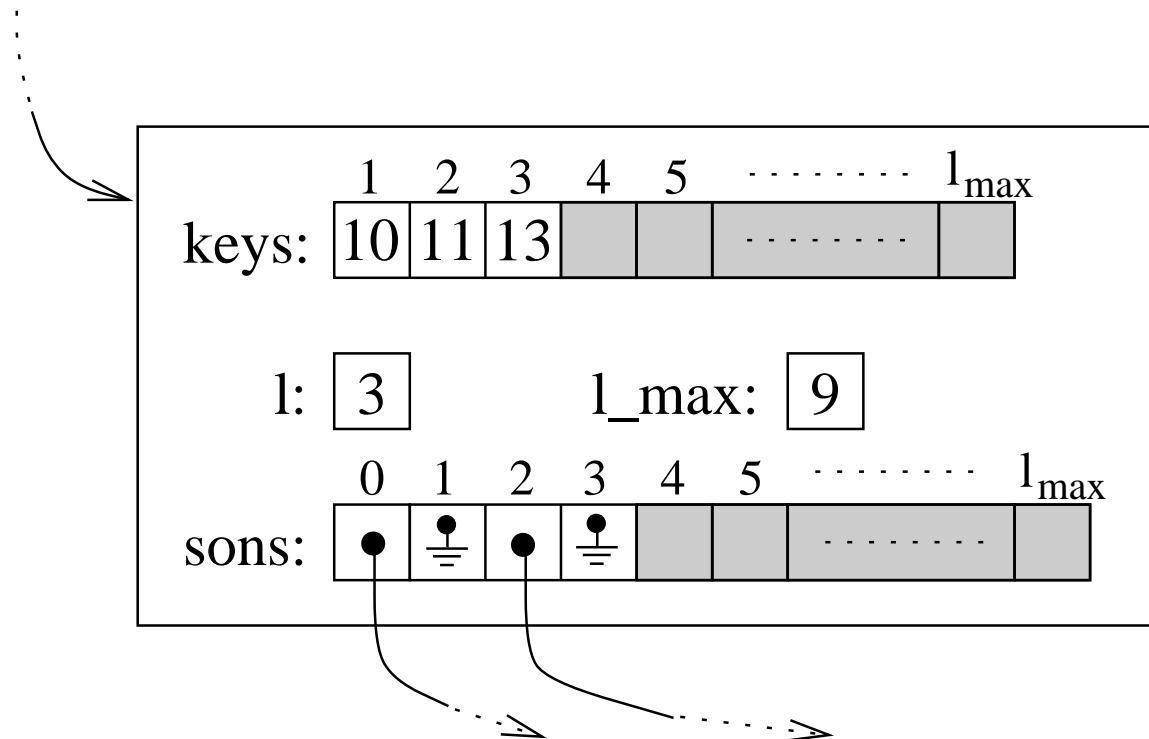
$$y_0 < x_1 < y_1 < x_2 < \dots < y_{l-1} < x_l < y_l$$

dann ist auch $(T_0, x_1, T_1, x_2, \dots, x_{l-1}, T_{l-1}, x_l, T_l)$ ein U -Mehrweg-Suchbaum.

Analog: (U, R) -Mehrweg-Suchbäume.

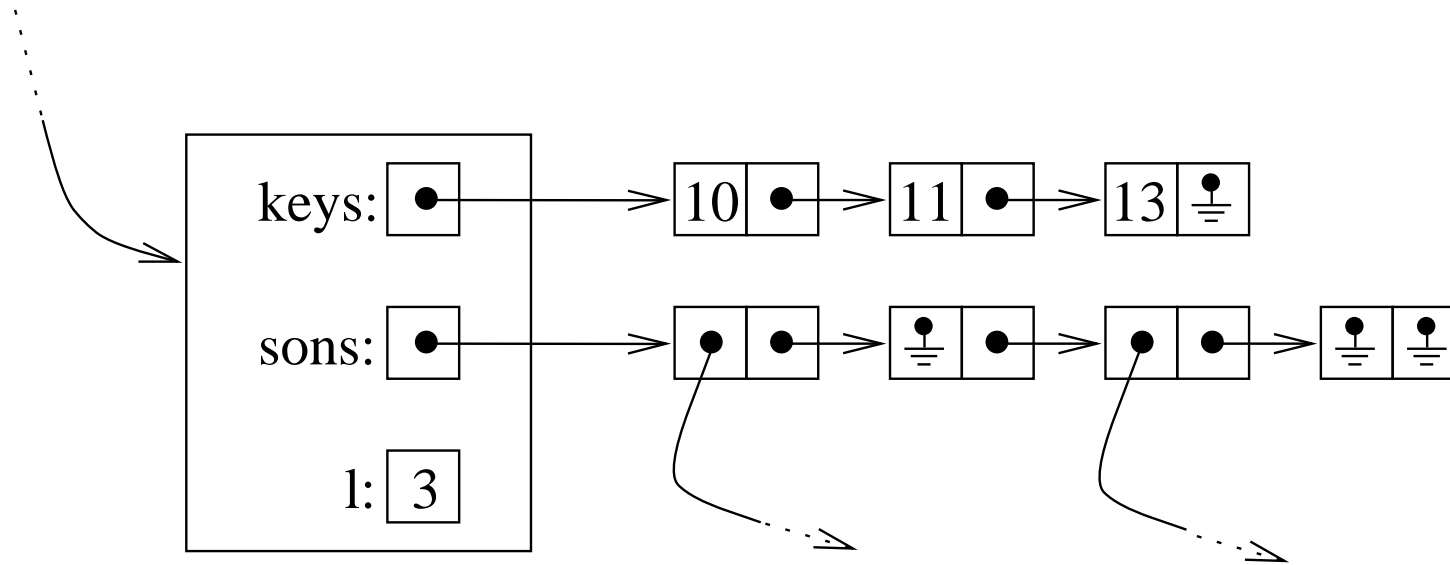
Implementierung eines Knotens in Mehrwegsuchbaum:

Variante 1: Jeder Knoten enthält 2 Arrays.



Implementierung eines Knotens in Mehrwegsuchbaum:

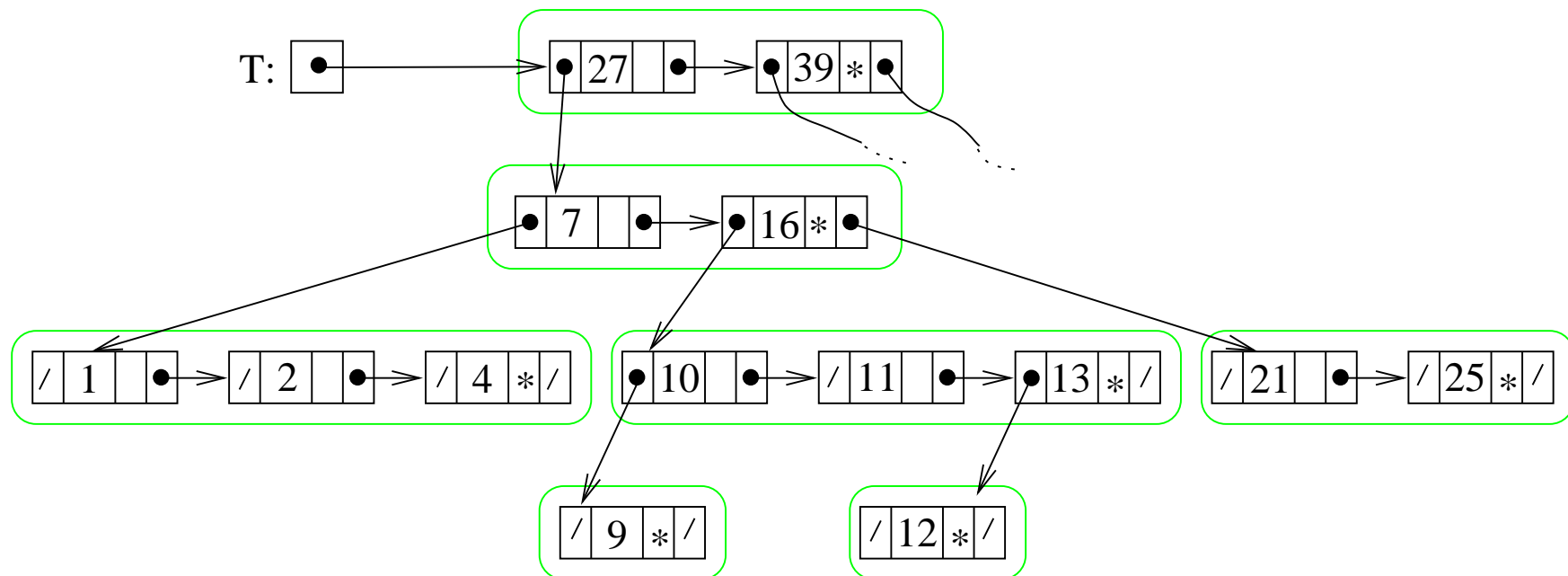
Variante 2: Schlüssel und Kinder als Listen.



Implementierung eines Knotens in Mehrwegsuchbaum:

Variante 3:

Ein MwSB-Knoten wird durch eine aufsteigend sortierte lineare Liste von **Binärbaumknoten** dargestellt.



Jeder Knoten hat Platz für:

Schlüssel, (Daten,) Zeiger auf Unterbaum, Zeiger auf nächsten in Liste.

Im Knoten muss als Boolescher Wert vermerkt sein, ob es sich um den Knoten am Listenende handelt. (Im Bild: „*“.)

Dieser Knoten hat zwei Zeiger auf Unterbäume.

Elegant: Für die Suche kann man die gewöhnliche Suchprozedur für binäre Suchbäume benutzen.

Spezialfall: 2-3-Bäume

Definition 4.4.2

Ein Mehrweg-Suchbaum T heißt ein **2-3-Baum**, wenn gilt:

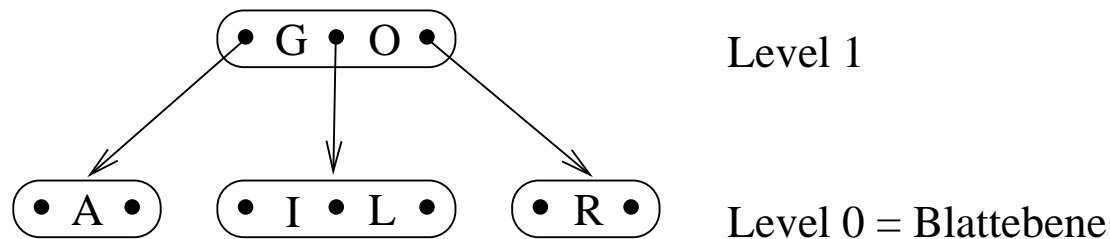
- (a) Jeder Knoten enthält 1 oder 2 Schlüssel
(also hat jeder Knoten 2 oder 3 Unterbäume, was der Struktur den Namen gibt);
- (b) Für jeden Knoten v in T gilt: wenn v **einen** leeren Unterbaum hat, so sind **alle** Unterbäume unter v leer, d.h. v ist dann **Blatt**;
- (c) Alle Blätter von T haben dieselbe Tiefe.

Beispiele:

Leerer 2-3-Baum:

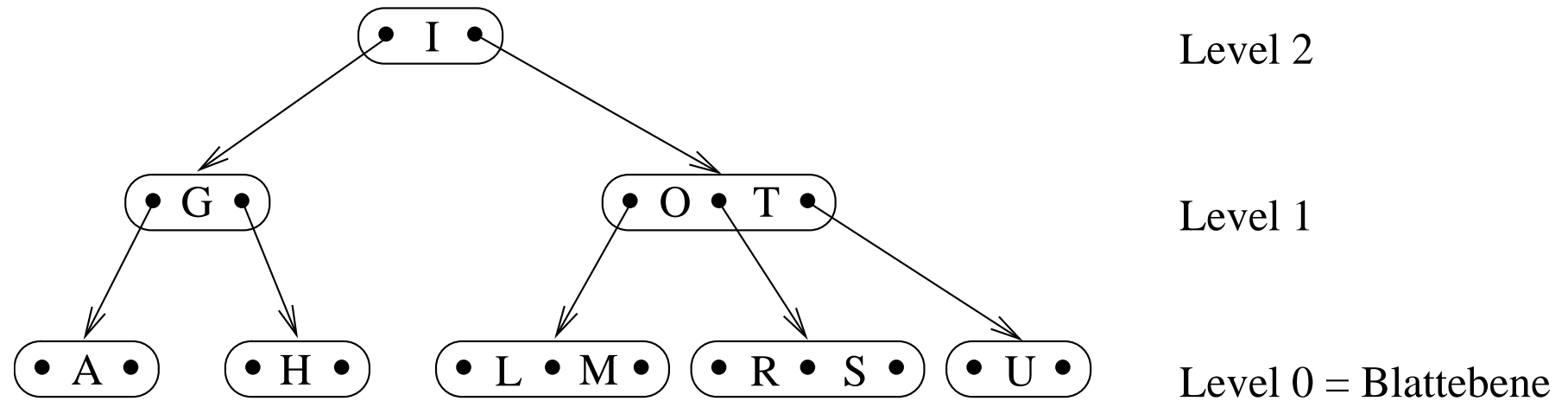


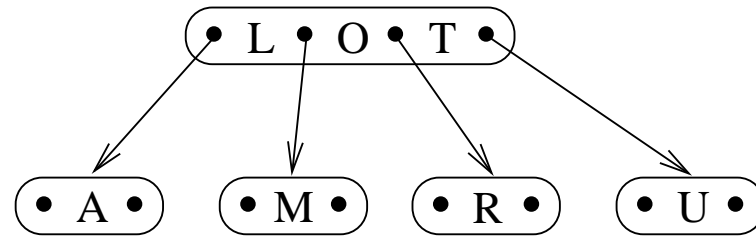
2-3-Baum mit 2 Ebenen:



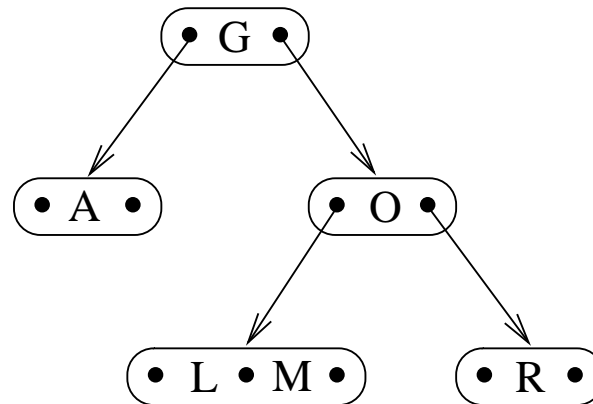
NB: Die Ebenen werden von den Blättern her nummeriert.

Beispiele:

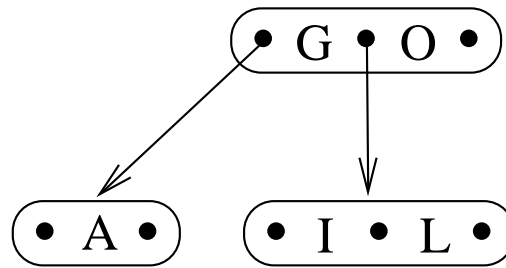




Kein 2-3-Baum (zu großer Grad).



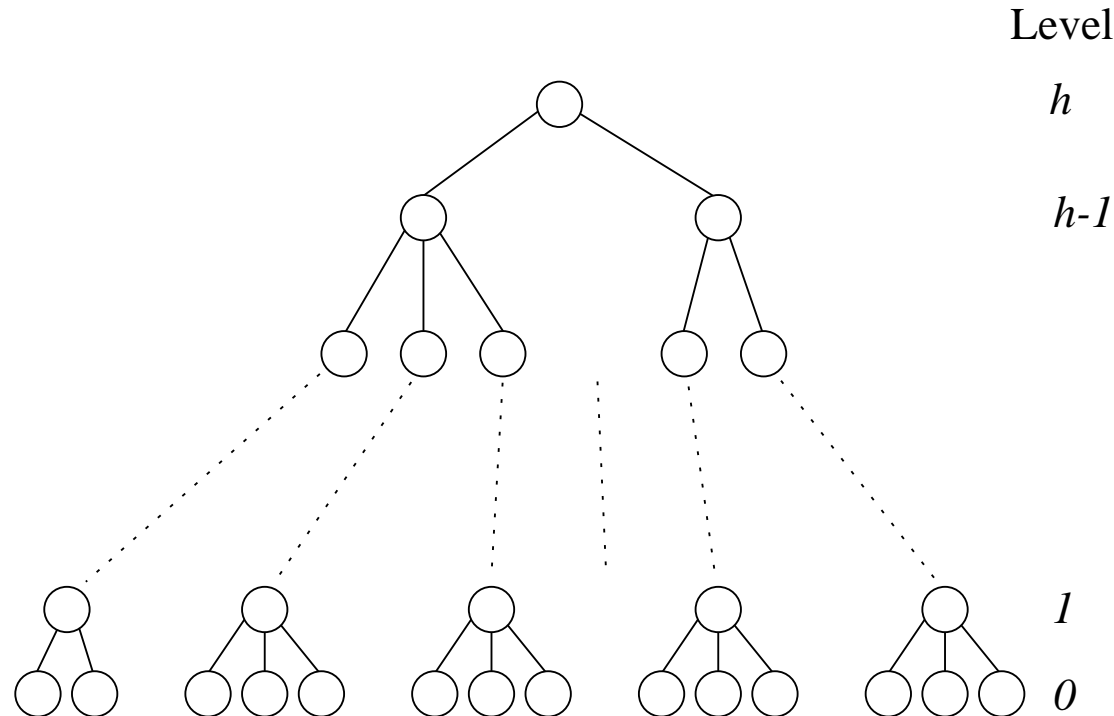
Kein 2-3-Baum (Blätter in verschiedenen Tiefen).



Kein 2-3-Baum (Leerer Unterbaum in Nicht-Blatt).

Proposition 4.4.3

Die Tiefe eines 2-3-Baums mit n Einträgen ist mindestens $\lceil \log_3(n+1) \rceil - 1$ und höchstens $\lfloor \log_2(n+1) \rfloor - 1$.
 $\lceil \log_3 x \rceil \approx 0.63 \log_2 x$ *Beweis: Übung.*



Suche in 2-3-Bäumen

lookup(T, x), für 2-3-Baum T , $x \in U$.

1. Fall: $T = \square$. **Ausgabe:** „nicht vorhanden“.

2. Fall: Die Wurzel von T enthält Schlüssel x_1
(und eventuell $x_2 > x_1$).

2a: $x < x_1$:

Rufe *lookup* für ersten Unterbaum T_0 auf.

2b: $x = x_1$: „gefunden“.

2c: $x_1 < x \wedge (x_2 \text{ existiert nicht} \vee x < x_2)$:

Rufe *lookup* für zweiten Unterbaum T_1 auf.

2d: $x_2 \text{ existiert} \wedge x = x_2$: „gefunden“.

2e: $x_2 \text{ existiert} \wedge x_2 < x$:

Rufe *lookup* für dritten Unterbaum T_2 auf.

Klar:

Zeitaufwand: Wenn x im Knoten v_x sitzt:

Für jeden Knoten v auf dem Weg von der Wurzel zu v_x entstehen Kosten $O(1)$.

\Rightarrow

Zeit für Suche in 2-3-Bäumen ist $O(\log n)$.

Mitteilung 4.4.4

Einfügungen und Löschungen lassen sich in 2-3-Bäumen *ähnlich wie in AVL-Bäumen* in Zeit $O(\log n)$ ausführen.

Die nötigen Strukturänderungen werden dabei entlang des Wegs von der geänderten Stelle aus nach oben zur Wurzel gehend durchgeführt.

2-3-4-Bäume

Ein 2-3-4-Baum ist ein **Mehrweg-Suchbaum** mit:

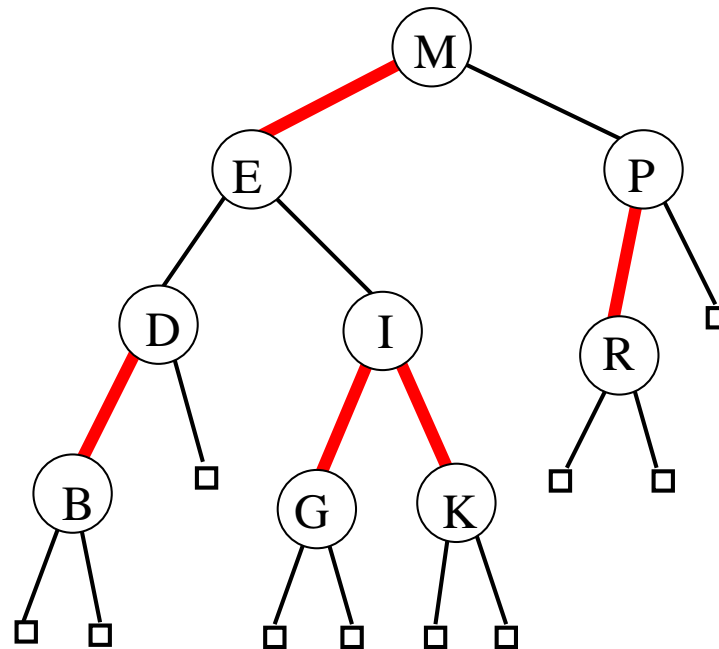
- (a) Jeder Knoten hat 2, 3 oder 4 Kinder (1, 2 oder 3 Schlüssel)
- (b) Für jeden Knoten v in T gilt: v hat **einen** leeren Unterbaum
 \Rightarrow **alle** Unterbäume unter v sind leer, d. h. v ist **Blatt**;
- (c) Alle Blätter von T haben dieselbe Tiefe.

Mitteilung

Die Wörterbuchoperationen können auch mit 2-3-4-Bäumen so implementiert werden, dass sie **logarithmische Zeit** benötigen. Die Rebalancierung lässt sich alternativ „top-down“ implementieren, auf dem Weg zur Einfügestelle bzw. Löschestelle, ohne Zurücklaufen.

Lit.: [\[D./Mehlhorn/Sanders\]](#). Dort: Einträge nur in Blättern.

Rot-Schwarz-Bäume



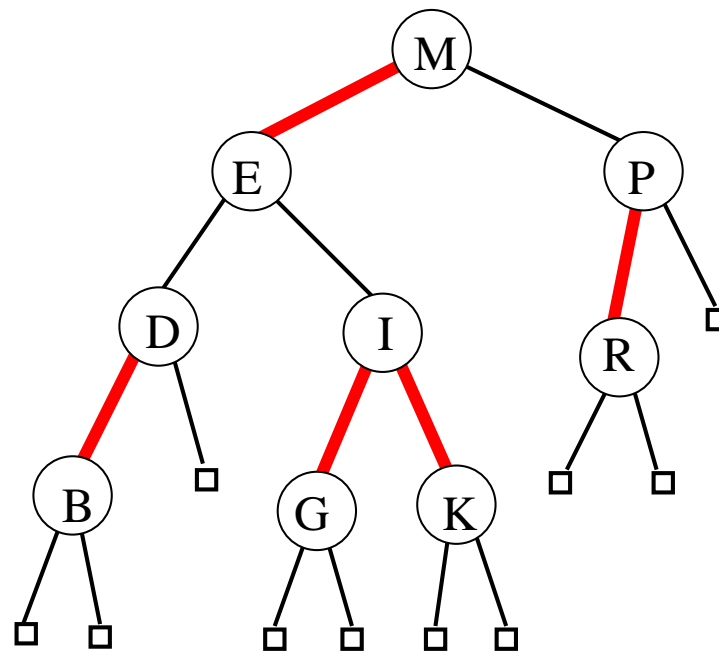
Rot-Schwarz-Bäume

Ein (**linksgeneigter**) **Rot-Schwarz-Baum** ist ein **binärer Suchbaum** mit:

- (a) Jede Kante hat eine Farbe **rot** oder **schwarz** (1 Flagbit!).
- (b) Kanten zu (leeren, externen!) Blättern sind **schwarz**.
- (c) Auf keinem Weg folgen zwei rote Kanten aufeinander.
- (d) Wenn ein Knoten nur eine rote Ausgangskante hat, so führt diese zum linken Kind.
- (e) Auf jedem Weg von der Wurzel zu einem Blatt liegen gleich viele schwarze Kanten.

Die **Schwarz-Tiefe** $b(v)$ eines Knotens v ist die Anzahl der schwarzen Kanten auf einem Weg von v zu einem Blatt.

Die **Schwarz-Tiefe** $b(T)$ des Rot-Schwarz-Baums T ist die Schwarz-Tiefe des Wurzelknotens von T .



Schwarz-Tiefe: 2.

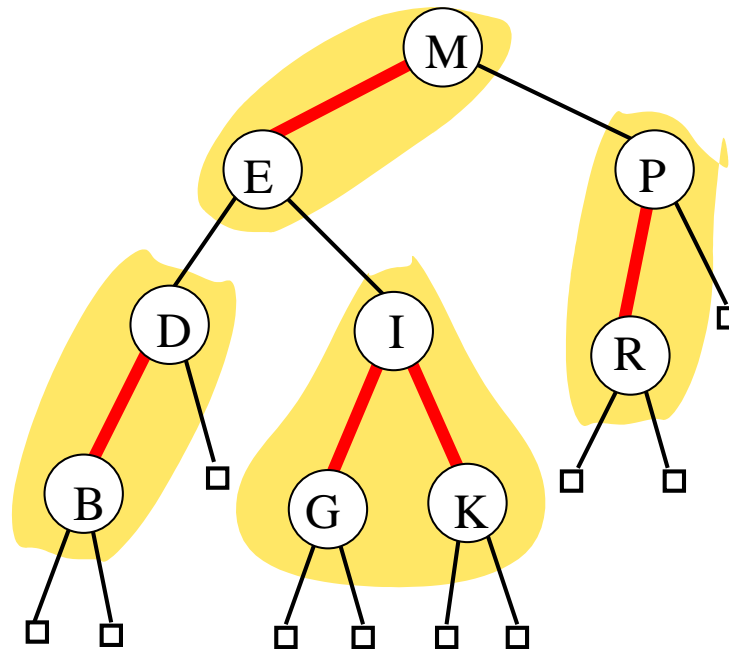
Mitteilung

Die Wörterbuchoperationen können auch mit Rot-Schwarz-Bäumen so implementiert werden, dass sie **logarithmische Zeit** benötigen. Weiterführende Operationen (wie das Spalten von Bäumen oder die Vereinigung von Bäumen) lassen sich mit Rot-Schwarz-Bäumen gut implementieren.

Lit.: [Cormen, Leiserson, Rivest, Stein] und [Sedgewick].

Wenn man einen schwarzen Knoten mit seinen roten Kindern (0, 1 oder 2) zu einem „Super-Knoten“ zusammenfasst, erhält man einen 2-3-4-Baum.

D. h.: Rot-Schwarz-Bäume sind spezielle Darstellungen von 2-3-4-Bäumen, die nur Binärbaumknoten benutzen.



B-Bäume

Ein **B-Baum** zum **Parameter** $t \geq 2$ ist ein **Mehrweg-Suchbaum** mit:

- (a) Jeder Knoten hat maximal $2t$ Kinder ($\leq 2t - 1$ Schlüssel)
- (b) Jeder Knoten außer der Wurzel hat mindestens t Kinder ($\geq t - 1$ Schlüssel);
die Wurzel hat mindestens 2 Kinder (≥ 1 Schlüssel)
- (c) Für jeden Knoten v in T gilt: v hat **einen** leeren Unterbaum
 \Rightarrow **alle** Unterbäume unter v sind leer, d. h. v ist **Blatt**;
- (d) Alle Blätter von T haben dieselbe Tiefe.

Mitteilung

Die Tiefe eines B-Baums mit Parameter t für n Einträge ist $\Theta(\log_t n) = \Theta((\log n)/(\log t))$, genauer

mindestens $(\log n)/\log(2t) - 1$, höchstens $(\log n)/\log t$.

Beispiel: $t = 32$. Tiefe: $\leq (\log n)/5$.

Jede Wörterbuchoperation betrifft höchstens zwei Knoten auf jedem Level, also höchstens $2(\log n)/\log t$ viele.

B-Bäume werden für die Implementierung von Wörterbüchern auf externen Speichermedien (Festplatte, SSD) benutzt, die eine höhere Latenzzeit haben und Lesen in größeren Blöcken erlauben.

Details: Vorlesungen zu Datenbanktechniken.